

### વધારાના સ્વાધ્યાય

- 7.12** 20 mH ઈન્ડક્ટર અને 50  $\mu$ F કેપેસીટન્સ ધરાવતાં LC પરિપથમાં કેપેસીટર પર પ્રારંભિક વિદ્યુતભાર 10 mC છે. પરિપથનો અવરોધ અવગણી શકાય તેટલો છે. ધારોકે પરિપથ પૂર્ણ કરવામાં આવે છે તે ક્ષણ  $t = 0$  છે.
- કુલ પ્રારંભિક સંગ્રહિત ઊર્જા કેટલી હશે? શું તેનું LC દોલનો દરમ્યાન સંરક્ષણ થશે?
  - પરિપથની પ્રાકૃતિક આવૃત્તિ કેટલી હશે?
  - કયા સમયે સંગ્રહિત ઊર્જા
    - સંપૂર્ણ વિદ્યુતઊર્જા રૂપે (એટલે કે કેપેસીટરમાં સંગ્રહિત) હશે?
    - સંપૂર્ણ ચુંબકીય�ર્જા રૂપે (એટલે કે ઈન્ડક્ટરમાં સંગ્રહિત) હશે?
  - ઈન્ડક્ટર અને કેપેસીટર વચ્ચે કયા-કયા સમયે કુલ ઊર્જા સમાન રીતે વહેંચાશે?
  - જો આ પરિપથમાં એક અવરોધ દાખલ કરવામાં આવે તો છેવટે કેટલી ઊર્જા ઉષ્મા સ્વરૂપે વય પામશે?
- 7.13** 240 V, 50 Hz ac સોત સાથે 0.50 H ઈન્ડક્ટન્સ ધરાવતી કોઈલ અને 100  $\Omega$  અવરોધને જોડેલ છે.
- કોઈલમાં મહત્તમ પ્રવાહ કેટલો હશે?
  - મહત્તમ વોલ્ટેજ અને મહત્તમ પ્રવાહ વચ્ચે સમય તફાવત કેટલો હશે?
- 7.14** સ્વાધ્યાય 7.13માં જે પરિપથને ઊંચી આવૃત્તિવાળા સોત (240 V, -10 kHz) સાથે જોડવામાં આવે તો (a) અને (b) સ્વાધ્યાયનાં જવાબ મેળવો. “ખૂબ જ ઊંચી આવૃત્તિએ પરિપથમાં રહેલ ઈન્ડક્ટર ખુલ્લા પરિપથ (Open Circuit)ની માફનત વર્ત્ત છે.” – એ વિધાન સમજાવો. dc પરિપથમાં સ્થાયી અવસ્થા આવે પછી ઈન્ડક્ટરની વર્તણૂક કેવી હશે?
- 7.15** 110 V, 60 Hz ac સોત સાથે 100  $\mu$ Fનું કેપેસીટર અને 40  $\Omega$  અવરોધ શ્રેષ્ઠીમાં જોડેલ છે.
- પરિપથમાં મહત્તમ પ્રવાહ કેટલો હશે?
  - મહત્તમ પ્રવાહ અને મહત્તમ વોલ્ટેજ વચ્ચેનો સમય તફાવત કેટલો હશે?
- 7.16** સ્વાધ્યાય 7.15માં પરિપથ સાથે 110 V, 12 kHzનો સોત જોડવામાં આવે તો (a) અને (b)નાં જવાબો મેળવો તે પરથી “ખૂબ જ ઊંચી આવૃત્તિએ કેપેસીટર વાહક બને છે.” – એ વિધાન સમજાવો. dc પરિપથમાં સ્થાયી અવસ્થા આવે પછી કેપેસીટરની વર્તણૂકની સરખામણી આ વર્તણૂક સાથે કરો.
- 7.17** LCR શ્રેષ્ઠી પરિપથમાં સોતની આવૃત્તિને અનુનાદ આવૃત્તિ જેટલી રાખીને જો L, C અને R ગ્રાણેની ઘટકોને સમાંતરે જોડવામાં આવે તો, દર્શાવો કે આ આવૃત્તિએ LCR સમાંતર પરિપથમાં કુલ પ્રવાહ લઘુત્તમ હોય છે. સ્વાધ્યાય 7.11માં દર્શાવેલ ઘટકો અને સોત માટે આ આવૃત્તિએ પરિપથની દરેક શાખાનાં પ્રવાહનું rms મૂલ્ય મેળવો.
- 7.18** 230V, 50 Hz ac સોત સાથે 80 mH ઈન્ડક્ટર અને 60  $\mu$ F કેપેસીટરને શ્રેષ્ઠીમાં જોડેલ છે. પરિપથનો અવરોધ અવગણ્ય છે.
- પ્રવાહ કંપવિસ્તાર અને rms મૂલ્ય મેળવો.
  - દરેક ઘટકનાં બે છેડા વચ્ચેનાં વોલ્ટેજ ઝોપનું rms મૂલ્ય મેળવો.
  - ઈન્ડક્ટરમાં સ્થાનાંતરીત થયેલ સરેરાશ પાવર કેટલો હશે?
  - કેપેસીટરમાં સ્થાનાંતરીત થયેલ સરેરાશ પાવર કેટલો હશે?
  - પરિપથ વડે શોખાતો કુલ સરેરાશ પાવર કેટલો હશે? (સરેરાશ એટલે એક ચક ઉપરનું સરેરાશ).
- 7.19** ધારોકે સ્વાધ્યાય 7.18નાં પરિપથમાં 15  $\Omega$  અવરોધ છે. પરિપથનાં દરેક ઘટકમાં સ્થાનાંતરિત સરેરાશ પાવર અને શોખાતો કુલ પાવર મેળવો.

- 7.20**  $L = 0.12 \text{ H}$ ,  $C = 480 \text{ nF}$  તથા  $R = 23 \Omega$  ધરાવતા LCR શ્રેણી પરિપथ સાથે ચલ આવૃત્તિવાળો  $230 \text{ V}$ નો સોત જોડેલ છે.
- પ્રવાહ કંપવિસ્તાર મહત્તમ બને તે માટે સોત આવૃત્તિ કેટલી હશે ? આ મહત્તમ મૂલ્ય મેળવો.
  - પરિપથ વડે શોષાતા સરેરાશ પાવરનું મૂલ્ય મહત્તમ બને તે માટે સોત આવૃત્તિ કેટલી હશે ? આ મહત્તમ પાવરનું મૂલ્ય મેળવો.
  - પરિપથમાં સ્થાનાંતરિત પાવર, અનુનાદ આવૃત્તિ માટેના પાવર કરતાં અદ્યો હોય તે આવૃત્તિઓના મૂલ્યો ક્યાં ક્યાં છે ? આ આવૃત્તિએ પ્રવાહનો કંપવિસ્તાર કેટલો હશે ?
  - આપેલ પરિપથનો Q-ફેક્ટર કેટલો હશે ?
- 7.21**  $L = 3.0 \text{ H}$ ,  $C = 27 \mu\text{F}$  અને  $R = 7.4 \Omega$  ધરાવતા LCR શ્રેણી પરિપથ માટે અનુનાદ આવૃત્તિ અને Q-ફેક્ટર મેળવો. પરિપથના અનુનાદની તીક્ષ્ણતામાં સુધ્ધારો કરવા માટે તેની “અર્ધ મહત્તમ આગળ સંપૂર્ણ પહોળાઈ”, ઘટાડીને અદ્યો કરવામાં આવે છે. આમ, કરવા માટેનો યોગ્ય રસ્તો સૂચ્યવો.
- 7.22** નીચેના પ્રશ્નોના જવાબ આપો.
- કોઈપણ ac પરિપથમાં લાગુ પાડેલ તાત્કષિક વોલ્ટેજ, તે પરિપથમાં શ્રેણી જોડાણમાં રહેલાં ઘટકોનાં બે છેડાઓ વચ્ચેનાં તાત્કષિક વોલ્ટેજના બૈજીક સરવાળા બરાબર હોય છે ? આ જ પરિણામ rms વોલ્ટેજ માટે સત્ય હોય છે ?
  - ઇન્ડક્શન કોઈલનાં પ્રાથમિક પરિપથમાં કેપેસીટરનો ઉપયોગ થાય છે.
  - લાગુ પાડેલ વોલ્ટેજ સિંનલ dc વોલ્ટેજ અને ઊંચી આવૃત્તિવાળા ac વોલ્ટેજના સંપાતથી બનેલું છે. પરિપથ ઇન્ડક્ટર અને કેપેસીટરનું શ્રેણી જોડાણ ધરાવે છે. દર્શાવો કે, dc સિંનલ કેપેસીટરનાં બે છેડા વચ્ચે અને ac સિંનલ ઇન્ડક્ટરનાં બે છેડા વચ્ચે પ્રદર્શિત (Appear) થશે.
  - એક ચોક કોઈલ અને બલ્બ શ્રેણીમાં dc લાઈન (સોત) સાથે જોડેલ છે. બલ્બ પ્રકાશિત થતો હેખાય છે. ચોક કોઈલમાં લોખંડનું ગર્ભ (Core) દાખલ કરતાં બલ્બની પ્રકાશિતતામાં કોઈ જ ફેરફાર થતો નથી. જો આ જ જોડાણ ac લાઈન સાથે કરવામાં આવ્યું હોય તો તેને અનુરૂપ તમારા અવલોકનનું અનુમાન કરો.
  - ac સપ્લાય (મેઈન્સ) સાથે જોડેલ ફલોરેસન્ટ ટ્યુબનો (ઉપયોગ કરવા માટે ચોક કોઈલ શા માટે જરૂરી છે ? આપણે ચોક કોઈલને બદલે સામાન્ય અવરોધનો ઉપયોગ શા માટે ન કરી શકીએ ?
- 7.23** પાવર ટ્રાન્સફોર્મેશન લાઈનમાં,  $4000 \text{ આંટા}$  ધરાવતા પ્રાયમરી કોઈલવાળા સ્ટેપડાઉન ટ્રાન્સફોર્મરને  $2300 \text{ V}$  જેટલા વોલ્ટેજ ઇનપુટ પાવર પુરો પાડવામાં આવે છે. જો આઉટપુટ વોલ્ટેજ  $230 \text{ V}$  મેળવવો હોય તો ગૌણ ગુંચણામાં આંટાની સંખ્યા કેટલી રાખવી જોઈએ ?
- 7.24** એક હાઈફ્રોઇલેક્ટ્રોદ્રિક પાવર પ્લાન્ટમાં દબાણ કરતું પાણીનું ડેક (સંટાબ)  $300 \text{ m}^3$  ઊંચાઈ પર છે અને મળતો પાણીનો પ્રવાહ  $100 \text{ m}^3 \text{s}^{-1}$  છે, જો ટર્બાઈન જનરેટરની કાર્યક્ષમતા  $60 \%$  હોય તો પ્લાન્ટમાંથી મળતા વિદ્યુત પાવરનું અનુમાન કરો. ( $g = 9.8 \text{ ms}^{-2}$ )
- 7.25**  $440 \text{ V}$  ઉત્પાદન શક્તિ ધરાવતા વિદ્યુત પ્લાન્ટની  $15 \text{ km}$  દૂર  $220 \text{ V}$  જેટલા વોલ્ટેજે  $800 \text{ kW}$  વિદ્યુત પાવરની જરૂરીયાતવાળું એક નાનું શહેર આવેલું છે. પાવર લઈ જતી બે તારની લાઈનનો અવરોધ  $0.5 \Omega/\text{km}$  છે. શહેરમાંના સબ-સ્ટેશને આવેલા  $4000-220 \text{ V}$ ના સ્ટેપડાઉન ટ્રાન્સફોર્મર દ્વારા શહેરને પાવર મળે છે.
- પાવર લાઈનમાં ઉખા સ્વરૂપે વ્યય થતા પાવરનો અંદાજ મેળવો.
  - લીકેજને કારણે થતો પાવર અવગણ્ય છે તેમ ધારતાં પ્લાન્ટ દ્વારા કેટલો પાવર પુરો પડાવો જોઈએ ?
  - પ્લાન્ટ પાસે જરૂરી સ્ટેપઅપ ટ્રાન્સફોર્મરની લાક્ષણિકતા જણાવો.
- 7.26** ઉપરોક્ત (7.25) સ્વાધ્યાયમાં અગાઉના ટ્રાન્સફોર્મરને બદલે  $40000-220 \text{ V}$  સ્ટેપડાઉન ટ્રાન્સફોર્મરનો ઉપયોગ કરવામાં આવેતો તમામ જવાબો મેળવો. (અગાઉની જેમજ ક્ષરણ (ગળતર, leakage) પાવર અવગણો. જોકે આવી ધારણા સારી નથી કારણું કે ટ્રાન્સભિશનમાં ઉચ્ચ વોલ્ટેજ સંકળાપેલ છે). તે પરથી સમજાવો કે શા માટે ઉચ્ચ વોલ્ટેજે પાવર ટ્રાન્સભિશન કરવાનું પસંદ કરવામાં આવે છે ?

## પ્રકરણ આઈ

# વિદ્યુતચુંબકીય તરંગો (ELECTRO MAGNETIC WAVES)



### 8.1 પ્રસ્તાવના (INTRODUCTION)

પ્રકરણ-4માં આપણે જાણ્યું કે વિદ્યુતપ્રવાહ ચુંબકીયક્ષેત્ર ઉત્પન્ન કરે છે અને બે પ્રવાહધારિત તાર એકબીજા પર ચુંબકીયબળ લગાડે છે. ઉપરાંત, પ્રકરણ-6માં આપણે જોયું કે સમય સાથે બદલાતું ચુંબકીયક્ષેત્ર વિદ્યુતક્ષેત્ર ઉત્પન્ન કરે છે. શું આનાથી ઉલટું પણ સાચું છે? શું સમય સાથે બદલાતું વિદ્યુતક્ષેત્ર ચુંબકીયક્ષેત્ર ઉત્પન્ન કરે છે? જેમસ ક્લાર્ક મેક્સવેલ (James Clerk Maxwell – 1831-1879)ના મત અનુસાર આવું ખરેખર શક્ય છે. ફક્ત વિદ્યુતપ્રવાહ જ નહીં પરંતુ સમય સાથે બદલાતું વિદ્યુતક્ષેત્ર પણ ચુંબકીયક્ષેત્ર ઉત્પન્ન કરી શકે છે. ઓમ્પ્યયરના બંધ ગાળાના નિયમ (Circuital Law)ની મદદથી સમય સાથે બદલાતા વિદ્યુતપ્રવાહ સાથે જોડાયેલા કેપેસીટર (સંધારક)ની બહારના ભાગમાં ચુંબકીયક્ષેત્ર શોધવાના પ્રયત્નમાં, મેક્સવેલને ઓમ્પ્યયરના બંધ ગાળાના (Circuital) નિયમમાં અસાતત્યતા જણાઈ. આ અસાતત્યતા દૂર કરવા માટે તેણે એક વધારાના પ્રવાહની જરૂરિયાત સૂચવી જેને સ્થાનાંતર (Displacement) પ્રવાહ નામ આપ્યું.

મેક્સવેલે વિદ્યુત અને ચુંબકીયક્ષેત્રો અને તેના ઉદ્ગમો, વિદ્યુતભાર અને પ્રવાહધનતાને સાંકળતા સમીકરણોના ગણ (સમૂહ)ની રચના કરી. આ સમીકરણો મેક્સવેલના સમીકરણો તરીકે ઓળખાય છે. આ સમીકરણો, લોરેન્ટ્ઝ બળ-સૂત્ર (પ્રકરણ-4)ની સાથે મળીને વિદ્યુતચુંબકત્વના બધા મૂળભૂત નિયમોને ગાળિતીય રીતે રજૂ કરે છે.

મેક્સવેલના સમીકરણોમાંથી ઉદ્ભવતું સૌથી અગત્યનું અનુમાન એ વિદ્યુતચુંબકીય તરંગોનું અસ્તિત્વ છે કે જે સમય સાથે બદલાતા વિદ્યુત અને ચુંબકીયક્ષેત્રોનું (સંયુક્ત રીતે) અવકાશમાં પ્રસરણ દર્શાવે છે. આ સમીકરણો મુજબ આ તરંગોની ઝડપ, પ્રકાશીય માપનો દ્વારા મળતા પ્રકાશની ઝડપના મૂલ્ય  $(3 \times 10^8 \text{ m/s})$ ની ખૂબ જ નજીકનું હોવાનાં માલુમ પડ્યું. આમ, પ્રકાશ એક વિદ્યુતચુંબકીય તરંગ છે તેવું દિલ્લી



**જેમ્સ કલક્ક મેક્સવેલ (1831-1879)**  
 એડીનબર્ગ, સ્કોટલેન્ડમાં ૪૦મેલા ઓગાણીસમી સદીના મહાન ભૌતિકશાસ્ત્રીઓમાંના એક. તેમણે વાયુમાં અણુઓ માટેનો ઉભીય વેગ-વિતરણનો નિયમ તારવ્યો અને તેઓ સૌપ્રથમ વૈજ્ઞાનિક હતા કે જેમણે પ્રાયોગિક રીતે મળતી રાશિઓ જેવી કે શ્યાનતા વગેરે પરથી આજિવ્ય પ્રાચલોનો વિચસનીય અંદાજ (Estimate) મેળવ્યો. મેક્સવેલની સૌથી મોટી સિદ્ધિ એ (કુલંબ, ઓરસ્ટેડ, ઔભ્યિયર અને ફેરેડ દ્વારા શોધાયેલા) વિદ્યુતકીય અને ચુંબકીય નિયમોને સુસંગત સમીકરણોનાં એક જૂથ (ગણ) તરીકે એકીકીકરણ (Unification) કર્યું તે છે જે હવે મેક્સવેલના સમીકરણોથી ઓળખાય છે. આની મદદથી તે સૌથી અગત્યના તારણ પર આવ્યા કે પ્રકાશ એ વિદ્યુતચુંબકીય તરંગ છે. રસપ્રદ બાબત તો એ છે કે કુદરતમાં વિદ્યુત કણ સ્વરૂપમાં (Particulate) છે એવા (ફેરેના વિદ્યુત વિશ્લેષણના નિયમો દ્વારા દફ્ફાણે સૂચવાયેલા) વિચાર સાથે તે સહમત ન હતા.

જેમ્સ કલક્ક મેક્સવેલ (1831-1879)

રીતે તારવી શકાયું. આમ, મેક્સવેલ વિદ્યુતકીય, ચુંબકીય અને પ્રકાશ એમ ત્રણેય શાખા (વિષય)ને સાંકળવાનું કાર્ય કર્યું. 1885માં હર્ટ્ઝે પ્રાયોગિક રીતે વિદ્યુતચુંબકીય તરંગોનું અસ્તિત્વ દર્શાવ્યું. સમય જતાં માર્કોની અને અન્યોએ તેનો પ્રૌધોગિક (Technological) ઉપયોગ કરી સંદેશાવ્યવહારમાં કાંતિ સર્જ, જેના આજે આપણે સાક્ષી છીએ.

આ પ્રકરણમાં સૌપ્રથમ આપણે સ્થાનાંતર પ્રવાહની જરૂરિયાત અને તેના પરિણામોની ચર્ચા કરીશું. ત્યારબાદ વિદ્યુતચુંબકીય તરંગોની વર્ણનાત્મક રજૂઆત કરીશું. ગ્યારણો (તરંગલંબાઈ  $\sim 10^{-12}$  m)થી લાંબા રેઝિયોતરંગો (તરંગલંબાઈ  $\sim 10^6$  m) સુધી પથરાયેલા વિદ્યુતચુંબકીય તરંગોના વર્ણપત્રનું વર્ણન કરીશું. વિદ્યુતચુંબકીય તરંગોને સંદેશાવ્યવહાર માટે કેવી રીતે મોકલવા અને ગ્રહણ (Receive) કરવા તેનું વર્ણન પ્રકરણ-15માં કરીશું.

### 8.2 સ્થાનાંતર પ્રવાહ (DISPLACEMENT CURRENT)

આપણે પ્રકરણ-4માં જોયું કે વિદ્યુતપ્રવાહ તેની આસપાસ ચુંબકીયક્ષેત્ર ઉત્પન્ન કરે છે. મેક્સવેલ દર્શાવ્યું કે, ટાર્કિક સંગતતા માટે બદલાતા વિદ્યુતક્ષેત્ર વડે પણ ચુંબકીયક્ષેત્ર ઉત્પન્ન થવું જ જોઈએ. આ (ભૌતિક) અસર એ ખૂબ જ અગત્યની છે, કેમકે તે રેઝિયોતરંગો, ગામા તરંગો અને દર્શય પ્રકાશ ઉપરાંત બીજા બધા જ સ્વરૂપના વિદ્યુતચુંબકીય તરંગોનું અસ્તિત્વ સમજાવે છે.

કેવી રીતે બદલાતું વિદ્યુતક્ષેત્ર એ ચુંબકીયક્ષેત્ર ઉત્પન્ન કરે છે તે સમજવા માટે, કેપેસીટર (સંધારક)ના વિદ્યુતભારિત થવાની (Charging) પ્રક્રિયા ધ્યાનમાં લો અને સંધારકના બહારના બિંદુએ ચુંબકીય ક્ષેત્ર શોધવા માટે ઔભ્યિયરનો સરકીટલ (પરિપથીય) નિયમ (પ્રકરણ-4) લાગુ પાડો.

$$\oint \mathbf{B} \cdot d\mathbf{l} = \mu_0 i(t) \quad (8.1)$$

આકૃતિ 8.1(a)માં એક સમાંતર ખેટ ધરાવતું કેપેસીટર (સંધારક) C કે જે સમય-આધારિત પ્રવાહ  $i(t)$  ધરાવતા પરિપથનો ભાગ છે તે દર્શાવેલ છે. સમાંતર ખેટ ધરાવતા કેપેસીટરની બહારના ભાગમાં આવેલ બિંદુ P આગળ ચુંબકીયક્ષેત્ર શોધીએ. આ માટે, એક  $r$  ત્રિજ્યાનો સમતલીય વર્તુળાકાર બંધગાળો (Loop) કે જેનું સમતલ એ પ્રવાહધારિત તારની દિશાને લંબ અને તે તારને સંભિત રીતે કેન્દ્રિય થયેલ છે, તેને ધ્યાનમાં લો. [આકૃતિ 8.1(b)]. આકૃતિની સંભિતિ પરથી, ચુંબકીયક્ષેત્ર એ વર્તુળાકાર બંધગાળાના પરિધિની દિશામાં હશે અને તેનું માન ગાળા પરના દરેક બિંદુ આગળ સમાન હશે. જો ચુંબકીયક્ષેત્રનું માન B હોય તો, સમીકરણ (8.1)ની ડાબી બાજુ B( $2\pi r$ ) થશે. તેથી આપણાને

$$B(2\pi r) = \mu_0 i(t) \quad (8.2)$$

મળે.

## વિદ્યુતચુંબકીય તરંગો

હવે, એક બીજી સપાટી વિચારો કે જેને અગાઉના કિસ્સા જેટલી જ સીમા હોય. આ એક ઘડા-આકારની સપાટી [આકૃતિ 8.1(b)] છે કે જે પ્રવાહને (પ્રવાહધારીત તારને) ક્યાંય રૂપર્શતી નથી પણ આ સપાટીનું તળિયું કેપેસીટરની બે ખેટોની વચ્ચેના ભાગમાં જ્યારે તેનું મુખ ઉપર દર્શાવ્યા મુજબનો વર્તુળકાર બંધગાળો છે. આવી બીજી એક સપાટી (ઢાંકણા વગરના) ટીફીન-બોક્સ જેવી [આકૃતિ 8.1(c)] છે. આવી સમાન પરિસીમા ધરાવતી સપાટીઓને એમ્પિયરનો સરકીટલ-નિયમ લગાડતાં આકૃતિ 8.1(b) અને (c)માં દર્શાવેલ સપાટીઓમાંથી પ્રવાહ પસાર થતો ન હોવાથી, આપણે જાણી શકીએ છીએ કે સમીકરણ 8.1ની ડાબી બાજુ બદલાતી નથી પરંતુ જમણી બાજુ  $\mu_0$ ને બદલે શૂન્ય થશે. આથી, આ એક વિરોધાભાસ છે, એક રીતે ગણતાં બિંદુ P આગળ ચુંબકીયક્ષેત્ર (અશૂન્ય) મળશે જ્યારે બીજી રીતે ગણતાં બિંદુ P આગળ સમાન ચુંબકીયક્ષેત્ર શૂન્ય થાય છે.

આ વિરોધાભાસ આપણને એમ્પિયરનો સરકીટલ નિયમ લગાવતા ઉદ્ભવે છે તેથી આ નિયમમાં જ કંઈક ખૂટે છે. આ ખૂટનું પદ એવું હશે કે કોઈ પણ સપાટીનો ઉપયોગ કરીએ તો પણ બિંદુ P આગળ સમાન ચુંબકીયક્ષેત્ર મળે.

આકૃતિ 8.1(c)ને ધ્યાનપૂર્વક જોતાં આ ખૂટનું પદ વિશે આપણે અનુમાન કરી શકીએ. આપણને સવાલ થાય કે શું કેપેસીટરની ખેટની વચ્ચેથી પસાર થતી સપાટી Sમાંથી શું કંઈક પણ પસાર થાય છે? હા, અલબંજ તે વિદ્યુતક્ષેત્ર છે! જો કેપેસીટરની દરેક ખેટનું ક્ષેત્રફળ A અને કુલ વિદ્યુતભાર Q હોય તો ખેટોની વચ્ચેના ભાગમાં વિદ્યુતક્ષેત્ર E નું મૂલ્ય  $(Q/A)/\epsilon_0$  (સમીકરણ (2.41) જુઓ) થશે. આ ક્ષેત્ર આકૃતિ 8.1(c)માં દર્શાવેલ સપાટી Sને લંબરૂપે હશે. તેનું મૂલ્ય કેપેસીટરની ખેટોના સમગ્ર ક્ષેત્રફળ A પર સમાન હશે, જ્યારે બહારના ભાગમાં શૂન્ય હશે. તો સપાટી S સાથે સંકળાયેલ વિદ્યુત ફ્લૂક્સ ફેલ્ચર કેટલું હશે? ગોસના નિયમની મદદથી તે

$$\Phi_E = |E|A = \frac{1}{\epsilon_0} \frac{Q}{A} A = \frac{Q}{\epsilon_0} \quad (8.3)$$

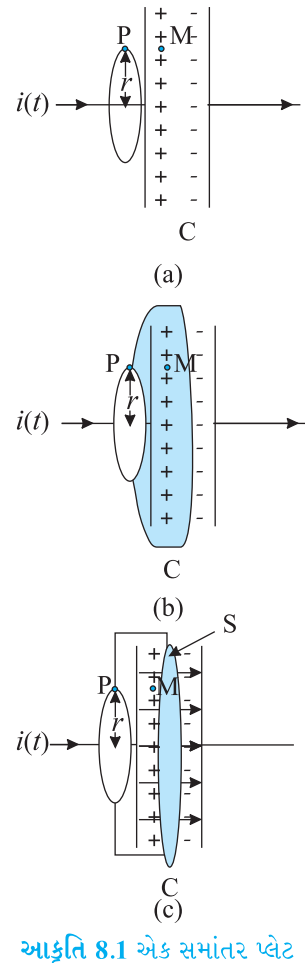
હવે, જો કેપેસીટરની ખેટ પર રહેલ વિદ્યુતભાર Q સમય સાથે બદલાતો હોય, તો તેને અનુરૂપ પ્રવાહ  $i = (dQ/dt)$  હશે, તેથી સમીકરણ (8.3)ની મદદથી આપણને

$$\frac{d\Phi_E}{dt} = \frac{d}{dt} \left( \frac{Q}{\epsilon_0} \right) = \frac{1}{\epsilon_0} \frac{dQ}{dt}$$

મળે. તે સૂચવે છે કે સુસંગતતા માટે,

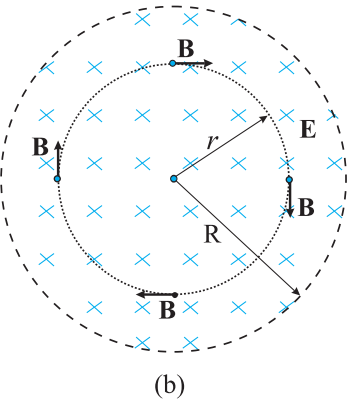
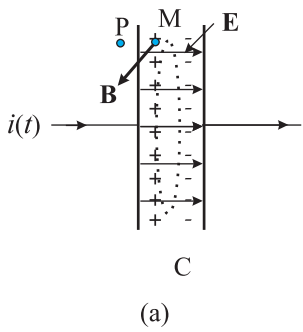
$$\epsilon_0 \left( \frac{d\Phi_E}{dt} \right) = i. \quad (8.4)$$

જે એમ્પિયરના સરકીટલ નિયમનું ખૂટનું પદ છે. વાહક દ્વારા સપાટીમાંથી વહેતા કુલ પ્રવાહમાં આ જ સપાટી સાથે સંકળાયેલ વિદ્યુત ફ્લૂક્સના સમય-દરના  $E_0$  ગણું હોય તેવું બીજું પદ ઉમેરીને આ નિયમને વ્યાપક સ્વરૂપ આપતાં આ કુલ પ્રવાહ નું મૂલ્ય દરેક સપાટીઓ માટે સમાન હશે. જો આમ કરવામાં આવે તો આ એમ્પિયરના વ્યાપક નિયમની મદદથી કોઈ પણ સ્થાને Bનું મૂલ્ય શોધતાં કોઈ વિરોધાભાસ નહીં આવે. બિંદુ P આગળ ગમે તે સપાટીના ઉપયોગથી ગણાયેલ Bનું મૂલ્ય અશૂન્ય આવશે. ખેટ [આકૃતિ 8.1(a)]ની બહારના બિંદુ P આગળ Bનું મૂલ્ય એ ખેટની તરત જ અંદરના બિંદુ M આગળના મૂલ્ય જેટલું જ આવશે અને હિક્કતમાં આમ થવું પણ જોઈએ. વિદ્યુતભારના વહનને કારણે વહેતા પ્રવાહને વહનપ્રવાહ (Conduction Current) કહે છે. સમીકરણ (8.4) દ્વારા દર્શાવેલ પ્રવાહ નવું પદ છે અને તે બદલાતા વિદ્યુતક્ષેત્ર (અથવા હજુ ઘડીવાર વપરાતું જુનું પદ વિદ્યુત સ્થાનાંતર)ને કારણે છે અને તેથી તેને સ્થાનાંતર પ્રવાહ અથવા મેક્સવેલનો સ્થાનાંતર પ્રવાહ કહે છે. આકૃતિ 8.2 ઉપર ચર્ચે સમાંતર ખેટ ધરાવતા કેપેસીટરની અંદર પ્રવર્તતા વિદ્યુત અને ચુંબકીયક્ષેત્રો દર્શાવે છે.



આકૃતિ 8.1 એક સમાંતર ખેટ ધરાવતું કેપેસીટર C કે જેમાંથી સમય-આધારિત પ્રવાહ  $i(t)$  પસાર થાય છે, (a) બિંદુ P આગળ ચુંબકીયક્ષેત્ર શોધવા માટે  $r$ -નિઝયાનો બંધગાળો, (b) કેપેસીટરની બે ખેટની અંદરથી પસાર થતી ઘડા-આકારની સપાટી કે જેનું મુખ (a)માં દર્શાવ્યા મુજબના બંધગાળાની ધાર છે, (c) બંધગાળો જેના મુખની ધાર હોય અને ચયપટું વર્તુળકાર તળિયું S એ કેપેસીટરની બે ખેટની અંદરના ભાગમાં હોય તેવી ટીફીન-આકારની સપાટી. કેપેસીટરની બે ખેટની વચ્ચેના ભાગમાં રહેલ સમાન વિદ્યુતક્ષેત્ર તીર વે દર્શાવેલ છે. 271

## ભૌતિકવિજ્ઞાન



**આકૃતિ 8.2 (a)** સંધારકની ખેટોની વચ્ચે M બિંદુ આગળ વિદ્યુત અને ચુંબકીયક્ષેત્રો E અને B, (b) આકૃતિ (a)નો આડછે

મેક્સવેલ દ્વારા થયેલ વ્યાપકીકરણ નીચે મુજબ છે. ચુંબકીયક્ષેત્રનું ઉદ્ભવસ્થાન એ ફક્ત વહન પામતા વિદ્યુતભારોને કારણે મળતો વહનપ્રવાહ જ નથી પરંતુ વિદ્યુતક્ષેત્ર ફેરફારનો સમયદર પણ છે. વધારે ચોક્સાઈથી, કુલ પ્રવાહ  $i$  એ  $i_c$  વડે દર્શાવતા વહન (Conduction) પ્રવાહ અને  $i_d = \epsilon_0(d\Phi_E/dt)$  વડે દર્શાવતા સ્થાનાંતરીય પ્રવાહના સરવાળા બરાબર હોય છે. તેથી આપણાને

$$i = i_c + i_d = i_c + \epsilon_0 \frac{d\Phi_E}{dt} \quad (8.5)$$

મળે છે. સ્પષ્ટ શબ્દોમાં આનો અર્થ એ થયો કે કેપેસીટરની ખેટોની બહારના ભાગમાં આપણાને ફક્ત વહનપ્રવાહ  $i_c = i$  મળશે અને કોઈ સ્થાનાંતર પ્રવાહ નાલ હોય, એટલે કે  $i_d = 0$  થશે. બીજુ, કેપેસીટરના અંદરના ભાગમાં કોઈ વહન (Conduction) પ્રવાહ નહીં હોય અર્થાત્  $i_c = 0$  અને ફક્ત સ્થાનાંતર પ્રવાહ હશે, એટલે કે  $i_d = i$ .

ઓભિયરના આ વ્યાપક (અને સાચા) સર્કીટલ નિયમનું સ્વરૂપ સમીકરણ (8.1) જેણું જ છે પણ એક તકાવત છે : “ઝેણો બંધગાળો એ પરિસીમા હોય તેવી કોઈપણ સપાઠીમાંથી પસાર થતો કુલ પ્રવાહ એ વહનપ્રવાહ અને સ્થાનાંતર પ્રવાહના સરવાળા બરાબર હોય છે.” વ્યાપક નિયમ,

$$\oint B \cdot dl = \mu_0 i_c + \mu_0 \epsilon_0 \frac{d\Phi_E}{dt} \quad (8.6)$$

છે અને તેને ઓભિયર-મેક્સવેલ નિયમ કહે છે.

બધાં જ સંદર્ભમાં, આ સ્થાનાંતર પ્રવાહની ભૌતિક અસર એ વહન (Conduction) પ્રવાહ જેવી જ છે. અમુક ડિસાઓમાં, દા.ત, વાહક તારમાં સ્થિત વિદ્યુતક્ષેત્રના ડિસા માટે, વિદ્યુતક્ષેત્ર E સમય સાથે બદલાતું ન હોવાથી સ્થાનાંતર પ્રવાહ શૂન્ય થશે. બીજા ડિસાઓમાં, દા.ત., ઉપરોક્ત કેપેસીટર વિદ્યુતભારિત થવામાં વહન (Conduction) પ્રવાહ અને સ્થાનાંતર પ્રવાહ બંને અવકાશના જુદા જુદા ભાગમાં હાજર હશે. મોટાભાગના ડિસાઓમાં માધ્યમ સંપૂર્ણ સુવાહક કે સંપૂર્ણ અવાહક ન હોવાથી બંને પ્રવાહો અવકાશના એક જ ભાગમાં અસ્તિત્વ ધરાવી શકે છે. રસપ્રદ બાબત એ છે કે, અવકાશના ખૂબ મોટા વિસ્તારમાં વહન (Conduction) પ્રવાહ ના હોય પણ સમય સાથે બદલાતા વિદ્યુતક્ષેત્રને કારણે ફક્ત સ્થાનાંતર પ્રવાહ હશે. આવા વિસ્તારમાં, નજીકમાં વહન (Conduction) પ્રવાહનું ઉદ્ગમ ન હોવા છતાં આપણે ચુંબકીયક્ષેત્ર હશે તેમ અપેક્ષા રાખી શકીએ ! આવા અપેક્ષિત સ્થાનાંતર પ્રવાહની ધારણા પ્રાયોગિક રીતે ચકાસી શકાય છે. ઉદાહરણ તરીકે આકૃતિ 8.2(a)માં દર્શાવેલ સંધારકની ખેટોની અંદરના ભાગમાં આવેલું બિંદુ (દા.ત., બિંદુ M) આગળ ચુંબકીયક્ષેત્ર માપી શકાય છે કે જે બહારના ભાગ (બિંદુ P આગળ) જેટલું જ છે તેમ જણાયું છે.

આ સ્થાનાંતર પ્રવાહની (શબ્દશઃ) ઘણી દૂરગામી અસરો છે. એક વસ્તુ આપણાને તરત જ આંબે વળગે તેવી એ છે કે વિદ્યુત અને ચુંબકત્વના નિયમો હવે વધારે સંમિત રીતે રજૂ કરી શકાય છે.\* ફેરફારનો પ્રેરણનો નિયમ જણાવે છે કે પ્રેરિત  $emf$  ચુંબકીય ફ્લક્સના ફેરફારના સમય દર બરાબર છે. હવે, બે બિંદુઓ 1 અને 2 વચ્ચેનું  $emf$  એટલે એકમ વિદ્યુતભારને 1 થી 2 લઈ જવા માટે કરવું પડતું કાર્ય. તેથી  $emf$ ની હાજરી વિદ્યુતક્ષેત્રની હાજરી સૂચયે છે. તેથી, ફેરફારના વિદ્યુતપ્રેરણના નિયમને બીજા શબ્દોમાં લખતાં સમય સાથે બદલાતું જતું ચુંબકીયક્ષેત્ર વિદ્યુતક્ષેત્ર ઉત્પન્ન કરે છે. તો એ હકીકત કે સમય સાથે બદલાતું વિદ્યુતક્ષેત્ર એ ચુંબકીયક્ષેત્ર ઉત્પન્ન કરે છે એ તેનું સંમિત વિધાન છે અને સ્થાનાંતર પ્રવાહ \*

\* હજુ પણ તેઓ સંપૂર્ણ રીતે સંમિત ધરાવતા નથી, હજુ સુધી વિદ્યુતક્ષેત્રના ઉદ્ગમો એવા વિદ્યુતભારોની જેમ ચુંબકીયક્ષેત્ર ઉત્પન્ન કરતા ઉદ્ગમો (ચુંબકીય એકત્રુષ્વ) જણાયા નથી.

## વિદ્યુતચુંબકીય તરંગો

એ ચુંબકીયક્ષેત્ર માટેનું ઉદ્ગમ હોવાનું પરિણામ છે. આમ, સમય આધારિત વિદ્યુત અને ચુંબકીયક્ષેત્રો એકબીજાને ઉત્પન્ન કરશે ! ફેરફારો વિદ્યુતપ્રેરણનો નિયમ અને એમ્પિયર-મેક્સવેલનો નિયમ આ વિધાનનું માત્રાત્મક સૂત્ર આપે છે કે જ્યાં પ્રવાહ એટલે સમીકરણ (8.5)માં દર્શાવેલ કુલ વિદ્યુતપ્રવાહ છે. આ સંમિતિનું એક સૌથી અગત્યનું પરિણામ એ વિદ્યુતચુંબકીય તરંગો છે કે જેની ગુણાત્મક ચર્ચા આના પછીના વિભાગમાં કરીશું.

### મેક્સવેલના સમીકરણો

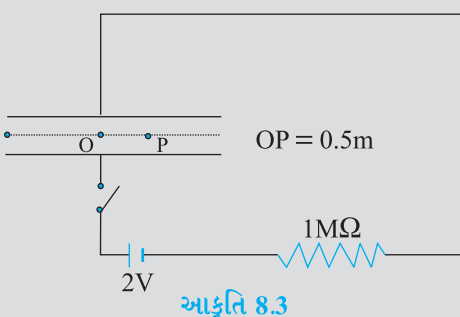
$$(1) \oint \mathbf{E} \cdot d\mathbf{A} = Q/\epsilon_0 \quad (\text{ગોસનો વિદ્યુત માટેનો નિયમ})$$

$$(2) \oint \mathbf{B} \cdot d\mathbf{A} = 0 \quad (\text{ગોસનો ચુંબકત્વ માટેનો નિયમ})$$

$$(3) \oint \mathbf{E} \cdot d\mathbf{l} = -\frac{d\Phi_B}{dt} \quad (\text{ફેરેનો નિયમ})$$

$$(4) \oint \mathbf{B} \cdot d\mathbf{l} = \mu_0 i_c + \mu_0 \epsilon_0 \frac{d\Phi_E}{dt} \quad (\text{એમ્પિયર-મેક્સવેલ નિયમ})$$

**ઉદાહરણ 8.1** એક સમાંતર પ્લેટ કેપેસિટર કે જેની વર્તુળાકાર પ્લેટની ત્રિજ્યા 1 m છે. તેનું કેપેસીટન્સ 1 nF છે. તેને વિદ્યુતભારિત કરવા માટે  $t=0$  સમયે એક  $R = 1 M\Omega$ ના અવરોધ સાથે શ્રેણીમાં 2 Vની બોટરી સાથે જોડવામાં આવે છે (આકૃતિ 8.3).  $t = 10^{-3}$  s સમયબાદ પ્લેટના કેન્દ્ર અને પરિવહિત વચ્ચેના મધ્ય બિંદુ P આગળ ચુંબકીયક્ષેત્ર ગણો. (કેપેસીટર પર  $t$  સમયે વિદ્યુતભાર  $q(t) = CV[1 - \exp(-t/\tau)]$ , જ્યાં સમય અચળાંક  $\tau$  એ કે  $CR$  બરાબર છે.



ઉકેલ CR પરિપથનો સમય અચળાંક  $\tau = CR = 10^{-3}$  s તેથી,

$$\begin{aligned} q(t) &= CV[1 - \exp(-t/\tau)] \\ &= 2 \times 10^{-9} [1 - \exp(-t/10^{-3})] \end{aligned}$$

$t$  સમયે બે પ્લેટોની વચ્ચે રહેલું વિદ્યુતક્ષેત્ર,

$$E = \frac{q(t)}{\epsilon_0 A} = \frac{q}{\pi \epsilon_0 r^2}; A = \pi (1)^2 m^2 = \text{પ્લેટનું ક્ષેત્રફળ}$$

હવે, બિંદુ Pમાંથી પસાર થતો (1/2) m ત્રિજ્યા ધરાવતો અને પ્લેટોને સમાંતર એક વર્તુળાકાર બંધગાળો ઘાનમાં લો. આ ગાળાના બધા જ બિંદુઓ આગળ ચુંબકીયક્ષેત્ર B એ ગાળાને સમાંતર હશે અને સમાન મૂલ્યનું હશે. આ ગાળા સાથે સંકળાયેલ ફૂલક્સ દર્શાવેલા હોય.



$$\Phi_E = E \times \text{બંધગાળાનું ક્ષેત્રફળ}$$

$$= E \times \pi \times \left(\frac{1}{2}\right)^2 = \frac{\pi E}{4} = \frac{q}{4\epsilon_0}$$

$t = 10^{-3}$  s એ સ્થાનાંતર પ્રવાહ,

$$i_d = \epsilon_0 \frac{d\Phi_E}{dt} = \frac{1}{4} \frac{dq}{dt} = 0.5 \times 10^{-6} \exp(-1)$$

બંધગાળાને એમ્પિયર-મેક્સવેલ નિયમ લગાવતાં,

$$B \times 2\pi \times \left(\frac{1}{2}\right) = \mu_0(i_c + i_d) = \mu_0(0 + i_d) = 0.5 \times 10^{-6} \mu_0 \exp(-1)$$

$$\text{અથવા } B = 0.74 \times 10^{-13} T$$

### 8.3 વિદ્યુતચુંબકીય તરંગો (ELECTROMAGNETIC WAVES)

#### 8.3.1 વિદ્યુતચુંબકીય તરંગોના ઉદ્ભવ સ્થાનો (Sources of Electromagnetic Waves)

વિદ્યુતચુંબકીય તરંગો કેવી રીતે ઉત્પન્ન કરાય છે? સ્થિર વિદ્યુતભારો કે નિયમિત ગતિ (અચળ વેગ સાથેની) ગતિ કરતા વિદ્યુતભારો (સ્થિર પ્રવાહ) વિદ્યુતચુંબકીય તરંગોના ઉદ્ભવ સ્થાનો હોઈ શકે નહીં. આમાંનું પ્રથમ (સ્થિર વિદ્યુતભાર) ફક્ત સ્થિત વિદ્યુતક્ષેત્ર ઉત્પન્ન કરે છે જ્યારે બીજું ચુંબકીયક્ષેત્ર ઉત્પન્ન કરે છે, પરંતુ તે સમય સાથે બદલાતું નથી. મેક્સવેલના વાદનું અગત્યાનું પરિણામ એ છે કે પ્રવેગિત વિદ્યુતભાર વિદ્યુતચુંબકીય તરંગોનું ઉત્સર્જન કરે છે. આની સાબિતી આ પુસ્તકની મર્માદાની બહાર છે, પરંતુ તેને આપણે આપણા ગુણાત્મક કારણો માટેના પાયા તરીકે સ્વીકારીશું. કોઈક આવૃત્તિથી દોલન કરતા વિદ્યુતભારને ધ્યાનમાં લો. (દોલન કરતો વિદ્યુતભાર એ પ્રવેગી વિદ્યુતભારનું ઉદાહરણ છે.) તે અવકાશમાં દોલન કરતા વિદ્યુતક્ષેત્રનું નિર્માણ કરે છે અને તે દોલન કરતા ચુંબકીયક્ષેત્રનું નિર્માણ કરે છે કે જે વળી પાછું દોલન કરતા વિદ્યુતક્ષેત્ર માટેનું ઉદ્ગમ બને છે અને આમ (સતત) ચાલ્યા કરે છે. આમ, જેમ તરંગ અવકાશમાં પ્રસરે છે તેમ દોલન કરતા વિદ્યુતક્ષેત્ર અને ચુંબકીયક્ષેત્રો એકબીજાને ઉત્પન્ન કર્યા કરે છે. આ વિદ્યુતચુંબકીય તરંગની આવૃત્તિ સ્વાભાવિક રીતે જ દોલન કરતા વિદ્યુતભારની આવૃત્તિ જેટલી જ હોય છે. પ્રસરણ પામતા તરંગ સાથે સંકળાયેલ ઊર્જા એ પ્રવેગિત વિદ્યુતભાર કે જે ઊર્જા સોત છે, તેની ઊર્જાના ભોગે મળે છે.

ઉપરોક્ત ચર્ચા પરથી, હવે પ્રકાશ એ વિદ્યુતચુંબકીય તરંગ હશે તેવી ધારણાની કસોટી કરવાનું સહેલું થયું એમ લાગતું હશે. આપણને એવું થાય કે આપણે એક એવા ac પરિપथની જરૂર છે કે જેમાં વિદ્યુતપ્રવાહ દશપ્રકાશ, દા.ત., પીળા પ્રકાશની આવૃત્તિથી દોલન કરતો હોય પણ આમ સહેલાઈથી મળવું તે શક્ય નથી. પીળા પ્રકાશની આવૃત્તિ  $6 \times 10^{14}$  Hz જેટલી છે, જ્યારે આધુનિક ઈલેક્ટ્રોનિક્સ પરિપથ વડે પણ માંદ  $10^{11}$  Hz જેટલી જ આવૃત્તિ મળી શકે છે અને એટલા માટે જ વિદ્યુતચુંબકીય તરંગોની પ્રાયોગિક સાબિતી દર્શાવતો પ્રયોગ હટ્ટુના પ્રયોગ (1887)ની જેમ નીચી આવૃત્તિ (રેઝિયોતરંગના વિસ્તાર)વાળા વિભાગમાં કરવો પડે.

મેક્સવેલના વાદ અંગે હટ્ટુના સફળ પ્રયોગો આ ક્ષેત્રમાં ઉતેજના જગાવી અને આવા બીજા અગત્યના કાર્યો (પ્રયોગો)ને ઉજાગર કરવાનું કામ કર્યું. આની સાથે સંકળાયેલી બે અગત્યની

સિદ્ધિઓનો અને ઉલ્લેખ જરૂરી છે. હર્ટ્ઝના પ્રયોગના સાત વર્ષ બાદ જગાદીશચંદ્ર બોઝ, કોલકાતા ખાતે ટૂંકી તરંગલંબાઈ (25 mmથી 5 mm) ધરાવતા વિદ્યુતચુંબકીય તરંગોનું ઉત્સર્જન અને અવલોકન કરવામાં સફળ રહ્યા. હર્ટ્ઝના પ્રયોગની જેમ જ તેમનો પ્રયોગ પણ પ્રયોગશાળા (લેબોરેટરી) સુધી સીમિત હતો.

લગભગ આ જ સમયગાળા દરમિયાન ઈટાલીમાં ગુજલીએલ્બો માર્કોની (Guglielmo Marconi)ને હર્ટ્ઝના પ્રયોગને અનુસરીને ઘણા કિલોમીટર દૂર સુધી વિદ્યુતચુંબકીય તરંગોને મોકલવામાં સફળતા મળી. માર્કોનીનો આ પ્રયોગ વિદ્યુતચુંબકીય તરંગો દ્વારા સંદેશાવ્યવહારના કેત્રમાં પ્રથમ સોપાન હતું.

### 8.3.2 વિદ્યુતચુંબકીય તરંગોની લાક્ષણિકતા

#### (Nature of electromagnetic waves)

મેક્સવેલના સમીકરણો પરથી દર્શાવી શકાય કે વિદ્યુતચુંબકીય તરંગોમાં વિદ્યુત અને ચુંબકીય કેન્દ્રો એકબીજાને અને પ્રસરણ દિશાને લંબરૂપે હોય છે. જે આપણા સ્થાનાંતર પ્રવાહની ચર્ચા પરથી વાજબી પણ લાગે છે. આકૃતિ 8.2 ધ્યાનમાં લો. સંધારકની લેટોના અંદરના ભાગમાં રહેલ વિદ્યુતકેન્દ્ર લેટને લંબરૂપે હોય છે. આને લીધે સ્થાનાંતર પ્રવાહ મારફત ઉત્પન્ન થતું ચુંબકીયકેન્દ્ર કેપેસીટરની લેટને સમાંતર વર્તુળાકાર ગાળાના પરિધિની દિશામાં હોય છે. એટલે કે, આ કિસ્સામાં **B** અને **E** એકબીજાને લંબરૂપે હોય છે. આ એક વાપક લાક્ષણિકતા છે.

આકૃતિ 8.4માં z-દિશામાં પ્રસરતા સમતલ વિદ્યુતચુંબકીય તરંગનો ખાસ કિસ્સો દર્શાવેલ છે (જેમાં કેન્દ્રો z-યામ અને આપેલ સમય ના વિધેય તરીકે દર્શાવેલ છે). વિદ્યુતકેન્દ્ર  $E_x$  એ x-અક્ષની દિશામાં છે અને તે આપેલ સમયે z સાથે સાઈન વિધેય મુજબ (Sinusoidally - જયાવતી) બદલાય છે. ચુંબકીયકેન્દ્ર  $B_y$  એ y-અક્ષની દિશામાં છે અને તે પણ z-સાથે સાઈન વિધેય મુજબ બદલાય છે. વિદ્યુત અને ચુંબકીય કેન્દ્રો  $E_x$  અને  $B_y$  એકબીજાને અને પ્રસરણ દિશા જેને પણ લંબરૂપે હોય. આપણે  $E_x$  અને  $B_y$  ને નીચે મુજબ લખી શકીએ.

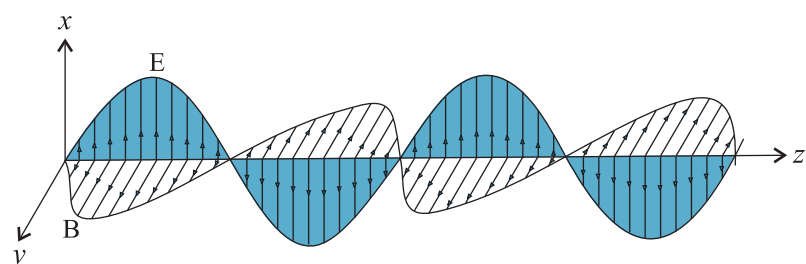
$$E_x = E_0 \sin(kz - \omega t) \quad [8.7(a)]$$

$$B_y = B_0 \sin(kz - \omega t) \quad [8.7(b)]$$

અત્રે,  $k$  એ તરંગલંબાઈ  $\lambda$  સાથે નીચેના સમીકરણથી સંકળાયેલ છે.

$$k = \frac{2\pi}{\lambda} \quad (8.8)$$

અને  $\omega$  એ કોણીય આવૃત્તિ છે.  $k$  એ તરંગસંદિશ (અથવા પ્રસરણ સંદિશ)  $\mathbf{k}$ નું માન છે અને તેની દિશા તરંગના પ્રસરણની દિશા સૂચવે છે. તરંગ પ્રસરણની ઝડપ ( $\omega/k$ ) છે. સમીકરણ [8.7(a) અને (b)]નો ઉપયોગ  $E_x$  અને  $B_y$  માટે અને મેક્સવેલના સમીકરણોનો ઉપયોગ કરતાં,



આકૃતિ 8.4 એક રેખીય પ્રુવીભૂત વિદ્યુતચુંબકીય તરંગ z-દિશામાં પ્રસરણ પામે છે કે જેમાં દોલન કરતું વિદ્યુતકેન્દ્ર  $E$  એ x-દિશામાં અને દોલન કરતું ચુંબકીયકેન્દ્ર  $B$  એ y-દિશામાં છે.



**હેનરીચ રુડોલ્ફ હર્ટ્ઝ (Heinrich Rudolf Hertz) (1857-1894) :** જર્મન જૌતિકશાસ્ત્રી કે જેમણે સૌપ્રથમ વખત રેડિયો તરંગોનું પ્રસારણ (Broadcast) કર્યું અને ગ્રહણ (Receive) કર્યું. તેમણે વિદ્યુતચુંબકીય તરંગોનું ઉત્સર્જન કર્યું, તેનું અવકાશમાં પ્રસરણ કરાવ્યું અને તેની તરંગલંબાઈ અને ઝડપનું માપન કર્યું. તેમણે દર્શાવ્યું કે આ તરંગોના કંપન, પરાવર્તન અને વકીબવનનો પ્રકાર એ પ્રકાશ અને ઉદ્ઘાતનની જેવો જ છે જેની મદદથી તેમની સૌપ્રથમ વખત ઓળખ (Identity) થઈ શકી. તેમણે વાયુમાં વિદ્યુતવિભાર (Discharge of Electricity) વિષેના સંશોધનની શરૂઆત કરી અને ફોટોઇલેક્ટ્રીક અસરની શોધ કરી.

**હેનરીચ રુડોલ્ફ હર્ટ્ઝ (Heinrich Rudolf Hertz) (1857-1894)**

$$\omega = ck, \quad \text{જ્યાં, } c = 1/\sqrt{\mu_0 \epsilon_0} \quad [8.9(a)]$$

$\omega = ck$  એ તરંગો માટેનું પ્રમાણિત સમીકરણ છે (દા.ત., XI, ભौતિકશાસ્ત્રના પુસ્તકનો પરિચ્છેદ 15.4). આ સમીકરણ ઘણીવખત આવૃત્તિ  $v$  ( $= \omega/2\pi$ )ના અને તરંગલંબાઈ  $\lambda$  ( $= 2\pi/k$ )

$$2\pi v = c \left( \frac{2\pi}{\lambda} \right) \text{ અથવા} \\ v\lambda = c \quad [8.9(b)]$$

તરંગી પણ લખવામાં આવે છે. મેક્સિવેલના સમીકરણો પરથી એવું પણ જોઈ શકાય છે કે વિદ્યુતચુંબકીય તરંગમાં વિદ્યુત અને ચુંબકીય ક્ષેત્રોના માન નીચેના સમીકરણથી સંકળાયેલા છે.

$$B_0 = (E_0/c) \quad (8.10)$$

અહીં, આપણે વિદ્યુતચુંબકીય તરંગોની કેટલીક લાક્ષણિકતાઓ નોંધીશું. તેઓ મુક્ત અવકાશમાં અથવા શૂન્યાવકાશમાં વિદ્યુત અને ચુંબકીય ક્ષેત્રોના પોતાની જાતે જ ચાલુ રહેતાં (Self-sustaining) દોલનો છે. તેઓ અત્યાર સુધીમાં આપણે ભણેલા બીજા બધા તરંગોથી એ બાબતમાં બિન્ન છે કે વિદ્યુત અને ચુંબકીય ક્ષેત્રોના દોલનોમાં દ્રવ્ય-માધ્યમની જરૂરિયાત નથી (સંકળાયેલ નથી). હવામાંના ધ્વનિ તરંગો એ સંઘનન (Compression) અને વિઘનન (Rarefaction)ના સંગત તરંગો છે. લંબગત સ્થિતિસ્થાપક (ધ્વનિ) તરંગો ઘન પદાર્થો કે જેઓ દઢ છે અને આકાર (Shear) વિકૃતિનો વિરોધ કરે છે તેમાં પણ પ્રસરી શકે છે. ઓગણીસમી સદીમાં વૈજ્ઞાનિકો આવા યાંત્રિક ચિત્ર (ઝ્યાલ)થી એટલા બધા ટેવાઈ ગયા હતા કે જેથી તેમણે વિચાર્યું કે સમગ્ર અવકાશમાં અને સમગ્ર દ્રવ્યમાં કોઈક માધ્યમ હાજર હોવું જોઈએ કે જે આ વિદ્યુત અને ચુંબકીયક્ષેત્રો માટે સ્થિતિસ્થાપક માધ્યમની જેમ કામ કરતું હશે. તેમણે આ માધ્યમને ઈથર (Ether) નામ આપ્યું, તેઓ આ ઈથરરૂપી માધ્યમની વાસ્તવિકતા અંગે એટલા બધા ખાતરીદાર (Convinced) હતા કે સર આર્થર કોનન ડોયલ (Arthur Conan Doyle) (પ્રખ્યાત જાસ્સુસ - શેરલોક હોમ્સના પ્રણેતા)એ લખેલ નવલક્ષ્ય The Poison Beltમાં સૌરમંડળને આવા ઈથરના બનેલા ઝેરીલા ભાગમાંથી પસાર થતું બતાવવામાં આવ્યું છે ! અલબત્ત, હવે આપણે એવું સ્વીકારીએ છીએ કે આવા કોઈ ભૌતિક માધ્યમની જરૂરિયાત નથી. ઇ.સ. 1887માં માઈક્રોલસન અને મોર્ટ દ્વારા થયેલ પ્રાય્યત પ્રયોગ આવા ઈથરના અવિતર્કને નિર્ણાયક રીતે નાચ કર્યો (નકર્યો) અવકાશ અને સમય સાથે દોલન કરતા વિદ્યુત અને ચુંબકીય ક્ષેત્રો શૂન્યાવકાશમાં પણ એકભીજાને સતત ચાલુ રાખે છે.

પણ જો વાસ્તવમાં દ્રવ્ય માધ્યમ હાજર હોય તો શું ? આપણે જાણીએ છીએ કે પ્રકાશ એ વિદ્યુતચુંબકીય તરંગ છે કે જે દા.ત., કાચમાંથી પસાર થાય છે. અગાઉ આપણે જોયું કે માધ્યમની અંદર પ્રવર્તતા કુલ વિદ્યુત અને ચુંબકીય ક્ષેત્રો પરમીટ્રિવીટી દ અને ચુંબકીય પરમીએબિલિટી મના પદમાં (આ પદો બહારના ભાગમાં રહેલા ક્ષેત્રોથી અંદરના ભાગમાં રહેલા કુલ ક્ષેત્રો કેટલા ગણા જુદા પડે છે તે દર્શાવે છે) દર્શાવી શકાય છે. મેક્સિવેલ સમીકરણોમાં વિદ્યુત અને ચુંબકીય ક્ષેત્રોનાં વર્ણનમાં આવતા  $E_0$  અને  $\mu_0$  ને માધ્યમની પરમીટ્રિવીટી દ અને ચુંબકીય પરમીએબિલિટી મ વડે ફેરબદલ કરતાં પ્રકાશનો વેગ

$$v = \frac{1}{\sqrt{\mu \epsilon}} \quad (8.11)$$

આમ, પ્રકાશનો વેગ માધ્યમના વિદ્યુત અને ચુંબકીય ગુણાધ્યમો પર આધાર રાખે છે. આપણે હવે પછીના પ્રકાશનો જોઈશું કે એક માધ્યમનો બીજા માધ્યમની સાપેક્ષમાં વકીભવનાંક આ બે માધ્યમોમાં પ્રકાશના વેગના ગુણોત્તર બરાબર હોય છે.

મુક્ત અવકાશમાં અથવા શૂન્યાવકાશમાં વિદ્યુતચુંબકીય તરંગોનો વેગ એ (એક) અગત્યનો મૂળભૂત

## વિદ્યુતચુંબકીય તરંગો

અચળાંક છે. જુદી જુદી તરંગલંબાઈ ધરાવતા વિદ્યુતચુંબકીય તરંગો પરના પ્રયોગો પરથી એમ દર્શાવાયું છે કે આ વેગ (તરંગલંબાઈથી સ્વતંત્ર)  $3 \times 10^8 \text{ m/s}$  મૂલ્યમાં એક સેકન્ડ દીઠ અમુક મીટરની ચોક્સાઈથી સમાન છે. શૂન્યાવકાશમાં વિદ્યુતચુંબકીય તરંગોના વેગની અચળતાના પ્રયોગો દ્વારા એવું દર્શાવ્યાપ્તિક કરવાના પ્રમાણા તરીકે લેવામાં આવે છે. હવે, મીટરને પ્રકાશો શૂન્યાવકાશમાં  $(1/c) = (2.99792458 \times 10^8)^{-1}$  સેકન્ડ જેટલા સમયમાં કાપેલા અંતર તરીકે વ્યાખ્યાપ્તિક કરવામાં આવે છે જે નીચે મુજબના કારણથી થયું છે. સમયનો મૂળભૂત એકમ કોઈક પરમાણવીય આવૃત્તિ એટલે કે, કોઈ ચોક્સ ઘટનામાં પરમાણુ (Atom) દ્વારા ઉત્સર્જિત આવૃત્તિ-ના પદમાં ખૂબ જ ચોક્સાઈથી વ્યાખ્યાપ્તિક કરી શકાય છે. લંબાઈના મૂળભૂત એકમને પ્રત્યક્ષ રીતે તેવી જ ચોક્સાઈથી વ્યાખ્યાપ્તિક કરવાનું અધરૂં છે. અગાઉના લંબાઈના એકમ (દા.ત., Meter-સંિયા વગેરે)ની મદદથી માપવાના પ્રયોગો દ્વારા  $c$  નું મૂલ્ય  $2.9979246 \times 10^8 \text{ m/s}$  જેટલું મળતું હતું. હવે,  $c$  એ ખૂબ જ ચોક્સ અચળ અંક હોવાથી લંબાઈનો એકમ  $c$  અને સમયના એકમના પદમાં વ્યાખ્યાપ્તિક કરી શકાય છે !

હર્દૂં ફક્ત વિદ્યુતચુંબકીય તરંગોનું અસ્તિત્વ જ દર્શાવ્યું એવું નથી, પરંતુ તેમણે દર્શાવ્યું કે એવા તરંગો કે જેની તરંગલંબાઈ પ્રકાશ તરંગોની તરંગલંબાઈ કરતાં કરોડ (10 મિલિયન) ગણી હોય તેઓ પણ વિર્વતન, વક્કિભવન અને પ્રુવીભવન અનુભવે છે. આમ, તેણે દર્શાવે રીતે વિકિરણનો તરંગ સ્વભાવ પ્રસ્થાપિત કર્યો. વધારામાં, તેમણે સ્થિત વિદ્યુતચુંબકીય તરંગો ઉત્પન્ન કરીને તેમની તરંગલંબાઈને ક્રમિક નિષ્પંદ બિંદુઓ (Nodes) વર્ણેના અંતરની મદદથી શોધી. તરંગની આવૃત્તિ પહેલેથી જ જાણીતી (દોલકની આવૃત્તિ જેટલી) હોવાથી તેણે  $v = \lambda f$  સૂત્રનો ઉપયોગ કરી તરંગની ઝડપ શોધી અને એવું જાણવા મળ્યું કે આ તરંગો પ્રકાશની ઝડપ જેટલી ઝડપથી જ ગતિ કરે છે.

વિદ્યુતચુંબકીય તરંગો ધૂવીભૂત છે તે હક્કિકત નાના (Portable) AM રેડિયોના બ્રોડકાસ્ટિંગ સ્ટેશન પ્રયેના પ્રતિભાવની મદદથી સહેલાઈથી જોઈ શકાય છે. જો AM રેડિયોને ટેલિસ્કોપીક (Telescopic) એન્ટિના હોય તો તે સિઝનલ (Signal)ના વિદ્યુતીય ઘટકને પ્રતિભાવ આપે છે. જ્યારે એન્ટિનાને સમક્ષિતિજ કરવામાં આવે છે ત્યારે સિઝનલ ખૂબ જ નબળું થઈ જાય છે. ઘણા નાના રેડિયોમાં વિદ્યુતચુંબકીય તરંગના સમક્ષિતિજ એન્ટિના (સામાન્ય રીતે રેડિયોની આવરણની અંદરના ભાગમાં) હોય છે કે જે ચુંબકીય ઘટક માટે સંવેદનશીલ હોય છે. આવા રેડિયોને સિઝનલ ગ્રહણ (Receive) કરવા માટે સમક્ષિતિજ રાખવા પડે. આવા ડિસ્ક્રોઓમાં, રેડિયોનો પ્રતિભાવ એ રેડિયોના સ્ટેશનની સાપેક્ષ નમન (Orientation) પર પણ આધાર રાખે છે.

શું બીજા તરંગોની જેમ જ વિદ્યુતચુંબકીય તરંગો પણ ઊર્જા અને વેગમાનનું વહન કરે છે ? હા, તેઓ પણ એમ કરે છે. આપણે પ્રકારણ-2માં જોયું કે મુક્ત અવકાશમાં E જેટલું વિદ્યુતક્ષેત્ર ધરાવતા વિભાગમાં  $(E_0 E^2 / 2)$  જેટલી ઊર્જાધનતા હોય છે. તે જ રીતે, પ્રકારણ-6માં જોયું કે ચુંબકીયક્ષેત્ર સાથે સંકળાયેલ ચુંબકીય ઊર્જાધનતા  $(B^2 / 2\mu_0)$  હોય છે. વિદ્યુતચુંબકીય તરંગ એ વિદ્યુત અને ચુંબકીય એમ બંને ક્ષેત્રો ધરાવતું હોવાથી તેની સાથે પણ અશૂન્ય ઊર્જા ધનતા સંકળાયેલ હોય છે. હવે વિદ્યુતચુંબકીય તરંગની પ્રસરણ દિશાને લંબ એક સમતલ વિચારો (આકૃતિ 8.4). જો આ સમતલ પર વિદ્યુતભારો હશે તો તેઓ વિદ્યુતચુંબકીય તરંગોના વિદ્યુત અને ચુંબકીય ક્ષેત્રો દ્વારા ગતિ ચાલુ કરશે અને ચાલુ રાખશે. આમ, વિદ્યુતભારો, વિદ્યુતચુંબકીય તરંગમાંથી ઊર્જા અને વેગમાન ગ્રહણ કરશે. આ એ હક્કિકતને દર્શાવે છે કે વિદ્યુતચુંબકીય તરંગ (બીજા તરંગોની જેમ) ઊર્જા અને વેગમાનનું વહન કરે છે. વિદ્યુતચુંબકીય તરંગ વેગમાનનું વહન કરતા હોવાથી દબાશ પણ લગાડશે જેને વિકિરણ-દબાશ (Radiation Pressure) કહે છે.

જો સપાટીને સમયમાં અપાતી કુલ ઊર્જા U હોય તો તેવું દર્શાવી શકાય કે સપાટી પર આપાત થતા કુલ વેગમાનનું મૂલ્ય (જ્યારે વિકિરણનું સંપૂર્ણ શોખણ થાય ત્યારે)

$$P = \frac{U}{c} \quad (8.12)$$

જ્યારે તમારા હાથ પર સૂર્યપ્રકાશ પડે છે ત્યારે તમને વિદ્યુતચુંબકીય તરંગોમાંથી ઊર્જાનું શોષણ થાય છે તેમ લાગે છે (તમારા હાથ ગરમ થયેલ જ્ઞાય છે). વિદ્યુતચુંબકીય તરંગો હાથ પર વેગમાન પણ આપાત કરે છે પરંતુ તનું મૂલ્ય ખૂબ જ મોટું હોવાથી, હથેળીને મળતા વેગમાનનું મૂલ્ય અત્યંત નાનું હશે તથી આપણે દબાણ અનુભવતા નથી. 1903માં અમેરિકન વૈજ્ઞાનિકો નિકોલ્સ અને હલ (Nicols અને Hull) એ દશ્યપ્રકાશ વિકિરણ-દબાણની માપણી કરવામાં સફળ થયા અને સમીકરણ (8.12)ની ચકાસણી કરી. તે  $7 \times 10^{-6} \text{ N/m}^2$ ના કમનું માલુમ પડ્યું. આમ,  $10 \text{ cm}^2$  જેટલું ક્ષેત્રફળ ધરાવતી સપાઈ પર વિકિરણે કારણે લાગતું બજ  $7 \times 10^{-9} \text{ N}$  જેટલું હોય છે.

વિદ્યુતચુંબકીય તરંગોનું મોટું પ્રોયોગિક અગત્ય એ તેની એક સ્થળથી બીજા સ્થળ પર ઊર્જા લઈ જવાની ક્ષમતાને લીધે છે. બ્રોડકાસ્ટીંગ (Broadcasting - સંચાર) સ્ટેશનથી રેડિયો અને TV સિનલો ઊર્જાનું વહન કરે છે, પ્રકાશ સૂર્યથી પૃથ્વી સુધી સુધી ઊર્જાનું વહન કરે છે કે જેથી પૃથ્વી પર જીવન શક્ય બન્યું છે.

**ઉદાહરણ 8.2** એક 25 MHz આવૃત્તિ ધરાવતું સમતલ વિદ્યુત ચુંબકીય તરંગ મુક્ત અવકાશમાં  $x$ -દિશામાં ગતિ કરે છે. ચોક્કસ સમયે અને અવકાશના એક ચોક્કસ બિંદુ આગળ  $\mathbf{E} = 6.3 \hat{\mathbf{j}} \text{ V/m}$  છે. તો આ બિંદુ આગળ  $\mathbf{B}$  શોધો.

ઉકેલ સમીકરણ (8.10) પરથી,  $\mathbf{B}$ નું મૂલ્ય

$$\begin{aligned}\mathbf{B} &= \frac{\mathbf{E}}{c} \\ &= \frac{6.3 \text{ V/m}}{3 \times 10^8 \text{ m/s}} = 2.1 \times 10^{-8} \text{ T}\end{aligned}$$

દિશા શોધવા માટે, આપણે નોંધીએ કે  $\mathbf{E}$  એ  $y$ -દિશામાં છે અને તરંગ  $x$ -દિશામાં પ્રસરણ પામે છે. તથી  $\mathbf{B}$  એ  $x$  અને  $y$  બંને અક્ષોને લંબ હશે. સંદર્ભ બીજગણિતના નિયમ મુજબ  $\mathbf{E} \times \mathbf{B}$  એ  $x$ -દિશામાં હશે.

$$\text{હવે, } (+\hat{\mathbf{j}}) \times (+\hat{\mathbf{k}}) = \hat{\mathbf{i}} \text{ હોવાથી, } \mathbf{B} \text{ એ } z\text{-દિશામાં હશે. આમ, } \mathbf{B} = 2.1 \times 10^{-8} \hat{\mathbf{k}} \text{ T થશે.}$$

**ઉદાહરણ 8.3** એક સમતલ વિદ્યુતચુંબકીય તરંગમાં ચુંબકીયક્ષેત્ર

$$B_y = 2 \times 10^{-7} \sin(0.5 \times 10^3 x + 1.5 \times 10^{11} t) \text{ T} \text{ સૂત્ર વડે આપવામાં આવે છે.}$$

(a) તરંગની તરંગલંબાઈ અને આવૃત્તિ કેટલી હશે?

(b) વિદ્યુતક્ષેત્ર માટેનું સમીકરણ લખો.

ઉકેલ (a) આપેલા સમીકરણને નીચેના સમીકરણ સાથે સરખાવતાં,

$$B_y = B_0 \sin \left[ 2\pi \left( \frac{x}{\lambda} + \frac{t}{T} \right) \right]$$

$$\text{આપણને } \lambda = \frac{2\pi}{0.5 \times 10^3} \text{ m} = 1.26 \text{ m}$$

$$\text{અને } \frac{1}{T} = v = (1.5 \times 10^{11}) / 2\pi = 23.9 \text{ GHz મળે.}$$

$$(b) E_0 = B_0 c = 2 \times 10^{-7} \text{ T} \times 3 \times 10^8 \text{ m/s} = 6 \times 10^1 \text{ V/m}$$

આ વિદ્યુતક્ષેત્ર ઘટક પ્રસરણ દિશા અને ચુંબકીયક્ષેત્રને લંબ હશે. તથી, આ વિદ્યુતક્ષેત્ર ઘટક  $z$ -અક્ષની દિશામાં હશે કે જે નીચેના સમીકરણ વડે આપી શકાય.

$$E_z = 60 \sin(0.5 \times 10^3 x + 1.5 \times 10^{11} t) \text{ V/m}$$

## વિદ્યુતચુંબકીય તરંગો

**ઉદાહરણ 8.4** 18 W/cm<sup>2</sup> જેટલું ઊર્જા ફલક્સ ધરાવતો પ્રકાશ એક અપરાવર્તનીય સપાઠી પર લંબરૂપે આપાત થાય છે. જો આ સપાઠીનું ક્ષેત્રફળ 20 cm<sup>2</sup> હોય તો 30 min જેટલા સમયગાળા માટે સપાઠી પર લાગતું સરેરાશ બળ શોધો.

**ઉકેલ :** સપાઠી પર આપાત કુલ ઊર્જા,

$$U = (18 \text{ W/cm}^2) \times (20 \text{ cm}^2) \times (30 \times 60 \text{ s}) \\ = 6.48 \times 10^5 \text{ J}$$

તેથી (પૂર્ણ શોષણ માટે) સપાઠીને અપાતું કુલ વેગમાન,

$$P = \frac{U}{c} = \frac{6.48 \times 10^5 \text{ J}}{3 \times 10^8 \text{ m/s}} = 2.16 \times 10^{-3} \text{ kg m/s}$$

સપાઠી પર લગાડતું સરેરાશ બળ,

$$F = \frac{P}{t} = \frac{2.16 \times 10^{-3}}{0.18 \times 10^4} = 1.2 \times 10^{-6} \text{ N}$$

જો સપાઠી સંપૂર્ણ પરાવર્તક હોત તો કેવી રીતે તમારું પરિણામ સુધારશો ?

ઉદાહરણ 8.4

**ઉદાહરણ 8.5** 100 Wના બલ્બમાંથી વિકિરણથી 3 m દૂર ઉદ્ભવતા વિદ્યુત અને ચુંબકીયક્ષેત્રો ગણો. બલ્બની કાર્યક્ષમતા (Efficiency) 2.5% છે અને તે બિંદુવત ઉદ્ગમ છે તેમ ધારો.

**ઉકેલ** બિંદુવત ઉદ્ગમ, બલ્બ બધી જ દિશામાં સમાન રીતે પ્રકાશ ઉત્સર્જન કરે છે. તેને 3 m અંતરેથી ઘેરતી ગોળાકાર સપાઠીનું ક્ષેત્રફળ

$$A = 4\pi r^2 = 4\pi(3)^2 = 113 \text{ m}^2 \text{ છે.}$$

આ અંતરે તીવ્રતા,

$$I = \frac{\text{પાવર}}{\text{ક્ષેત્રફળ}} = \frac{100 \text{ W} \times 2.5\%}{113 \text{ m}^2} \\ = 0.022 \text{ W/m}^2$$

આ તીવ્રતાની અડધી તીવ્રતા વિદ્યુતક્ષેત્ર દ્વારા અને અડધી ચુંબકીયક્ષેત્ર દ્વારા પૂરી પડાતી હશે.

$$\frac{1}{2} I = \frac{1}{2} (\epsilon_0 E_{\text{rms}}^2 c)$$

$$= \frac{1}{2} (0.022 \text{ W/m}^2)$$

$$E_{\text{rms}} = \sqrt{\frac{0.022}{8.85 \times 10^{-12} (3 \times 10^8)}} \text{ V/m} \\ = 2.9 \text{ V/m}$$

ઉપર શોધેલ એનું મૂલ્ય વિદ્યુતક્ષેત્ર સરેરાશ વર્ગિત મૂલ્યનું વર્ગમૂળ (rms) છે. હવે, પ્રકાશકિરણમાં વિદ્યુતક્ષેત્ર જ્યાવર્તી (સાઈન વિધેય, Sinusoidal) હોવાથી વિદ્યુતક્ષેત્રનું મહત્તમ મૂલ્ય  $E_0$ ,

$$E_0 = \sqrt{2} E_{\text{rms}} = \sqrt{2} 2.9 \text{ V/m}$$

$$= 4.07 \text{ V/m}$$

આમ, તમે જોઈ શકો છો કે તમે વાંચવા માટે ઉપયોગમાં લીધેલ વિદ્યુતક્ષેત્રની પ્રબળતા એ ઘણી વધારે હોય છે. તેની TV અથવા FM તરંગોની વિદ્યુતક્ષેત્ર પ્રબળતા કે જે કેટલાક માઈક્રોવોલ્ટ પ્રતિમીટરના કમની હોય છે તેની સાથે સરખામણી કરો.

હવે આપણે ચુંબકીયક્ષેત્રની પ્રબળતા ગણીએ. તે

ઉદાહરણ 8.5

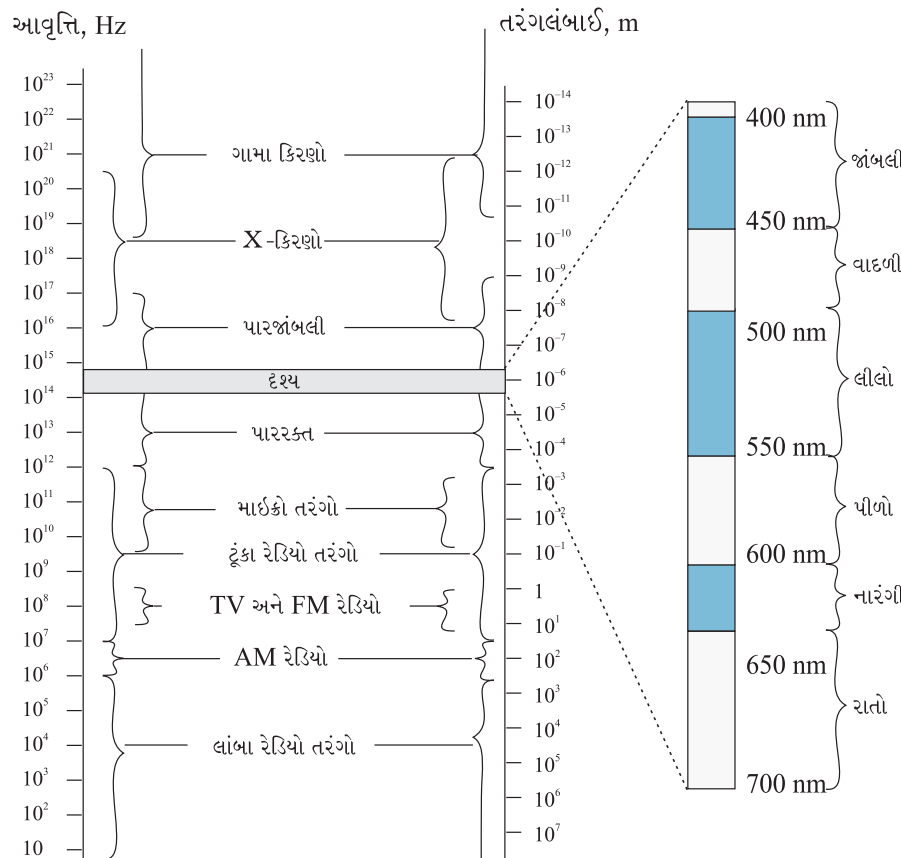


$$B_{\text{rms}} = \frac{E_{\text{rms}}}{c} = \frac{2.9 \text{ Vm}^{-1}}{3 \times 10^8 \text{ m/s}} = 9.6 \times 10^{-9} \text{ T}$$

ફરીવાર, પ્રકાશકિરણમાં ક્ષેત્ર જ્યાવર્તી (સાઈન વિધેય, Sinusoidal) હોવાથી, ચુંબકીયક્ષેત્રનું મહત્તમ મૂલ્ય  $B_0 = \sqrt{2} B_{\text{rms}} = 1.4 \times 10^{-8} \text{ T}$  હતો. ચુંબકીયક્ષેત્ર સાથે સંકળપેલ ઊર્જા વિદ્યુતક્ષેત્ર સાથે સંકળપેલ ઊર્જા જેટલી જ હોવા છતાં, ચુંબકીયક્ષેત્રની પ્રબળતા ખૂબ જ ઓછી હોય છે.

## 8.4 વિદ્યુતચુંબકીય વર્ણપટ (ELECTROMAGNETIC SPECTRUM)

જે સમયગાળામાં મેક્સવેલે વિદ્યુતચુંબકીય તરંગોના અસ્તિત્વની આગાહી કરી તે સમયગાળામાં ફક્ત દશ્ય પ્રકાશના તરંગો જ જાણીતા વિદ્યુતચુંબકીય તરંગો હતા. પારજાંબલી અને પારરક્ત તરંગોના અસ્તિત્વ વિશેની માહિતી ખૂબ જ ઓછી હતી. 19મી સદીના અંત સુધીમાં X-કિરણો અને ગામા કિરણોની શોધ થઈ ચૂકી હતી. આપણાને હવે તો ખબર છે કે વિદ્યુતચુંબકીય તરંગોમાં દશ્યપ્રકાશ તરંગો, X-કિરણો, ગામા કિરણો, રેડિયો તરંગો, માઈક્રો તરંગો, પારજાંબલી અને પારરક્ત તરંગોનો સમાવેશ થાય છે. આવૃત્તિને આધારે વિદ્યુતચુંબકીય તરંગોના વર્ગીકરણને વિદ્યુતચુંબકીય વર્ણપટ (આફ્ટિ 8.5) કહે છે. તેમાં એક પ્રકારના તરંગનું અને પણીના પ્રકાર વચ્ચે તીક્ષ્ણ બેદરેખા નથી. આ વર્ગીકરણ મહદૂંઝે કેવી રીતે તરંગો ઉત્પન્ન કરી શકાય અને/અથવા તેને પરખી શકાય તેના આધારે કરવામાં આવેલ છે.



આફ્ટિ 8.5 જુદા જુદા ભાગનાં પ્રચલિત નામ મુજબ વિદ્યુતચુંબકીય વર્ણપટ.

જુદા જુદા ભાગને તીક્ષ્ણ સીમાઓ નથી.

### 8.4.1 રેડિયો તરંગો (Radio waves)

રેડિયો તરંગો એક વાહકતારમાં વિદ્યુતભારની પ્રવેગિત ગતિ દ્વારા ઉત્પન્ન થાય છે. તેમનો રેડિયો અને ટેલીવિઝનના સંદેશાચ્ચવહાર તંત્રોગ ઉપયોગ થાય છે. તે સામાન્ય રીતે 500 kHz થી 1000 MHzના આવૃત્તિગાળામાં રહેલા હોય છે. AM (Amplitude Modulation) બેન્ડ 530 kHz થી 1710 kHzની વચ્ચે હોય છે. 54 MHz સુધીની ઊંચી આવૃત્તિઓ Short Wave (SW) Bands માટે વપરાય છે. TV તરંગો 54 MHz થી 890 MHzના ગાળામાં હોય છે. FM (Frequency Modulated Band) રેડિયો એ 88 MHz થી 108 MHz સુધી વિસ્તરેલ હોય છે. મોબાઈલ ફોન ધ્વનિ સંદેશાચ્ચવહાર માટે ખૂબ ઊંચી આવૃત્તિ (Ultra High Frequency - UHF) Bandના રેડિયો તરંગોનો ઉપયોગ કરે છે. પ્રકરણ-15માં આ તરંગો કેવી રીતે પ્રસારિત અને ગ્રહણ કરવામાં આવે છે તેનું વર્ણન કરેલ છે.

### 8.4.2 માઇક્રોવેવ (Microwaves)

માઇક્રોવેવ (ટૂંકી તરંગલંબાઈ ધરાવતા રેડિયો તરંગો) કે જેની આવૃત્તિ ગીગાહર્ટ્ઝ (GHz)ના ક્રમની હોય છે, એ ચોક્કસ પ્રકારની વેક્યુમ ટ્યુબ (કે જે કલીસ્ટ્રોન, મેનેટ્રોન અને ગન ડાયોડ તરીકે ઓળખાય છે) દ્વારા ઉત્પન્ન કરાય છે. તેમની ટૂંકી તરંગલંબાઈને કારણે તેનો ઉપયોગ એરોલેનના દિશા નિયંત્રણમાં વપરાતા રડાર માટે સગવડબર્યો છે. આ રડાર, બોલની ઝડપ, ટેનિસમાં સર્વિસ માટે અને વાહનોની ઝડપ શોધવા માટેની સ્પીડ ગન (Speed Guns) માટેનો પણ આધાર પુરો પાડે છે. માઇક્રોવેવ ઓવન એ આ તરંગોનો ખૂબ જ રસપ્રદ ઘરેલું ઉપયોગ છે. આવા ઓવનમાં માઇક્રોવેવની આવૃત્તિ એ પાણીના આણુઓની અનુનાદીય આવૃત્તિ સાથે મેળવેલ હોવાથી તરંગમાંની ઊર્જા અસરકારક રીતે આણુઓની ગતિઊર્જા તરીકે રૂપાંતરિત કરી શકાય છે. આને લીધે પાણી ધરાવતા કોઈ પણ ખોરાકનું તાપમાન વધારી શકાય છે.



### માઇક્રોવેવ ઓવન (MICROWAVE OVEN)

વિદ્યુતચુંબકીય વિકિરણ વર્ણપત્ર એક માઇક્રોવેવ તરીકે ઓળખાતો ભાગ ધરાવે છે. આવા તરંગોની આવૃત્તિ અને ઊર્જા દશ્યપ્રકાશ કરતા ઓછી પરંતુ તરંગલંબાઈ તેના કરતા વધારે હોય છે. માઇક્રોવેવ ઓવનનો સિદ્ધાંત શું છે અને તે કેવી રીતે કાર્ય કરે છે ?

આપણો હેતુ ખોરાક રાંધવાનો કે ગરમ કરવાનો છે. ખોરાકની દરેક ચીજો જેવી કે ફળ, શાકભાજી, માંસ, એકદળીય અનાજ વગેરેમાં તેના ઘટક તરીકે પાણી હોય છે. હવે જ્યારે આપણે એમ કદ્દાએ કે કોઈ પદાર્થ ગરમ થયો એટલે આપણે શું સમજીએ ? જ્યારે પદાર્થનું તાપમાન વધે છે ત્યારે અસ્તબ્યસ્ત ગતિ કરતા આણુ કે પરમાણુઓની ઊર્જા વધે છે અને આ આણુઓ ઊંચી ઊર્જા સાથે ગતિ કે દોલન કે બ્રમજા કરે છે. પાણીના આણુઓની બ્રમજાની આવૃત્તિ લગભગ 2.45 ગીગાહર્ટ્ઝ (GHz) છે. જો પાણી આ આવૃત્તિ ધરાવતા માઇક્રોવેવને ગ્રહણ કરે તો તેના આણુઓ આ વિકિરણનું શોષણ કરશે કે જે પાણીને ગરમ કરવા બચાવું છે. આ આણુઓ તેમની ઊર્જા આસપાસ રહેલા ખોરાકના આણુઓને આપણે જેથી ખોરાક ગરમ થશે.

આના માટે આપણે પોર્સેલિન (Porcelain)ના વાસણોનો ઉપયોગ કરવો જોઈએ અને નહીં કે ધાતુના કારણ કે સંગ્રહિત વિદ્યુતભારને કારણે ઈલેક્ટ્રોલાંબાઈ શોક (અંચકો) લાગવાનો ભય રહેલો છે. પોર્સેલિન વાસણો આનાથી સુરક્ષિત અને કંડા રહે છે, કારણ કે તેમના મોટા આણુઓ ખૂબ જ ઓછી આવૃત્તિથી દોલન અને ચાકગતિ કરે છે અને તેથી માઇક્રોવેવનું શોષણ કરતા નથી તેથી તેઓ ગરમ થતા નથી.

આમ, માઇક્રોવેવ ઓવનનો મૂળભૂત સિદ્ધાંત ઓવનના જે ભાગમાં ખોરાક મૂકવામાં આવે છે તે ભાગમાં યોગ્ય આવૃત્તિના માઇક્રોવેવ વિકિરણ ઉત્પન્ન કરવાનો છે. આમ કરવાથી, વાસણાને ગરમ કરવા ઊર્જા વેડફાતી નથી. ગરમ કરવાની રુદ્ધિગત રીતમાં બન્નર પરનું વાસણ પ્રથમ ગરમ થાય છે અને ત્યારબાદ વાસણમાંથી રૂપાંતરીત ઊર્જાને કારણે તેમાં રહેલ ખોરાક ગરમ થાય છે. માઇક્રોવેવ ઓવનમાં, આનાથી ઉલટું, ખોરાકમાં રહેલા પાણીના આણુઓને સીધે સીધી ઊર્જા મળે છે કે જે પછીથી સમગ્ર ખોરાકને પહોંચે છે.

### 8.4.3 પારરક્ત તરંગો (Infrared Waves)

પારરક્ત (Infrared) તરંગો ગરમ પદાર્થ અને આણુઓ દ્વારા ઉત્પન્ન થાય છે. આ Band દશ્યપ્રકાશ વર્ષાપટની ઓછી આવૃત્તિ અથવા લાંબી તરંગલંબાઈના છેડાની નજીક આવેલ છે. પારરક્ત તરંગોને ઘણી વખતે ઉખા તરંગો (Heat Waves) પણ કહેવામાં આવે છે. આમ, કહેવા પાછળનું મુખ્ય કારણ એ છે કે મોટાભાગના દ્રવ્યમાં રહેલા પાણીના આણુઓ સહેલાઈથી પારરક્ત તરંગોનું શોખણ કરે છે. (બીજા ઘણા આણુઓ જેવા કે  $\text{CO}_2$ ,  $\text{NH}_3$  વગેરે પણ પારરક્ત તરંગોનું શોખણ કરે છે.) શોખણ બાદ તેમની ઉખીય ગતિ વધે છે, એટલે કે તેમો ગરમ થાય છે અને આસપાસના ભાગને પણ ગરમ કરે છે. પારરક્ત બલ્બ (Lamps)નો ઉપયોગ શારીરિક ઉપયાર (Physical Therapy)માં થાય છે. ગ્રીનહાઉસ અસર થકી પારરક્ત વિકિરણો પૃથ્વી પરનો ગરમાવો (હુંક) અથવા સરેરાશ તાપમાન જાળવવામાં અગત્યનો ભાગ ભજવે છે. આપાત દશ્ય પ્રકાશ (કે જે વાતાવરણમાંથી સહેલાઈથી પસાર થઈ જાય છે)નું પૃથ્વીની સપાટી દ્વારા શોખણ થાય છે અને ત્યારબાદ (લાંબી તરંગલંબાઈ ધરાવતા) પારરક્ત વિકિરણોમાં ફરીથી ઉત્સર્જન થાય છે. આ વિકિરણ ગ્રીનહાઉસ વાયુઓ જેવાંકે કાર્બન ડાયોક્સાઈડ અને પાણીના આણુઓ દ્વારા જકડાઈ (Trapped) જાય છે. પૃથ્વીના ઉપગ્રહોમાં પારરક્ત Detectors (પરખકર્તા)નો ઉપયોગ લશકરી હેતુઓ અને પાકનો વિકાસ (Growth) જોવા એમ બંનેમાં થાય છે. ઇલેક્ટ્રોનિક ઉપકરણો (દા.ત., અર્થવાહકના બનેલા Light Emitting Diode – LED) પણ પારરક્ત વિકિરણનું ઉત્સર્જન કરે છે અને તેમનો ધરવપરાણી ઇલેક્ટ્રોનિક વસ્તુઓ જેવી કે ટી.વી., વીડિયો રેકોર્ડર અને hi-fi તંત્રોમાં રીમોટ સ્વીચમાં બહોળા પ્રમાણમાં ઉપયોગ થાય છે.

### 8.4.4 દશ્ય કિરણો (Visible rays)

તે સૌથી જાણીતું વિદ્યુતચુંબકીય તરંગોનું સ્વરૂપ છે. આ વર્ષાપટનો એવો ભાગ છે કે જે મનુષ્યની આંખ દ્વારા પરખાય છે. તેની આવૃત્તિ  $4 \times 10^{14}$  Hzથી લગભગ  $7 \times 10^{14}$  Hz જેટલી અથવા તરંગલંબાઈ લગભગ 700-400 nmની વિશે હોય છે. આપણી આસપાસમાં રહેલ વસ્તુઓ પરથી ઉત્સર્જત અને પરાવર્તિત દશ્યપ્રકાશની મદદથી આપણને વિશે અંગેની માહિતી મળે છે. આપણી આંખો આ તરંગલંબાઈઓના ગાળા માટે સંવેદનશીલ છે. જુદા-જુદા પ્રાણીઓ જુદી-જુદી તરંગલંબાઈઓ માટે સંવેદનશીલ હોય છે. દા.ત., સાપ પારરક્ત તરંગોને પરખી શકે છે અને ઘણા જંતુઓનો દશ્યગાળો પારજાંબલી વિભાગ સુધી વિસ્તરેલો હોય છે.

### 8.4.5 પારજાંબલી કિરણો (Ultraviolet rays)

આ વિભાગની તરંગલંબાઈ  $4 \times 10^{-7}$  m (400 nm) થી  $6 \times 10^{-10}$  m (0.6 nm) સુધી વિસ્તરેલી છે. પારજાંબલી (UV) વિકિરણ ચોક્કસ પ્રકારના બલ્બ (Lamps) અને ખૂબ જ ગરમ પદાર્થો દ્વારા ઉત્પન્ન થાય છે. સૂર્ય પારજાંબલી પ્રકાશનો અગત્યનો સ્કોત છે. પરંતુ, સારા નસીબે, તેમાંના મોટાભાગના વિકિરણનું વાતાવરણમાં લગભગ 40-50 km ઊચાઈએ આવેલા ઓઝેનના સ્તર દ્વારા શોખણ થાય છે. વધારે પ્રમાણમાં UV પ્રકાશ માણસ પર નુકશાનકારક અસર કરે છે. UV પ્રકાશમાં વધારે પ્રમાણમાં રહેવાથી શરીરમાં મેલેનીન (Melanin) ઉત્પન્ન કરે છે કે જેનાથી ચામડી કાળી પડી જાય છે. UV વિકિરણનું સાદા કાચ વડે શોખણ થાય છે. તેથી, કાચની બારીમાંથી આવતા UV પ્રકાશથી ચામડી કાળી પડી જતી કે તત્તી જતી (Sunburn, દાઢ થતો) નથી.

વેલ્ડીંગ કામ કરતા લોકો વેલ્ડીંગ ચાપ (Arc) દ્વારા મોટા પ્રમાણમાં ઉદ્ભબતા UVથી આંખને બચાવવા માટે ચોક્કસ પ્રકારના કાચના ગોગલ્સ અથવા કાચની બારી ધરાવતા મહોરા (Face Mask) પહેરે છે. તેની ઓછી તરંગલંબાઈને કારણે UV વિકિરણોને ખૂબ પાતળા કિરણપૂર્જ તરીકે કેન્દ્રિત કરી શકાય છે કે જેનો ઉપયોગ ખૂબ ચોક્કાઈ ધરાવતા ઉપયોગો જેવા કે આંખના વાઢકાપ (Surgery) LASIK (Laser-Assisted in situ Keratomileusis)માં થાય છે. UV લેમ્બનો ઉપયોગ પાણી શુદ્ધ કરવાના ઉપકરણ (સાધન)માં જંતુ નાશ કરવા માટે થાય છે.

વાતાવરણમાંનું ઓઝેનનું સ્તર સુરક્ષા કવચનું (બચાવનું, Protective) કામ કરે છે અને તેથી તેની કલોરોફલોરો કાર્બન (CFCs) વાયુ (જેવાક ફીઓન) દ્વારા સર્જતી અછત (ઉણપ) એક આંતરરાષ્ટ્રીય ચિંતાનો વિષય છે.

## વિદ્યુતચુંબકીય તરંગો

### 8.4.6 X-કિરણો (X-rays)

વિદ્યુત ચુંબકીય વર્ણપટના UV વિભાગ પછી આવતા ભાગ (વિભાગ)ને X-કિરણો કહે છે. તેનાં ઔષધીય/દાક્તરી ઉપયોગને કારણે આપણે ક્ષ-કિરણોથી પરિચિત છીએ. તેલગભગ  $10^{-8}$  m ( $10\text{ nm}$ )થી છે ક  $10^{-13}$  m ( $10^{-4}\text{ nm}$ ) સુધીની તરંગલંબાઈ ધરાવે છે. X-કિરણો ઉત્પન્ન કરવાની એક સામાન્ય રીતમાં ખૂબ ઊંચી ઊર્જા ધરાવતા ઈલેક્ટ્રોનને ધાતુના લક્ષ્ય (Target) પર પ્રતારિત (Bombard) કરી X-કિરણો ઉત્સર્જિત કરવામાં આવે છે. X-કિરણોનો ઉપયોગ ઔષધીય શાખામાં રોગના નિદાન માટેના એક સાધન તરીકે અને અમુક પ્રકારના કેન્સરના ઉપયોગમાં થાય છે. X-કિરણો જીવિત માંસપેશીઓ (Tissue)ને નુકશાન કે નાશ કરી શકતા હોવાથી તેનો વધુ પડતો અને બિનજરૂરી ઉપયોગ ટાળવો જોઈએ.

### 8.4.7 ગામા કિરણો (Gamma rays)

તેઓ વિદ્યુતચુંબકીય વર્ણપટની સૌથી વધારે આવૃત્તિવાળા ભાગમાં આવેલા છે અને તેમની તરંગલંબાઈ લગભગ  $10^{-10}$  m થી  $10^{-14}$  m કરતાં નાની હોય છે. આવા ઉચ્ચ આવૃત્તિ ધરાવતા વિકિરણો ન્યુક્લિયર પ્રક્રિયાઓમાં અને રેઝિયો એક્ટિવ ન્યુક્લિયસોમાંથી ઉત્સર્જિત થાય છે. તેમનો ઉપયોગ ઔષધીય શાખામાં કેન્સરના કોપોને નાભુદ કરવામાં થાય છે.

કોષ્ટક 8.1 જુદા જુદા પ્રકારના વિદ્યુતચુંબકીય તરંગો તેમનું ઉત્સર્જિત અને પરખ (Detection) અંગેનો સારાંશ આપે છે. અગાઉ જણાવ્યું તે મુજબ જુદા-જુદા બે વિભાગો વચ્ચે ખૂબ જ ચોક્કસ બેદરેખા તીક્ષ્ણ નથી અને તેઓ એકબીજા ઉપર સંપાત થયેલા છે.

કોષ્ટક 8.1 જુદા જુદા પ્રકારના વિદ્યુતચુંબકીય તરંગો

પ્રકાર	તરંગલંબાઈ ગાળો	ઉત્પાદન	પરખ (Detection)
રેઝિયો	$>0.1$ m	એરીયલમાં ખૂબ જ જડપથી પ્રવેગિત અને પ્રતિપ્રવેગિત ઈલેક્ટ્રોનની ગતિ	રીસીવરનું એરિયલ
માર્ડકોવેવ	0.1 m થી 1 mm	ક્લીસ્ટ્રોન વાલ્વ અથવા મેનેટ્રોન વાલ્વ	Point contact diodes
પારરક્ત	1 mm થી 700 nm	અણુ અને પરમાણુઓનાં કંપનો	થર્મોપાર્થલ, બોલોમીટર,
દશ્યપ્રકાશ	700 nm થી 400 nm	પરમાણુમાં એક સ્તરમાંથી નીચેના ઊર્જસ્તરમાં થતી સંકાંતિ દરમિયાન ઈલેક્ટ્રોન પ્રકાશ ઉત્સર્જિત કરે છે.	પારરક્ત ફોટોગ્રાફિક ફિલ્મ આંખ, ફિલોસેલ,
પારજાંબલી	400 nm થી 1 nm	પરમાણુમાં અંદરની કવચમાં રહેલા ઈલેક્ટ્રોનની એક ઊર્જા કક્ષામાંથી નીચે ઊર્જા કક્ષામાં થતી સંકાંતિ દરમિયાન	ફિલ્મ
X-કિરણો	$1\text{ nm}$ થી $10^{-3}$ nm	X-કિરણ ટ્યુબ અથવા અંદરની કવચના ઈલેક્ટ્રોન	ફોટોગ્રાફિક ફિલ્મ, ગાઈગર ટ્યુબ, આયોનાઇઝેરન ચેમ્બર
ગામા કિરણો	$<10^{-3}$ nm	ન્યુક્લિયસનો રેઝિયો એક્ટિવ લક્ષ્ય	ઉપર મુજબ

## સારાંશ

- મેક્સવેલ એમ્પ્લિયરના નિયમમાં એક અસાતત્યતા નોંધી અને આ અસાતત્યતા દૂર કરવા માટે એક વધારાના પ્રવાહ, સ્થાનાંતર પ્રવાહની જરૂરિયાત સૂચવી. આ સ્થાનાંતર પ્રવાહ એ સમય સાથે બદલાતાં વિદ્યુતક્ષેત્રને કારણે છે કે જે નીચે મુજબ આપી શકાય છે.

$$i_d = \epsilon_0 \frac{d\Phi_E}{dt}$$

અને આ પ્રવાહ Conduction પ્રવાહ (વહનપ્રવાહ)ની જેમ જ ચુંબકીયક્ષેત્રના ઉદ્ગમ તરીકે વર્તે છે.

- પ્રવેગિત વિદ્યુતભાર વિદ્યુતચુંબકીય તરંગો ઉત્પન્ન કરે છે.  $v$  આવૃત્તિથી આવર્ત (હાર્માનિક) દોલનો કરતો વિદ્યુતભાર,  $v$  જેટલી જ આવૃત્તિ ધરાવતા વિદ્યુતચુંબકીય તરંગો ઉત્પન્ન કરે છે. વિદ્યુત દ્વિ-ધ્રુવી એ વિદ્યુતચુંબકીય તરંગો માટેનો મૂળભૂત સોત છે.
- 1887માં હર્ટએ લેબોરેટરીમાં અમુક મીટરના કમની તરંગલંબાઈ ધરાવતા વિદ્યુતચુંબકીય તરંગોનું ઉત્પાદન અને પરખ (Detection) કરી. આમ, તેણે મેક્સવેલના સમીકરણની મૂળભૂત આગાહીની ચકાસણી કરી.
- વિદ્યુતચુંબકીય તરંગમાં વિદ્યુત અને ચુંબકીયક્ષેત્રો જયાવર્તી (Sinusoidally) રીતે અવકાશમાં સમય સાથે દોલન કરે છે. આવા દોલનો કરતા વિદ્યુત અને ચુંબકીયક્ષેત્રો  $E$  અને  $B$  એકબીજાને લંબર્ડે અને વિદ્યુતચુંબકીય તરંગની પ્રસરણ દિશાને પણ લંબર્ડે હોય છે.  $v$  આવૃત્તિ,  $\lambda$  તરંગલંબાઈ ધરાવતા અને  $z$ -દિશામાં પ્રસરણ પામતા તરંગ માટે,

$$E = E_x(t) = E_0 \sin(kz - \omega t)$$

$$= E_0 \sin \left[ 2\pi \left( \frac{z}{\lambda} - vt \right) \right] = E_0 \sin \left[ 2\pi \left( \frac{z}{\lambda} - \frac{t}{T} \right) \right]$$

$$B = B_y(t) = B_0 \sin(kz - \omega t)$$

$$= B_0 \sin \left[ 2\pi \left( \frac{z}{\lambda} - vt \right) \right] = B_0 \sin \left[ 2\pi \left( \frac{z}{\lambda} - \frac{t}{T} \right) \right]$$

તેઓ  $E_0/B_0 = c$  સંબંધથી સંકળાયેલા છે.

- શૂન્યાવકાશમાં વિદ્યુતચુંબકીય તરંગની ઝડપ  $c$  એ  $\mu_0$  અને  $\epsilon_0$  (મુક્ત અવકાશના પરમીએબિલિટી અને પરમીટીવિટી અચણાંકો) સાથે નીચે મુજબ સંબંધિત છે.  $c = 1/\sqrt{\mu_0 \epsilon_0}$ . જ્ઞાન મૂલ્ય પ્રકાશીય માપનોથી મળેલ મૂલ્ય જેટલું જ છે. પ્રકાશ એક વિદ્યુતચુંબકીય તરંગ છે, તેથી  $c$  એ પ્રકાશની ઝડપ છે. પ્રકાશ સિવાયના વિદ્યુતચુંબકીય તરંગોની પણ ઝડપ મુક્તાવકાશમાં  $c$  જેટલી જ હોય છે. દ્વારા માધ્યમમાં પ્રકાશની કે વિદ્યુતચુંબકીય તરંગોની ઝડપ  $U = 1/\sqrt{\mu \epsilon}$  વડે અપાય છે. જ્યાં,  $\mu$  એ માધ્યમની પરમીએબિલિટી અને  $\epsilon$  એ પરમીટીવિટી છે.
- જ્યારે વિદ્યુતચુંબકીય તરંગો અવકાશમાંથી પસાર થાય છે ત્યારે ઊર્જાનું વહન કરે છે અને આ ઊર્જા વિદ્યુત અને ચુંબકીયક્ષેત્રો વચ્ચે સરખે ભાગે વહેંચાયેલી હોય છે. વિદ્યુતચુંબકીય તરંગો વેગમાનનું પણ વહન કરે છે. જ્યારે આ તરંગો સપાટી પર અથડાય (સંપાત) થાય છે ત્યારે સપાટી પર દબાડા ઉત્પન્ન કરે છે. જો  $U$  સમયમાં સપાટી પર આપાત થતી કુલ ઊર્જા  $U$  હોય તો આ સપાટીને આપાતું કુલ વેગમાન  $p = U/c$  છે.
- સૈદ્ધાંતિક રીતે, વિદ્યુતચુંબકીય તરંગોનો વર્ણપત્ર તરંગ લંબાઈઓના અનંત ગાળા પર વિસ્તરેલો છે. તેના જુદા જુદા ભાગ જુદા જુદા નામથી આ મુજબ ઓળખાય છે.  $10^{-2} \text{ Å}$  અથવા  $10^{-12} \text{ m}$  થી

$10^6$  m સુધીના તરંગલંબાઈના ચઢતા કમમાં ગ-કિરણો, X-કિરણો, પારાંબલી કિરણો, દશ્ય કિરણો, પારરક્ત કિરણો, માઈકોવેવ અને રેડિયો તરંગો.

તેઓ તેમના વિદ્યુત અને ચુંબકીયક્ષેત્રો છે કે જેઓ દ્વયમાં હાજર વિદ્યુતભારોને દોલન કરાવે છે તેમના દ્વારા દ્વય સાથે આંતરકિયા કરે છે. આવી શોખણા, પ્રક્રિયાન વગેરેની વિસ્તૃત આંતરકિયા અને તેથી કાર્યપ્રણાલી/કાર્યવાલી એ વિદ્યુતચુંબકીય તરંગની તરંગલંબાઈ અને માધ્યમમાં રહેલ અણુ અને પરમાણુના પ્રકાર પર આધાર રાખે છે.

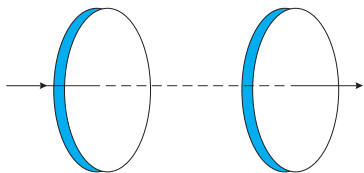
### ગહન વિચારણાના મુદ્દાઓ

- જુદા જુદા પ્રકારના વિદ્યુતચુંબકીય તરંગો વચ્ચેનો મૂળભૂત તફાવત એ તેમની તરંગલંબાઈ કે આવૃત્તિમાં રહેલો છે કારણ કે તેઓ બધા જ શૂન્યાવકાશમાં સમાન ઝડપથી ગતિ કરે છે. પરિણામ સ્વરૂપ, આ તરંગો દ્વય સાથેની આંતરકિયાની રીતમાં એકબીજાથી ખૂબ જ જુદા પડે છે.
- પ્રવેગિત વિદ્યુતભારિત કણો વિદ્યુતચુંબકીય તરંગોનું ઉત્સર્જન કરે છે. વિદ્યુતચુંબકીય તરંગની તરંગલંબાઈ ઘણીવખત તેને ઉત્સર્જત કરતા તંત્રના લાક્ષણિક પરિમાણ સાથે સાંકળવામાં આવે છે. આમ  $10^{-14}$  m થી  $10^{-15}$  m તરંગલંબાઈ ધરાવતા ગામા વિકિરણ લાક્ષણિક રીતે ન્યુક્લિયસમાંથી ઉદ્ભવે છે. X-કિરણો ભારે પરમાણુઓ દ્વારા ઉત્સર્જત થાય છે. રેડિયોતરંગો એ પરિપથમાં પ્રવેગિત ઈલેક્ટ્રોન દ્વારા ઉત્પન્ન થાય છે. (સિનનલ) પ્રસારિત કરતું ટ્રાન્સમીટીંગ એન્ટેનાનું પરિમાણ જે તરંગોની તરંગલંબાઈ જેટલું જ હોય તેમને સૌથી વધુ કાર્યક્ષમ રીતે પ્રસારિત કરે છે. દશ્યપ્રકાશ કે જે પરમાણુઓ દ્વારા ઉત્સર્જિત થાય છે તેની તરંગલંબાઈ પરમાણુઓના પરિમાણ કરતાં અલબત્ત ઘણી વધારે હોય છે.
- વિદ્યુતચુંબકીય તરંગના દોલિત ક્ષેત્રો વિદ્યુતભારને પ્રવેગિત કરી શકે છે અને દોલન કરતો પ્રવાહ ઉત્પન્ન કરાવી શકે છે. તેથી વિદ્યુતચુંબકીય તરંગોની પરખ કરવાના સાધનોની ર્યાના આ હકીકત પર આધારિત છે. હટર્ઝનું મૂળ રીસીવર આ જ સિદ્ધાંત પર કાર્ય કરતું હતું. આ સમાન મૂળભૂત સિદ્ધાંત જ લગભગ બધા જ નવા રીસીવર (ગ્રહણ-ઉપકરણો)માં પડી વપરાય છે. ઉચ્ચ આવૃત્તિ ધરાવતા વિદ્યુતચુંબકીય તરંગોની પરખ જુદી રીતે તેઓની દ્વય સાથેની આંતરકિયા દરમિયાન ઉત્પન્ન ભૌતિક અસરને આધારે કરવામાં આવે છે.
- દશ્ય પ્રકાશ કરતાં જેની આવૃત્તિ ઓછી હોય તેવા પારરક્ત તરંગો ફક્ત ઈલેક્ટ્રોનને જ નહીં પરંતુ દ્વયના આખા આણુ અને પરમાણુને દોલન કરાવે છે. આ દોલનો પદાર્થને આંતરિક ઊર્જા અને પરિણામે તાપમાન વધારે છે. આ કારણથી પારરક્ત તરંગોને ઘણીવખત ઉખા તરંગો પડી કહેવામાં આવે છે.
- આપણી આંખની સંવેદનાનું કેન્દ્ર એ સૂર્યમાંથી નીકળતા વિકિરણના તરંગલંબાઈ વિતરણના કેન્દ્ર સાથે સંપાત થાય છે. આનું કારણ એ છે કે સૂર્યમાંથી ઉત્સર્જત સૌથી પ્રબળ તરંગલંબાઈ પ્રત્યે સૌથી સંવેદી દર્શિ સાથે મનુષ્ણની ઉત્કાંતિ થયેલ છે.

### સ્વાધ્યાય

- 8.1** આકૃતિ 8.6માં દરેકની ત્રિજ્યા 12 cm હોય તેવી બે વર્તુળાકાર પ્લેટથી બનેલું એક કેપેસીટર દર્શાવેલ છે. બે પ્લેટો વચ્ચેનું અંતર 5.0 cm છે. બાબ્ય ઉદ્ગમ (આકૃતિમાં દર્શાવેલ નથી) વડે આ કેપેસીટરને (સંધારકને) વિદ્યુતભારિત કરવામાં આવે છે. તેને વિદ્યુતભારિત કરતો પ્રવાહ 0.15 A જેટલો અચળ રહે છે.
- (a) કેપેસીટન્સ અને બે પ્લેટો વચ્ચેનો વિદ્યુતસ્થિતિમાનના તફાવતનો દર ગણો.  
(b) પ્લેટો વચ્ચે સ્થાનાંતર પ્રવાહ ગણો.

- (c) શું કિર્ચોફનો પ્રથમ નિયમ (જંક્શન માટેનો નિયમ) સંધારકની દરેક ખેટ માટે જાચો છે ?  
સમજાવો.



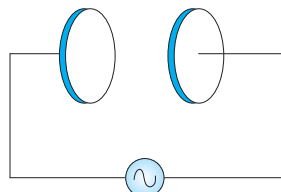
### આકૃતિ 8.6

- 8.2 દરેકની નિજ્યા  $R = 6.0 \text{ cm}$  હોય તેવી વર્તુળાકાર પ્લેટનું બનેલું એક સમાંતર ખેટ કેપેસીટર (આકૃતિ 8.7)નું કેપેસીટન્સ  $C = 100 \text{ pF}$  છે. આ સંધારક 230 V ac ઉદ્ગમ સાથે સંકળાયેલ છે કે જેની (કોણીય) આવૃત્તિ  $300 \text{ rad s}^{-1}$  છે.

(a) વહનપ્રવાહ (Conduction Current)નું rms મૂલ્ય કેટલું હશે ?

(b) શું વહનપ્રવાહ અને સ્થાનાંતર પ્રવાહ સમાન હશે ?

(c) ખેટોની વચ્ચે અક્ષથી  $3.0 \text{ cm}$  અંતરે આવેલા બિંદુ આગળ  $\mathbf{B}$ નો કંપવિસ્તાર શોધો.



### આકૃતિ 8.7

- 8.3  $10^{-10} \text{ m}$  તરંગલંબાઈ ધરાવતા X-કિરણો,  $6800 \text{ \AA}$  તરંગલંબાઈ ધરાવતા રાતા પ્રકાશ અને  $500 \text{ m}$  તરંગલંબાઈ ધરાવતા રેડિયો તરંગો માટે કઈ ભૌતિકરાશિ સમાન છે ?

- 8.4 એક સમતલ વિદ્યુતચુંબકીય તરંગ z-દિશામાં શૂન્યાવકાશમાં ગતિ કરે છે. તેમાં વિદ્યુતક્ષેત્ર અને ચુંબકીયક્ષેત્ર સંદિશો માટે તમે શું કહી શકો ? જો તરંગની આવૃત્તિ  $30 \text{ MHz}$  હોય તો તેની તરંગલંબાઈ કેટલી હશે ?

- 8.5 એક રેડિયો  $7.5 \text{ MHz}$  થી  $12 \text{ MHz}$ ની વચ્ચે કોઈ રેડિયો સ્ટેશનને Tune (સુમેળ) કરી શકે છે. આને અનુરૂપ તરંગલંબાઈનો ગાળો કેટલો હશે ?

- 8.6 એક વિદ્યુતભાર તેના સરેરાશ સમતોલન સ્થાનની આસપાસ  $10^9 \text{ Hz}$ ની આવૃત્તિથી દોલન કરે છે. આ દોલક દ્વારા ઉત્પન્ન વિદ્યુતચુંબકીય તરંગોની આવૃત્તિ કેટલી હશે ?

- 8.7 શૂન્યાવકાશમાં રહેલ હાર્મોનિક વિદ્યુતચુંબકીય તરંગનો ભાગ હોય તેવા ચુંબકીયક્ષેત્રનો કંપવિસ્તાર  $B_0 = 510 \text{ nT}$  છે. તરંગનો ભાગ હોય તેવા વિદ્યુતક્ષેત્રનો કંપવિસ્તાર કેટલો હશે ?

- 8.8 ધારોક એક વિદ્યુતચુંબકીય તરંગના વિદ્યુતક્ષેત્રનો કંપવિસ્તાર  $E_0 = 120 \text{ N/C}$  અને તેની આવૃત્તિ  $V = 50.0 \text{ MHz}$  છે.

(a)  $B_0$ ,  $\omega$  અને  $\lambda$  શોધો. (b)  $\mathbf{E}$  અને  $\mathbf{B}$  માટેના સૂન્નો શોધો.

- 8.9 પુસ્તકમાં વિદ્યુતચુંબકીય વર્ણપત્રના જુદા જુદા ભાગની શબ્દાવલિ (Terminology) આપેલ છે.  $E = h\nu$  (વિકિરણનો ઊર્જા-જથ્થો : ફોટોન માટે)નો ઉપયોગ કરી વિદ્યુતચુંબકીય વર્ણપત્રના જુદા જુદા ભાગની ફોટોન ઊર્જા  $eV$  એકમમાં મેળવો. તમે જે આ જુદા જુદા કમની ફોટોન-ઊર્જા મેળવો છો તે કેવી રીતે વિદ્યુતચુંબકીય વિકિરણના જુદા-જુદા ખોત સાથે સંબંધ ધરાવે છો ?

- 8.10 એક સમતલ વિદ્યુતચુંબકીય તરંગમાં વિદ્યુતક્ષેત્રના જ્યાવર્તી દોલનની આવૃત્તિ  $2.0 \times 10^{10} \text{ Hz}$  અને કંપવિસ્તાર  $48 \text{ V m}^{-1}$  છે.

- (a) તરંગની તરંગલંબાઈ કેટલી છે ?
- (b) દોલન કરતા ચુંબકીયક્ષેત્રનો કંપવિસ્તાર કેટલો છે ?
- (c) દર્શાવો કે વિદ્યુતક્ષેત્ર **E**ની સરેરાશ ઊર્જા ઘનતા, ચુંબકીયક્ષેત્ર **B**ની સરેરાશ ઊર્જા ઘનતા જેટલી છે. ( $c = 3 \times 10^8 \text{ ms}^{-1}$ )

### વધારાના સ્વાધ્યાય

- 8.11** ધારેકે શૂન્યાવકાશમાં રહેલ વિદ્યુતચુંબકીય તરંગનું વિદ્યુતક્ષેત્ર,  $E = \{(3.1 \text{ N/C}) \cos [(1.8 \text{ rad/m})y + (5.4 \times 10^9 \text{ rad/s})t]\} \hat{i}$  છે.
- (a) પ્રસરણ દિશા કઈ છે ?
  - (b) તરંગલંબાઈ  $\lambda$  કેટલી છે ?
  - (c) આવૃત્તિ  $v$  કેટલી છે ?
  - (d) તરંગના ચુંબકીયક્ષેત્રનો કંપવિસ્તાર કેટલો છે ?
  - (e) તરંગના ચુંબકીયક્ષેત્ર માટેનું સમીકરણ લખો.
- 8.12** એક 100 Wના પ્રકાશ બલ્બની લગભગ 5 % કાર્યક્ષમતાનું દશ્ય વિકિરણમાં રૂપાંતરણ થાય છે. દશ્ય વિકિરણની સરેરાશ તીવ્રતા નીચેના ડિસાઓ માટે કેટલી હશે ?
- (a) બલ્બથી 1 m અંતરે (b) બલ્બથી 10 m અંતરે
- એવું ધારેકે દરેક વિકિરણ બધી જ દિશામાં સમાન રીતે ઉત્સર્જિત થાય છે અને પરાવર્તન અવગાળો.
- 8.13**  $\lambda_m T = 0.29 \text{ cmK}$  સૂત્રનો ઉપયોગ કરી વિદ્યુતચુંબકીય વર્ષાપટના જુદા જુદા ભાગના લાક્ષણિક તાપમાનગાળા મેળવો. આ માટે મળેલી સંખ્યા શું જણાવે છે ?
- 8.14** બૌતિકશાસ્ત્રમાં જુદા-જુદા પરિપ્રેક્ષમાં વિદ્યુતચુંબકીય વિકિરણો સાથે સંકળાયેલી કેટલીક પ્રચલિત સંખ્યાઓ નીચે દર્શાવેલ છે. તે વિદ્યુતચુંબકીય વર્ષાપટના કયા ભાગમાં આવેલા છે તે જણાવો.
- (a) 21 cm (આંતર તારાકીય અવકાશ (Interstellar Space)માં પરમાણિક હાઇડ્રોજન દ્વારા ઉત્સર્જિત તરંગલંબાઈ)
  - (b) 1057 MHz (લેન્બ શિફ્ટ (Lamb Shift)થી ઓળખાતી ઘટના કે જેમાં હાઇડ્રોજનમાં ખૂબ જ નજીક આવેલાં બે ઊર્જા સત્રોમાંથી ઉત્સર્જિત વિકિરણની આવૃત્તિ)
  - (c) 2.7 K (એક વિચાર મુજબ, યુનિવર્સના Big-bangના ઉદ્ભબ બાદ અવકાશને સંપૂર્ણ ભરી દેતા સમાન રીતે ફેલાયેલા વિકિરણ સાથે સંકળાયેલ તાપમાન).
  - (d) 5890 Å – 5896 Å (સોડિયમની Double Lines-દ્વિ-રેખાઓ)
  - (e) 14.4 keV (ખૂબ પ્રચલિત ઉચ્ચ વિભેદનશક્તિ ધરાવતી સ્પેક્ટ્રોસ્કોપિક પદ્ધતિ (Mössbaure Spectroscopy)માં <sup>57</sup>Fe ન્યુક્લિયસની ઓક ચોક્કસ સંકાન્તિ સાથે સંકળાયેલ ઊર્જા)
- 8.15** નીચેનાં પ્રશ્નોનાં જવાબ આપો :
- (a) દૂર અંતરના રેઓપ્લાન્ડ પ્રસારણ માટે short-wave band વપરાય છે, શા માટે ?
  - (b) દૂર અંતરના TV-પ્રસારણ માટે ઉપગ્રહનો ઉપયોગ કરવો જરૂરી છે, શા માટે ?
  - (c) પ્રકાશીય અને રેઓપ્લાન્ડ પ્રસારણ માટે પરિક્રમા કરતાં ઉપગ્રહ પરથી જ થઈ શકે છે, શા માટે ?
  - (d) વાતાવરણનાં ઉપરના ભાગમાં રહેલ ઓઝોનનું નાનું સ્તર મનુષ્ય જાતિનાં અસ્તિત્વ માટે ખૂબ જ અગત્યનું છે, શા માટે ?
  - (e) જો પૃથ્વીને વાતાવરણ ના હોય તો તેની સપાઠીનું સરારેશ તાપમાન અત્યારે છે તેના કરતા વધારે કે ઓછું હોત ?
  - (f) અમુક વૈજ્ઞાનિકોનું માનવું છે કે પૃથ્વી પર ગ્લોબલ (વૈશ્વિક) ન્યુક્લિયર યુદ્ધ પછી ‘ન્યુક્લિયર-શિયાળા’ (Nuclear-winter)ની તીવ્ર અસર દેખારો કે જેથી પૃથ્વી પરના જીવન પર ખૂબ જ વિનાશકારી અસર હશે. આવી આગાહી માટે કયો આધાર હોઈ શકે ?

## જવાબો (ANSWERS)

### પ્રકરણ 1

- 1.1**  $6 \times 10^{-3} \text{ N}$  (અપાકર્ષક)
- 1.2** (a) 12 cm (b) 0.2 N (આકર્ષક)
- 1.3**  $2.4 \times 10^{39}$ . આ ઇલેક્ટ્રોન અને પ્રોટોન વચ્ચેના (સમાન અંતર માટે) વિદ્યુતબળ અને ગુરુત્વબળનો ગુણોત્તર છે.
- 1.5** વિદ્યુતભાર ઉત્પન્ન થતો નથી કે નાશ પામતો નથી. તે ફક્ત એક પદાર્થથી બીજા પદાર્થ પર સ્થાનાંતરિત થાય છે.
- 1.6** શૂન્ય N
- 1.8** (a)  $5.4 \times 10^6 \text{ NC}^{-1}$  OB તરફ  
(b)  $8.1 \times 10^{-3} \text{ N}$  OA તરફ
- 1.9** કુલ વિદ્યુતભાર શૂન્ય છે. દાયપોલ ચાકમાત્રા =  $7.5 \times 10^{-8} \text{ C m}$  z-અક્ષની ડિશામાં
- 1.10**  $10^{-4} \text{ N m}$
- 1.11** (a)  $2 \times 10^{12}$ , ઊનથી પોલીથીન તરફ  
(b) હા, પરંતુ અવગણ્ય જથ્થાનું (દાખલામાં  $2 \times 10^{-18} \text{ kg}$ )
- 1.12** (a)  $1.5 \times 10^{-2} \text{ N}$  (b) 0.24 N
- 1.13**  $5.7 \times 10^{-3} \text{ N}$
- 1.14** વિદ્યુતભારો 1 અને 2 ઝડપ છે, વિદ્યુતભાર 3 ઘન છે. કણ 3 માટે વિદ્યુતભાર અને ઘળનો ગુણોત્તર મહત્વમાં છે.
- 1.15** (a)  $30 \text{ Nm}^2/\text{C}$  (b)  $15 \text{ Nm}^2/\text{C}$
- 1.16** શૂન્ય. ઘનમાં દાખલ થતી રેખાઓની સંખ્યા ઘનમાંથી બહાર જતી રેખાઓની સંખ્યા જેટલી જ છે.
- 1.17** (a)  $0.07 \mu\text{C}$  (b) ના, ફક્ત અંદરનો કુલ (net) વિદ્યુતભાર શૂન્ય છે.
- 1.18**  $2.2 \times 10^5 \text{ N m}^2/\text{C}$
- 1.19**  $1.9 \times 10^5 \text{ N m}^2/\text{C}$
- 1.20** (a)  $-10^3 \text{ N m}^2/\text{C}$ , કારણ કે બંને કિરસામાં ઘેરાયેલો વિદ્યુતભાર એકસમાન જ છે.  
(b)  $-8.8 \text{ nC}$
- 1.21**  $-6.67 \text{ nC}$
- 1.22** (a)  $1.45 \times 10^{-3} \text{ C}$  (b)  $1.6 \times 10^8 \text{ N m}^2/\text{C}$
- 1.23**  $10 \mu\text{C}/\text{m}$
- 1.24** (a) શૂન્ય (b) શૂન્ય (c)  $1.9 \text{ N/C}$

- 1.25**  $9.81 \times 10^{-4}$  mm
- 1.26** ફક્ત (c) સાચું છે, બાકીના સ્થિતવિદ્યુત ક્ષેત્રરેખાઓ રજૂ કરી શકે નહિ. (a) ખોટું છે, કારણ કે ક્ષેત્રરેખાઓ સુવાહકને લંબરૂપે જ હોય. (b) ખોટું છે, કારણ કે ક્ષેત્રરેખાઓ ઋજુ વિદ્યુતભારથી શરૂ થઈ શકે નહિ. (d) ખોટું છે, કારણ કે ક્ષેત્રરેખાઓ એકબીજાને છેદી શકે નહિ. (e) ખોટું છે, કારણ કે સ્થિતવિદ્યુત ક્ષેત્રરેખાઓ બંધ ગાળો રચી શકે નહિ.
- 1.27** બળ  $10^{-2}$  N ઋજુ z-દિશામાં એટલે કે ઘટતા વિદ્યુતક્ષેત્રની દિશામાં છે. તમે ચકાસી શકો છો કે આ દિશા ડાયપોલની ઘટતી સ્થિતિઓર્જની દિશા પણ છે; ટોક શૂન્ય છે.
- 1.28** (a) સૂચન : પૂરેપૂરી સુવાહકની અંદર હોય અને બખોલ (Cavity)ને ઘેરતી હોય તેવી સપાટીને ગોસિયન સપાટી તરીકે પસંદ કરો.
- (b) (a)ના જેવી જ સપાટી પર ગોસનો નિયમ દર્શાવે છે કે  $q$ , સુવાહકની અંદરની સપાટી પર  $-q$  પ્રેરિત કરે છે.
- (c) ઉપકરણને સંપૂર્ણપણે ધાર્તિક સપાટીથી ઘરી લો.
- 1.29** સૂચન : પુરાયેલા છિદ્રવાળા સુવાહકનો વિચાર કરો. તેમાં તરત બહારના ભાગમાં ક્ષેત્ર  $(\sigma/\epsilon_0) \vec{H}$  અને અંદર શૂન્ય છે. આ ક્ષેત્રને, પુરાયેલા છિદ્રને લીધે વિદ્યુતક્ષેત્ર અને બાકીના વિદ્યુતભારિત સુવાહકને લીધે વિદ્યુતક્ષેત્રના સંપાતપણા સ્વરૂપે જુઓ. સુવાહકની અંદરના ભાગમાં આ ક્ષેત્રો સમાન અને વિરુદ્ધ છે. બહારના ભાગમાં તેઓ મૂલ્યમાં અને દિશામાં સમાન છે. આથી, સુવાહકના બાકીના ભાગ વડે ક્ષેત્ર  $\left(\frac{\sigma}{2\epsilon_0}\right)\vec{H}$  છે.
- 1.31** p; uud; n; udd
- 1.32** (a) સૂચન : વિરોધાભાસથી તે સાબિત કરો. ધારોકે સંતુલન સ્થાયી હોય તો, પરિક્ષણ વિદ્યુતભારને ગમે તે દિશામાં સ્લેઝ સ્થાનાંતરિત કરતાં, તટસ્થબિંદુ તરફ પુનઃસ્થાપક બળ અનુભવશે. એટલે કે તટસ્થબિંદુ નજીક બધી ક્ષેત્રરેખાઓ અંદર તરફ તટસ્થબિંદુ તરફની દિશામાં હોવી જોઈએ. એટલે કે તટસ્થબિંદુની આસપાસની બંધ સપાટીમાંથી અંદર તરફ વિદ્યુતક્ષેત્રનું કંઈક કુલ ફ્લક્સ છે. પરંતુ ગોસના નિયમ મુજબ કોઈ વિદ્યુતભારને ઘેરતી ન હોય તેવી સપાટીમાંથી વિદ્યુતક્ષેત્રનું ફ્લક્સ શૂન્ય હોય છે. આથી, સંતુલન સ્થાયી ન હોઈ શકે.
- (b) બે વિદ્યુતભારોને જોડતી રેખાનું મધ્યબિંદુ તટસ્થ બિંદુ છે. પરિક્ષણ વિદ્યુતભારને તટસ્થ બિંદુએથી તે જ રેખા પર સ્લેઝ ખસેડો. તમે જોશો કે કુલ બળ તેને તટસ્થબિંદુથી દૂર તરફ લઈ જાય છો. યાદ રાખો કે, સંતુલનના સ્થાયીપણા માટે બધી દિશામાં પુનઃસ્થાપક બળ જરૂરી છે.
- 1.34** 1.6 cm

### પ્રકરણ 2

- 2.1** ધન વિદ્યુતભારથી ઋજુ વિદ્યુતભારની બાજુએ 10 cm, 40 cm દૂર
- 2.2**  $2.7 \times 10^6$  V
- 2.3** (a) ABને લંબ અને તેના મધ્યબિંદુમાંથી પસાર થતા સમતલ પર દરેક સ્થાને શૂન્ય સ્થિતિમાન છે.
- (b) સમતલને લંબ અને AB દિશામાં
- 2.4** (a) શૂન્ય
- (b)  $10^5$  NC<sup>-1</sup>
- (c)  $4.4 \times 10^4$  NC<sup>-1</sup>

- 2.5**  $96 \text{ pF}$
- 2.6** (a)  $3 \text{ pF}$  (b)  $40 \text{ V}$
- 2.7** (a)  $9 \text{ pF}$  (b)  $2 \times 10^{-10} \text{ C}, 3 \times 10^{-10} \text{ C}, 4 \times 10^{-10} \text{ C}$
- 2.8**  $18 \text{ pF}, 1.8 \times 10^{-9} \text{ C}$
- 2.9** (a)  $V = 100 \text{ V}, C = 108 \text{ pF}, Q = 1.08 \times 10^{-8} \text{ C}$   
 (b)  $Q = 1.8 \times 10^{-9} \text{ C}, C = 108 \text{ pF}, V = 16.6 \text{ V}$
- 2.10**  $1.5 \times 10^{-8} \text{ J}$
- 2.11**  $6 \times 10^{-6} \text{ J}$
- 2.12**  $1.2 \text{ J}$ ,  $R$  બિંદુને જવાબ સાથે કોઈ સંબંધ નથી.
- 2.13** સ્થિતિમાન  $= 4q/(\sqrt{3} \pi \epsilon_0 b)$ ; સંભિતિ પરથી અપેક્ષા મુજબ ક્ષેત્ર શૂન્ય છે.
- 2.14** (a)  $2.4 \times 10^5 \text{ V}, 2.5 \mu\text{C}$  વિદ્યુતભારથી  $1.5 \mu\text{C}$  વિદ્યુતભાર તરફ  $4.0 \times 10^5 \text{ V m}^{-1}$ .  
 (b)  $2.0 \times 10^5 \text{ V}, 2.5 \mu\text{C}$  અને  $1.5 \mu\text{C}$  વિદ્યુતભારોને જોડતી રેખા સાથે લગભગ  $69^\circ$ નો કોણ બનાવતી દિશામાં  $6.6 \times 10^5 \text{ V m}^{-1}$ .
- 2.15** (a)  $-q/(4\pi r_1^2), (Q+q)/(4\pi r_2^2)$   
 (b) ગોસના નિયમ પરથી, બખોલ (જેમાં કોઈ વિદ્યુતભાર નથી)ને ઘેરતી અંદરની સપાટી પર, કુલ (net) વિદ્યુતભાર શૂન્ય હોવો જોઈએ. યાદચિક આકારની બખોલ માટે, અંદરના ભાગમાં વિદ્યુતક્ષેત્ર શૂન્ય હોવું જોઈએ એમ કહેવું પૂરતું નથી. બખોલમાં ધન અને ઋણ વિદ્યુતભારો હોઈ શકે છે, જેમનો કુલ વિદ્યુતભાર શૂન્ય થાય. આ શક્યતાનો નિકાલ કરવા માટે, એક બંધ ગાળો લો, જેનો એક ભાગ બખોલની અંદર ક્ષેત્રરેખા પર હોય અને બાકીનો વાહકની અંદર હોય. વાહકની અંદર ક્ષેત્ર શૂન્ય હોવાથી આ ક્ષેત્ર વડે પરિક્ષણ વિદ્યુતભારને બંધ ગાળા પર લઈ જવામાં થતું કંઈક પરિક્ષણમી કાર્ય આપે છે. આપણે જાણીએ છીએ કે સ્થિત વિદ્યુતક્ષેત્ર માટે આ અશક્ય છે. આમ, ગમે તેવા આકાર માટે બખોલની અંદર કોઈ ક્ષેત્રરેખા હોતી નથી (એટલે કે ક્ષેત્ર નથી) અને વાહકની અંદરની સપાટી પર કોઈ વિદ્યુતભાર હોતો નથી.
- 2.17**  $\lambda/(2\pi\epsilon_0 r)$ , જ્યાં  $r$  એ નળાકારોની સામાન્ય અક્ષથી બિંદુનું અંતર છે. ક્ષેત્ર ત્રિજ્યાવર્તી અને અક્ષને લંબરૂપે છે.
- 2.18** (a)  $-27.2 \text{ eV}$   
 (b)  $13.6 \text{ eV}$   
 (c)  $-13.6 \text{ eV}, 13.6 \text{ eV}$ . એ નોંધો કે બીજી પસંદગીમાં હાઈડ્રોજન પરમાણુની કુલ ઊર્જા શૂન્ય છે.
- 2.19**  $-19.2 \text{ eV}$ , સ્થિતિજીવીનું શૂન્ય અનંત અંતરે લીધેલ છે.
- 2.20** પ્રથમના વિદ્યુતક્ષેત્ર અને બીજાના વિદ્યુતક્ષેત્રનો ગુણોત્તર (b/a) છે. સપાટ વિભાગને મોટી ત્રિજ્યાની ગોળાકાર સપાટી અને ઋણીદાર વિભાગને નાની ત્રિજ્યાની ગોળાકાર સપાટી સાથે સરખાવી શકાય.
- 2.21** (a) ડાયપોલની અક્ષ પર સ્થિતિમાન  $(\pm 1/4\pi\epsilon_0) p/(x^2 - a^2)$  છે, જ્યાં  $p = 2qa$  ડાયપોલ ચાકમાત્રાનું માન છે. જ્યારે બિંદુ  $+q$ ની નજીક હોય ત્યારે + ચિહ્ન અને જ્યારે  $-q$ ની નજીક હોય ત્યારે - ચિહ્ન અક્ષને લંબરૂપે  $(x, y, 0)$  બિંદુઓએ સ્થિતિમાન શૂન્ય છે.  
 (b)  $1/r^2$  પ્રકારે  $r$  પર આધારિત છે.  
 (c) શૂન્ય. ના, કારણ કે સ્થિત વિદ્યુતક્ષેત્ર વડે બે બિંદુઓ વચ્ચે થતું કાર્ય, તે બે બિંદુઓને જોડતા માર્ગ પર આધારિત નથી.

- 2.22** ના મોટા મૂલ્ય માટે ચતુર્ધીવીનું સ્થિતિમાન  $1/r^3$  મુજબ બદલાય છે, ડાયપોલનું સ્થિતિમાન  $1/r^2$  મુજબ બદલાય છે અને એક ધૂવીનું સ્થિતિમાન  $1/r$  મુજબ બદલાય છે.
- 2.23**  $1 \mu\text{F}$ ના અઠાર કેપેસીટરો, દરેક હરોળમાં ત્રણ કેપેસીટરો શ્રેણીમાં હોય તેવી 6 હરોળોને સમાંતરમાં જોડવી.
- 2.24**  $1130 \text{ km}^2$
- 2.25** સમતુલ્ય કેપેસીટન્સ =  $(200/3) \text{ pF}$ ,  $Q_1 = 10^{-8} \text{ C}$ ,  $V_1 = 100 \text{ V}$ ,  $Q_2 = Q_3 = 10^{-8} \text{ C}$ ,  
 $V_2 = V_3 = 50 \text{ V}$ ,  
 $Q_4 = 2.55 \times 10^{-8} \text{ C}$ ,  $V_4 = 200 \text{ V}$
- 2.26** (a)  $2.55 \times 10^{-6} \text{ J}$   
(b)  $u = 0.113 \text{ J m}^{-3}$ ,  $u = (1/2)\epsilon_0 E^2$
- 2.27**  $2.67 \times 10^{-2} \text{ J}$
- 2.28** સૂચના : ધારોકે આપણો બે પ્લેટ વચ્ચેનું અંતર  $\Delta x$  જેટલું વધારીએ છીએ. (બાબુ પરિબળે) કરેલું કાર્પ્ટ =  $F\Delta x$ . આનાથી કેપેસીટરની સ્થિતિઉર્જા  $ua\Delta x$  જેટલી વધે છે. જ્યાં  $u$  ઉર્જા ઘનતા છે. આથી,  $F = ua$ . જે  $u = (1/2)\epsilon_0 E^2$  નો ઉપયોગ કરતાં  $(1/2)QE$  જેટલું હોવાનું જોઈ શકાય છે. બળના સૂત્રમાં  $(1/2)$  અવયવ આવવાનું ભૌતિક કારણ એ છે કે સુવાહકની તરત બહાર ક્ષેત્ર  $E$  છે અને અંદર ક્ષેત્ર શૂન્ય છે. આથી, સરેરાશ મૂલ્ય  $(E/2)$  બળમાં ફાળો આપે છે.
- 2.30** (a)  $5.5 \times 10^{-9} \text{ F}$   
(b)  $4.5 \times 10^2 \text{ V}$   
(c)  $1.3 \times 10^{-11} \text{ F}$
- 2.31** (a) ના, કારણ કે ગોળાઓ પર વિદ્યુતભારનાં વિતરણો નિયમિત (Uniform) નહિ હોય.  
(b) ના.  
(c) આવું હુમેશ જરૂરી નથી. (જો ક્ષેત્રરેખા સુરેખા હોય તો જ સત્ય છે). ક્ષેત્રરેખા પ્રવેગની દિશા આપે છે, પણ વ્યાપકરૂપે, વેગની દિશા નહિ.  
(d) શૂન્ય, પૂર્ણ કક્ષાનો આકાર કોઈ પણ હોય તો પણ કેર પડતો નથી.  
(e) ના, સ્થિતિમાન સતત છે.  
(f) એક જ સુવાહક પણ કેપેસીટર છે, જેની બીજી પ્લેટ અનંત અંતરે છે.  
(g) પાણીના આણુને કાયમી ડાયપોલ ચાકમાત્રા હોય છે. આમ છતાં, ડાયઈલેક્ટ્રીક અચળાંકના મૂલ્યની વિગતવાર સમજૂતિ માટે માઈક્રોસ્કોપીક સિદ્ધાંતની જરૂર પડે છે અને તે આ પુસ્તકની મર્યાદાની બહાર છે.
- 2.32**  $1.2 \times 10^{-10} \text{ F}$ ,  $2.9 \times 10^4 \text{ V}$
- 2.33**  $19 \text{ cm}^2$
- 2.34** (a)  $x-y$  સમતલને સમાંતર સમતલો  
(b) (a)ની જેમજ, સિવાય કે જેમ ક્ષેત્ર વધે છે તેમ નિશ્ચિત સ્થિતિમાનનો તફાવત ધરાવતાં સમતલો એકબીજાની નજીક આવે છે.  
(c) જેમનું કેન્દ્ર ઉગમબિંદુ પર હોય તેવા સમકેન્દ્રિય ગોળાઓ.  
(d) ગ્રીડની નજીકમાં આવર્ત રીતે બદલાતા આકારો જે દૂરના અંતરોએ ધીરે ધીરે ગ્રીડને સમાંતર સમતલ આકારો બને છે.
- 2.35** સૂચના : ગોસના નિયમ મુજબ, ગોળા અને કવચ વચ્ચેનું ક્ષેત્ર માત્ર  $q_1$  વડે નિર્ધારિત થાય છે. આથી, ગોળા અને કવચ વચ્ચેનો સ્થિતિમાનનો તફાવત  $q_2$  પર આધારિત નથી. જો  $q_1$  ધન હોય તો સ્થિતિમાનનો આ તફાવત હુમેશાં ધન હોય છે.
- 2.36** (a) આપણું શરીર અને પૃથ્વી સમસ્થિતિમાન પુષ્ટ રચે છે. જ્યારે આપણો ખુલ્લામાં પગ મૂકીએ છીએ ત્યારે ખુલ્લી હવાનાં મૂળ સમસ્થિતિમાન પુષ્ટો એવી રીતે બદલાય છે, જેમાં આપણું માથું અને પૃથ્વી એક જ સ્થિતિમાને રહે છે.

- (b) હા, વાતાવરણમાં વિદ્યુતવિભાર (Discharging)નો સ્થિર પ્રવાહ એલ્યુમિનિયમના પતરાને ધીરે ધીરે વિદ્યુતભારિત કરે છે અને (પતરું, ચોસલું (Slab) અને પૃથ્વી)થી રચાતા કેપેસીટરના કેપેસીટન્સ પર આધાર રાખે તેવી માત્રા સુધી તેનું સ્થિતિમાન વધારે છે.
- (c) સમગ્ર પૃથ્વી પર મેઘગર્જનાઓ અને વીજળીઓ થવાથી વાતાવરણ સતત વિદ્યુતભારિત થતું રહે છે અને સામાન્ય હવામાનના વિભાગોમાં થઈ વિદ્યુતવિભારિત (Discharge) થતું રહે છે. આ બે વિરોધી પ્રવાહો, સરેરાશ રીતે સંતુલનમાં હોય છે.
- (d) વીજળી થવા દરમિયાન પ્રકાશનિર્જા અને તેની સાથે થતી ગર્જનાઓમાં ઉભા અને ઘનિર્જા.

### પ્રકરણ 3

- 3.1** 30 A
- 3.2**  $17\Omega, 8.5 \text{ V}$
- 3.3** (a)  $6\Omega$ , (b) 2 V, 4 V, 6 V
- 3.4** (a)  $(20/19)\Omega$   
(b) 10 A, 5 A, 4 A, 19 A
- 3.5**  $1027^\circ\text{C}$
- 3.6**  $2.0 \times 10^{-7} \Omega\text{m}$
- 3.7**  $0.0039^\circ\text{C}^{-1}$
- 3.8**  $867^\circ\text{C}$
- 3.9** AB ભુજમાં પ્રવાહ =  $(4/17)$  A, BC ભુજમાં =  $(6/17)$  A, CD ભુજમાં =  $(-4/17)$  A, ADમાં =  $(6/17)$  A, BDમાં =  $(-2/17)$  A, કુલ પ્રવાહ =  $(10/17)$  A
- 3.10** (a)  $X = 8.2 \Omega$ , બ્રીજ-સૂત્રમાં જેમની ગણના થતી ના હોય તેવા જોડાણ અવરોધોને લઘુત્તમ કરવા માટે  
(b) A થી 60.5 cm  
(c) ગેલ્વેનોમીટર શૂન્ય પ્રવાહ દર્શાવશે.
- 3.11** 11.5 V, શ્રેષ્ઠી અવરોધ એ બાબ્દ ઉદ્ગમમાંથી ખેંચાતા (મળતા) પ્રવાહને સીમીત કરે છે. તેની ગેરહાજરીમાં, પ્રવાહ ભયજનક વધારે હશે.
- 3.12** 2.25 V
- 3.13**  $2.7 \times 10^4 \text{ s}$  (7.5 h)
- 3.14** પૃથ્વીની ત્રિજ્યા  $6.37 \times 10^6 \text{ m}$  જેટલી લો અને (પૃથ્વીના) ગોળા પરનો કુલ વિદ્યુતભાર ગણો. તેને પ્રવાહથી ભાગો જેથી સમય = 283 s મળે છે. આ રીત પણ તમને અંદાજિત કિંમત જ આપશે, તે તદ્દન સાચી નથી. શા માટે ?
- 3.15** (a) 1.4 A, 11.9 V  
(b) 0.005 A, તે શક્ય નથી, કારણ કે સ્ટાર્ટર (Starter) મોટરને અમુક સેકન્ડ માટે મોટો પ્રવાહ ( $\sim 100$  A) જોઈએ છે.
- 3.16** કોપર અને એલ્યુમિનિયમ તારના દળ (કે વજન)નો ગુણોત્તર  $(1.72/2.63) \times (8.9/2.7) \approx 2.2$  છે. એલ્યુમિનિયમ હલકો હોવાને કારણે કેબલના લાંબા Suspension માટે તેનો ઉપયોગ થાય છે.
- 3.17** વધુ ચોકસાઈ સુધી ઓહ્મનો નિયમ સાચો છે, મિશ્રધાતુ મેન્ગેનીનની અવરોધકતા તાપમાનથી લગભગ સ્વતંત્ર છે.

- 3.18** (a) ફક્ત પ્રવાહ (કારણ કે તે સ્થાયી હોવાનું આપેલ છે !) બાકીનું બધું આડછેદના ક્ષેત્રફળના વ્યસ્ત પ્રમાણમાં હોય છે.  
 (b) ના, ઓછુંમના નિયમનું પાલન ના કરતા હોય તેવા ઉદાહરણો : નિર્વાત ડાયોડ (Vacuum Diode), અર્ધવાહક ડાયોડ.  
 (c) કારણ કે ઉદ્ભૂતમાંથી જેંચાતો મહત્તમ પ્રવાહ =  $E/r$ .  
 (d) કારણ કે જો પરિપथ (આકસ્મીક રીતે) લઘુપથિત (Short Circuit) કરવામાં આવે તો જેંચાતો પ્રવાહ જો આંતરિક અવરોધ મોટો ના હોય તો સુરક્ષા-સીમા (Limits)થી વધી જશે.
- 3.19** (a) વધારે,  
 (b) નાના,  
 (c) લગભગ સ્વતંત્ર,  
 (d)  $10^{22}$
- 3.20** (a) (i) શ્રેષ્ઠીમાં,  
 (ii) બધાં જ સમાંતરમાં,  $n^2$   
 (b) (i)  $1\Omega$  અને  $2\Omega$ ને સમાંતરમાં અને આ સંયોજનને  $3\Omega$  સાથે શ્રેષ્ઠીમાં જોડો,  
 (ii)  $2\Omega$  અને  $3\Omega$ નું સમાંતર જોડાણ જી અવરોધ સાથે શ્રેષ્ઠીમાં,  
 (iii) બધાં જ શ્રેષ્ઠીમાં, (iv) બધાં જ સમાંતરમાં.  
 (c) (I)  $(16/3)\Omega$ ,  
 (ii)  $5R$
- 3.21** સૂચન : ધારોકે અનંત નેટવર્કનો સમતુલ્ય અવરોધ  $X$  છે. સ્યાદ છે કે  $2 + X/(X + 1) = X$  કે જે  $X = (1 + \sqrt{3})\Omega$  આપે છે, તેથી પ્રવાહ  $3.7A$  છે.
- 3.22** (a)  $E = 1.25 V$   
 (b) જ્યારે ખસેડી શકાય તેવો સંપર્ક સમતોલન બિંદુથી દૂર હોય તે સંજોગોમાં ગોવેનોમીટરમાંથી પસાર થતા પ્રવાહમાં ઘટાડો કરવા.  
 (c) ના.  
 (d) ના. જો  $E$  એ પોટેન્શીયોમીટરના ચાલક વિદ્યુત કોષના  $emf$  કરતા વધારે હોય તો તાર AB પર સમતોલન બિંદુ મળશે નહીં.  
 (e) આ જ સ્થિતિમાં પરિપથ અનુકૂળ નહીં બને કારણ કે (જ્યારે  $E$  એ અમુક mVના કમનો હશે ત્યારે) સમતોલન બિંદુ છેડા Aની ખૂબ જ નજીક આવેલું હશે અને અવલોકનમાં પ્રતિશત તૃટિ ખૂબ જ મોટી હશે. યોગ્ય અવરોધ Rને તાર ABના શ્રેષ્ઠીમાં મૂકી આ પરિપથમાં ફેરફાર કરી શકાય કે જેથી ABને સમાંતર વોલ્ટેજ તફાવત એ જે  $emf$  માપવાનું છે, તેના કરતા સહેજ જ વધારે હોય પછી, સમતોલન બિંદુ તારની મોટી લંબાઈ માટે મળશે અને પ્રતિશત તૃટિ ઘણી નાની થશે.
- 3.23**  $1.7\Omega$

### પ્રકરણ 4

- 4.1**  $\pi \times 10^{-4} T$     $3.1 \times 10^{-4} T$   
**4.2**  $3.5 \times 10^{-5} T$   
**4.3**  $4 \times 10^{-6} T$ , શિરોલંબ ઉપર (ઉદ્ધર્વ) તરફ  
**4.4**  $1.2 \times 10^{-5} T$ , દક્ષિણ તરફ  
**4.5**  $0.6 N m^{-1}$   
**4.6**  $8.1 \times 10^{-2} N$ , બળની દિશા ફલેભિંગના ડાબા હાથના નિયમ મુજબ અપાય છે.  
**4.7**  $2 \times 10^{-5} N$ , Aને લંબરૂપે B તરફ આકર્ષણીય

- 4.8**  $8\pi \times 10^{-3} \text{ T} \approx 2.5 \times 10^{-2} \text{ T}$
- 4.9**  $0.96 \text{ N m}$
- 4.10** (a) 1.4,  
(b) 1
- 4.11**  $4.2 \text{ cm}$
- 4.12**  $18 \text{ MHz}$
- 4.13** (a)  $3.1 \text{ Nm}$ ,  
(b) ના. જવાબ બદલાતો નથી, કારણ કે કોઈપણ આકારના સમતલ ગુંચળા (Loop) માટે સૂત્ર  $\tau = NIA \times \mathbf{B}$  સાચું છે.
- 4.14**  $5\pi \times 10^{-4} \text{ T} = 1.6 \times 10^{-3} \text{ T}$  પણ્શિમ તરફ
- 4.15** લંબાઈ આશરે  $50 \text{ cm}$ , ત્રિજ્યા આશરે  $4 \text{ cm}$ , આંટાની સંખ્યા આશરે 400, વિદ્યુતપ્રવાહ આશરે  $10 \text{ A}$ . આ વિગતો અનન્ય નથી. અમૃત મર્યાદામાં થોડાક ફેરફાર શક્ય છે.
- 4.16** (b) ગુંચળાઓ વચ્ચેના મધ્યબિંદુ પાસે  $2d$  જેટલી લંબાઈના નાના વિસ્તાર માટે

$$\begin{aligned} B &= \frac{\mu_0 IR^2 N}{2} \times \left[ \left( \left( \frac{R}{2} + d \right)^2 + R^2 \right)^{-3/2} + \left( \left( \frac{R}{2} - d \right)^2 + R^2 \right)^{-3/2} \right] \\ &= \frac{\mu_0 IR^2 N}{2} \times \left( \frac{5R^2}{4} \right)^{-3/2} \times \left[ \left( 1 + \frac{4d}{5R} \right)^{-3/2} + \left( 1 - \frac{4d}{5R} \right)^{-3/2} \right] \\ &= \frac{\mu_0 IR^2 N}{2} \times \left( \frac{4}{5} \right)^{3/2} \times \left[ 1 - \frac{6d}{5R} + 1 + \frac{6d}{5R} \right] \end{aligned}$$

જ્યાં, ઉપરના બીજા અને ત્રીજા પદનાં,  $d^2/R^2$  તથા  $d/R$ ના મોટા ઘાત ધરાવતા પદો અવગાજ્યા છે. કારણ કે,  $d/R \ll 1$ .  $d/R$  ધરાવતા રેખીય પદો એકબીજાને નાભૂદ કરે છે અને નાના વિસ્તારમાં નિયમિત ચુંબકીય ક્ષેત્ર  $B$  આપે છે.

$$B = \left( \frac{4}{5} \right)^{3/2} \frac{\mu_0 IN}{R} = 0.72 \frac{\mu_0 IN}{R}$$

- 4.17** સૂચન : ટોરોઇડ માટે  $B$ નું સૂત્ર સોલેનોઇડ માટેનું સૂત્ર જ છે :  $B = \mu_0 nI$ , જ્યાં આપણા

કિસ્સમાં  $n = \frac{N}{2\pi r}$ . આંટાઓની વચ્ચે રહેલા ગર્ભ (core)માં ક્ષેત્ર શૂન્ય નથી.

- (a) શૂન્ય, (b)  $3.0 \times 10^{-2} \text{ T}$ , (c) શૂન્ય. નોંધો કે, ટોરોઇડમાં જેમ રાનું મૂલ્ય અંદરથી બહારની ત્રિજ્યા તરફ બદલાય તેમ તેના આડહેદમાં ક્ષેત્ર થોડુંક બદલાય છે. જવાબ (b) સરેરાશ ત્રિજ્યા  $r = 25.5 \text{ cm}$ ને અનુરૂપ છે.

- 4.18** (a) પ્રારંભિક  $v$  કાંતો  $\mathbf{B}$ ને સમાંતર અથવા પ્રતિસમાંતર (વિરુદ્ધ) છે.  
(b) હા, કારણ કે ચુંબકીય બળ  $v$  ની દિશા બદલી શકે, પરંતુ તેનું માન નહીં.  
(c)  $B$ ની દિશા શિરોલંબ નીચે (નિભન) તરફ હોવી જોઈએ.

- 4.19** (a)  $B$ ને લંબ 1.0 cm ત્રિજ્યાનો વર્તુળાકાર ગતિપથ.  
(b) 0.5 mm ત્રિજ્યાનો સર્પિલ (helical) ગતિપથ જેનો  $B$ ની દિશામાં વેગ ઘટક  $2.3 \times 10^7 \text{ m s}^{-1}$  છે.

- 4.20** ડ્યુટેરીયમ આપનો કે ડ્યુટેરોન, જવાબ અનન્ય નથી, કારણ કે ફક્ત વિદ્યુતભાર અને દ્રવ્યમાનનો ગુણોત્તર ગણવામાં આવ્યો છે. બીજા શક્ય જવાબો  $He^{++}$ ,  $Li^{+++}$  વગેરે છે.

- 4.21** (a) વાહકને લંબરુપે  $0.26 \text{ T}$ નું સમક્ષિતિજ ચુંબકીયક્ષેત્ર એવી દિશામાં કે જેથી ફ્લેમિંગના ડાબા હાથના નિયમ મુજબ ચુંબકીય બળ ઉપર તરફ મળે.  
 (b)  $1.176 \text{ N}$
- 4.22**  $1.2 \text{ N m}^{-1}$ , અપાકર્ષી, નોંધ, તાર પર લાગતું કુલ બળ  $1.2 \times 0.7 = 0.84 \text{ N}$  મેળવવું એ લગભગ સાચું છે, કારણ કે એકમ લંબાઈ દીઠ લાગતા બળ માટેનું સૂત્ર  $F = \frac{\mu_0}{2\pi r} I_1 I_2$ , ફક્ત અનંત લંબાઈના તાર માટે સાચું છે.
- 4.23** (a)  $2.1 \text{ N}$  શિરોલંબ. ઉપર તરફ  
 (b)  $2.1 \text{ N}$  શિરોલંબ નીચે તરફ (વિદ્યુત પ્રવાહની દિશા અને  $\mathbf{B}$  વચ્ચેના કોઈ પણ ખૂબા માટે સાચું છે કારણ કે  $I \sin \theta$ ,  $20 \text{ cm}$  જેટલું અચળ રહે છે).  
 (c)  $1.68 \text{ N}$  શિરોલંબ નીચે તરફ.
- 4.24**  $\tau = IA \times \mathbf{B}$  અને  $\mathbf{F} = II \times \mathbf{B}$ નો ઉપયોગ કરો.  
 (a)  $1.8 \times 10^{-2} \text{ N m}, -y$  દિશામાં  
 (b) (a) મુજબ  
 (c)  $1.8 \times 10^{-2} \text{ N m}, -x$  દિશામાં  
 (d)  $1.8 \times 10^{-2} \text{ N m}, +x$  દિશા સાથે  $240^\circ$ ના કોણે.  
 (e) શૂન્ય  
 (f) શૂન્ય  
 દરેક કિસ્સામાં બળ શૂન્ય છે. કિસ્સો  
 (e) સ્વાયી સંતુલન અને કિસ્સો  
 (f) અસ્વાયી સંતુલન ને અનુરૂપ છે.
- 4.25** (a) શૂન્ય,  
 (b) શૂન્ય,  
 (c) દરેક ઈલેક્ટ્રોન પરનું બળ  $eV\mathbf{B} = IB/(nA) = 5 \times 10^{-25} \text{ N}$  છે.  
 નોંધ: જવાબ (c) ફક્ત ચુંબકીય બળ દર્શાવે છે.
- 4.26**  $108 \text{ A}$   
**4.27** શ્રેષ્ઠી અવરોધ =  $5988 \Omega$   
**4.28** શન્ટ અવરોધ =  $10 \text{ m}\Omega$

### પ્રકરણ 5

- 5.1** (a) મેનેટીક ટેકલીનેશન, ડીપ (નમન) કોણ, પૃથ્વીના ચુંબકીયક્ષેત્રનો સમક્ષિતિજ ઘટક.  
 (b) બ્રિટનમાં વધુ (લગભગ  $70^\circ$  જેટલું), કારણ કે બ્રિટન ચુંબકીય ઉત્તર ધ્રુવથી વધુ નજીક છે.  
 (c) પૃથ્વીના ચુંબકત્વના કારણો  $\mathbf{B}$ -ની ક્ષેત્રરેખાઓ જમીનમાંથી બહાર નીકળતી દેખાશે.  
 (d) ચુંબકીય કંપાસ સમક્ષિતિજ સમતલમાં ફરવા માટે મુક્ત છે, જ્યારે ચુંબકીય ધ્રુવો પાસે પૃથ્વીનું ક્ષેત્ર બરાબર શિરોલંબ છે. આથી, ત્યાં કંપાસ કોઈ પણ દિશા દર્શાવશે.  
 (e) ડાઇપોલ મોમેન્ટ  $\mathbf{m}$  વાળા ડાઇપોલના લંબદ્વિત્તિજ (વિષ્વવરેખા) પર ક્ષેત્ર  $\mathbf{B}$  માટેના સૂત્રનો ઉપયોગ કરો,

$$B_E = -\frac{\mu_0}{4\pi} \frac{\mathbf{m}}{r^3}$$

$m = 8 \times 10^{22} \text{ J T}^{-1}$ ,  $r = 6.4 \times 10^6 \text{ m}$  લો. જેથી,  $B = 0.3 \text{ G}$  મળશે, જેનો માનનો કમ પૃથ્વી પરના ચુંબકીયક્ષેત્ર સાથે મળતો આવે છે.

- (f) શા માટે નહીં? પૃથ્વીનું ચુંબકીયક્ષેત્ર ફક્ત સંનિકટ રીતે જ ડાઇપોલનું ક્ષેત્ર છે. સ્વાનિક N-S ધ્રુવો કદાચ ચુંબકીય ખનિજ જથ્થાને કારણે ઉદ્ભબી શકે છે.

- 5.2** (a) હા, તે સમય સાથે બદલાય છે જ. માપી શકાય તેવા ફેરફાર માટે સમયગાળો લગભગ અમુક સેંકડો વર્ષનો છે. પરંતુ તેનાથી ઘણા નાના એવા થોડાંક જ વર્ષોના ગાળા માટે તેના ફેરફારો સંપૂર્ણપણે અવગણી શકાય તેવા નથી.  
(b) કારણ કે પિગનેલું લોખંડ (જે પૃથ્વીના ગર્ભમાં ખૂબ ઊંચા તાપમાને લોખંડની એક અવસ્થા છે તે) ફેરોમેનેટીક નથી.  
(c) એક શક્યતા, પૃથ્વીની અંદરના ભાગમાંની રેઝિયો એક્સ્ટ્રોવીટી છે. પરંતુ હકીકત કોઈ જાણતું નથી. આ સવાલના સાચા જવાબ માટે તમારે ભૂ-યુબક્તવ (Geomagnetism) માટેના કોઈ સારા પુસ્તકનો અભ્યાસ કરવો જોઈએ.  
(d) ઘનીકરણ (ધારણા) પ્રક્રિયા દરમિયાન પૃથ્વીનું ચુંબકીયક્ષેત્ર ખૂબ નબળા પ્રમાણમાં ખડકોમાં સંગ્રહિત થઈ જાય છે. ખડકોના આ ચુંબક્તવનું વિશ્લેષણ કરતાં ભૂ-ચુંબકીય ઇતિહાસ વિશે માહિતી મળે છે.  
(e) મોટા અંતરો એ આ ક્ષેત્રમાં (પૃથ્વીના આયનોસ્ફીરમાંના) ગતિમાન આયનોના ક્ષેત્રને કારણે ફેરફાર થાય છે, જે (આયનોસ્ફીર) પૃથ્વીની બહાર ઉદ્ભવતા તોફાનો, જેવા કે સૌર પવનો પ્રત્યે સંવેદી છે (તેમનાથી બદલાતું રહે છે).  
(f) સમીકરણ  $R = \frac{mv}{eB}$  પરથી, ખૂબ ઓછું ક્ષેત્ર પણ વિદ્યુતભારિત કણોને ખૂબ મોટી ત્રિજ્યાના વર્તુળાકાર માર્ગ પર વાળે છે. નાના અંતર માટે, ખૂબ મોટી ત્રિજ્યા  $R$ ના કારણે મળતું કોણાવર્તન કદાચ નોંધનીય ન હોય, પરંતુ તારાઓ વચ્ચેના અવકાશમાં અતિશય મોટા અંતરો માટે, આ કોણાવર્તન પસાર થતા વિદ્યુતભારિત કણો દા.ત., કોસ્મિક ડિરણોની ગતિ પર નોંધનીય અસર કરી શકે.
- 5.3**  $0.36 \text{ JT}^{-1}$
- 5.4** (a)  $\mathbf{B}$ ને સમાંતર  $\mathbf{m}$ ,  $U = -m\mathbf{B} = -4.8 \times 10^{-2} \text{ J}$  સ્વાચ્છ સંતુલન  
(b)  $\mathbf{B}$ ને પ્રતિસમાંતર  $\mathbf{m}$ ,  $U = +m\mathbf{B} = +4.8 \times 10^{-2} \text{ J}$ , અસ્વાચ્છ સંતુલન
- 5.5** સોલેનોઇડની અક્ષ પર  $0.60 \text{ JT}^{-1}$ , જે વિદ્યુતપ્રવાહની દિશા દ્વારા નિર્ધારિત થાય છે.
- 5.6**  $7.5 \times 10^{-2} \text{ J}$
- 5.7** (a) (i)  $0.33 \text{ J}$ , (ii)  $0.66 \text{ J}$   
(b) (i)  $0.33 \text{ J}$  એટલો ટોર્ક લાગશે જે મેનેટીક મોમેન્ટ સદિશને  $\mathbf{B}$ ની દિશા સાથે એક રેખસ્થ કરવા પ્રયત્ન કરશે.  
(ii) શૂન્ય.
- 5.8** (a) અક્ષ પર  $1.28 \text{ A m}^2$ , જેની દિશા જમણા હાથના ઝૂના નિયમ મુજબ વિદ્યુતપ્રવાહની દિશા પરથી મળશે.  
(b) નિયમિત ક્ષેત્રમાં બળ શૂન્ય છે, ટોર્ક =  $0.048 \text{ Nm}$  જે સોલેનોઇડની અક્ષને (એટલે તેના મેનેટીક મોમેન્ટ સદિશને)  $\mathbf{B}$  સાથે એક રેખસ્થ કરવાનો પ્રયત્ન કરે તે દિશામાં લાગશે.
- 5.9**  $I = mB/(4\pi^2 l^2)$  અને  $m = NIA$  નો ઉપયોગ કરો, તે પરથી  $I = 1.2 \times 10^{-4} \text{ kg m}^2 \text{ મળશે.}$
- 5.10**  $B = 0.35 \text{ sec } 22^\circ = 0.38 \text{ G}$
- 5.11** પૃથ્વીનું ક્ષેત્ર ભૌગોલિક મેરીઝિયનથી પશ્ચિમ તરફ  $12^\circ$  એ શિરોલંબ સમતલમાં હશે, જે સમક્ષિતિજ (ચુંબકીય દક્ષિણથી ચુંબકીય ઉત્તર તરફની) દિશા સાથે (ઉપરની તરફ)  $60^\circ$  કોણ બનાવશે. માન =  $0.32 \text{ G}$
- 5.12** (a) S-N દિશામાં  $0.96 \text{ G}$   
(b) N-S દિશામાં  $0.48 \text{ G}$
- 5.13** પૃથ્વીના ક્ષેત્રની દિશામાં  $0.54 \text{ G}$
- 5.14** લંબદ્વિભાજક પર  $14 \times 2^{-1/3} = 11.1 \text{ cm}$  અંતરે
- 5.15** (a)  $(\mu_0 m)/(4\pi r^3) = 0.42 \times 10^{-4}$  જે પરથી  $r = 5.0 \text{ cm}$  મળશે.  
(b)  $(2\mu_0 m)/(4\pi r_1^3) = 0.42 \times 10^{-4}$  એટલે કે  $r_1 = 2^{1/3} r = 6.3 \text{ cm}$

- 5.16** (a) ચુંબકન (magnetising) ક્ષેત્રની સાથે) એક રેખસ્થ થતા ડાયપોલોની ગોઠવણીમાં અન્યાન્ય તાપીય ગતિ દ્વારા છિન્નભિન્ન કરવાનું બગાણ સર્જવાનું વલણ નીચા તાપમાનોએ ઘટે છે.
- (b) ડાયામેનેટીક પદાર્થમાં પ્રેરિત ડાયપોલ મોમેન્ટ હંમેશા ચુંબકન (magnetising) ક્ષેત્રથી વિરુદ્ધ હિશામાં હોય છે, પછી ભલેને પરમાણુઓની આંતરીક ગતિ ગમે તે હોય.
- (c) બિસ્મથ ડાયામેનેટીક હોવાથી, થોડુક ઓછું.
- (d) ના, મેળેટાઈઝેશન વક્ત પરથી દેખીતું છે. મેળેટાઈઝેશન વક્તના ઢાળ પરથી એ સ્પષ્ટ છે કે નાના ક્ષેત્રો માટે  $m$  મોટી હોય છે.
- (e) આ અગત્યની હકીકતની સાબિતી (જે ઘણી પ્રાયોગિક અગત્યતા ધરાવે છે) બે માધ્યમોને જોડતી સપાટી પાસે ચુંબકીય ક્ષેત્રો (B અને H)ની સીમા શરતો પર આધારિત છે. (જ્યારે એક માધ્યમ માટે  $\mu >> 1$  હોય ત્યારે, ક્ષેત્રરેખાઓ આ માધ્યમને લગભગ લંબરૂપે મળે છે.) વધુ માહિતી આ પુસ્તકની મયાર્દ બહાર છે.
- (f) હા. બે જુદા જુદા દ્રવ્યોના પરમાણિક ડાયપોલની પ્રબળતામાં થોડોક જ તરફાવત હોવા ઉપરાંત સંતૃપ્ત મેળેટાઈઝેશન ધરાવતા પેરામેનેટીક પદાર્થનું મેળેટાઈઝેશન સમાન કરી નાના હશે. પરંતુ, સંતૃપ્ત થવા માટે પ્રાયોગિક રીતે અશક્ય એવા ઊચા ચુંબકીયક્ષેત્રોની જરૂર પડે છે.
- 5.17** (b) કાર્બન સ્ટીલનો ટુકડો, કારણ કે એક ચક દરમિયાન ઉઘાનો વ્યય હીસ્ટરીસીસ લૂપ (ગાળા)ના ક્ષેત્રફળના સમપ્રમાણમાં હોય છે.
- (c) ફેરોમેન્ટનું મેળેટાઈઝેશન, ચુંબકીય (Magnetising) ક્ષેત્રનું એક મૂલ્ય વિધેય નથી. આપેલ ક્ષેત્ર માટે તેનું મૂલ્ય, ક્ષેત્ર અને તેના મેળેટાઈઝેશનના ઇતિહાસ બંને પર આધાર રાખે છે (એટલે કે મેળેટાઈઝેશનના કેટલા ચકમાંથી તે પસાર થયો છે, વગેરે). બીજા શાંદોમાં, મેળેટાઈઝેશનનું મૂલ્ય એ મેળેટાઈઝેશન ચકોનો સંગ્રહ (સ્મૃતિ) કે રેકૉર્ડ છે. જો માહિતીના વિભાગો (bits) આ ચકોને અનુરૂપ કરવામાં આવે, તો હીસ્ટરીસીસ લૂપ દર્શાવતું આવું તંત્ર માહિતી સંગ્રહ કરવાના સાધન તરીકે કાર્ય કરી શકે.
- (d) સિરામીક્સ (વિશિષ્ટ રીતે પ્રક્રિયા કરેલ બેરીયમ આર્યન એક્સાઈડ) જે ફેરાઈટ પણ કહેવાય છે.
- (e) આ વિસ્તારની આસપાસ નરમ લોખંડની રીંગો રાખો. ચુંબકીય ક્ષેત્ર રેખાઓ આ રીંગોમાંથી પસાર થશે અને આ રીંગો વડે ઘેરાયેલો વિસ્તાર ચુંબકીયક્ષેત્રથી મુક્ત રહેશે. પરંતુ આ શિલ્ડિંગ, બાદ્ય વિદ્યુતક્ષેત્રમાં મૂકેલ વાહકમાંની બખોલમાં બનતા સંપૂર્ણ વિદ્યુતક્ષેત્રના શિલ્ડિંગ જેવું સંપૂર્ણ નથી માત્ર આશરા પડતું છે.
- 5.18** તાર (cable)ને સમાંતર અને તેની ઉપર 1.5 cm અંતરે.
- 5.19** તાર (cable)ની નીચે,
- $$R_h = 0.39 \cos 35^\circ - 0.2 = 0.12 \text{ G}$$
- $$R_v = 0.39 \sin 35^\circ = 0.22 \text{ G}$$
- $$R = \sqrt{R_h^2 + R_v^2} = 0.25 \text{ G}$$
- $$\theta = \tan^{-1} \frac{R_v}{R_h} = 62^\circ$$
- તારની ઉપર
- $$R_h = 0.39 \cos 35^\circ + 0.2 = 0.52 \text{ G}$$
- $$R_v = 0.224 \text{ G}$$
- $$R = 0.57 \text{ G}, \theta \approx 23^\circ$$

- 5.20** (a)  $B_h = (\mu_0 I N / 2r) \cos 45^\circ = 0.39 \text{ G}$   
 (b) પૂર્વથી પણ્ચમ (એટલે કે, ચુંબકીય સોય તેની મૂળ દિશા ઉલટાવશે.)

**5.21** બીજા ક્ષેત્રનું માન

$$= \frac{1.2 \times 10^{-2} \times \sin 15^\circ}{\sin 45^\circ}$$

$$= 4.4 \times 10^{-3} \text{ T}$$

$$\begin{aligned} \text{5.22} \quad R &= \frac{meV}{eB} \\ &= \frac{\sqrt{2m_e \times ગતિગીર્જા}}{eB} \\ &= 11.3 \text{ m} \end{aligned}$$

ઉપર કે નીચે આવર્તન  $= R(1 - \cos \theta)$ . જ્યાં,  $\sin \theta = (0.3/11.3)$

આથી, મળતું આવર્તન  $\approx 4 \text{ mm}$

$$\begin{aligned} \text{5.23} \quad શરૂઆતમાં, કુલ ડાયપોલ મોમેન્ટ &= 0.15 \times 1.5 \times 10^{-23} \times 2.0 \times 10^{24} \\ &= 4.5 \text{ JT}^{-1} \end{aligned}$$

ક્યુરીના નિયમનો ઉપયોગ કરો  $m \propto B/T$

$$\begin{aligned} જેના પરથી અંતિ મ ડાયપોલ મોમેન્ટ &= 4.5 \times (0.98/0.84) \times (4.2/2.8) \\ &= 7.9 \text{ JT}^{-1} \end{aligned}$$

$$\begin{aligned} \text{5.24} \quad B &= \frac{\mu_r \mu_0 NI}{2\pi R} \text{ સમીકરણનો ઉપયોગ કરો, જ્યાં } \mu, \text{ સાપેક્ષ પરમિઓબિલીટી, જેના પરથી} \\ B &= 4.48 \text{ T} \end{aligned}$$

**5.25** બંનેમાંથી સમીકરણ  $\mu_I = -(e/2m)I$  એ પ્રચલિત ભૌતિકશાસ્ત્ર મુજબ છે.  $\mu$ , અને  $I$ ની વ્યાખ્યાઓ પરથી એ સ્પષ્ટ છે કે,

$$\mu_I = IA = (e/T)\pi r^2$$

$$l = mvr = m \frac{2\pi r^2}{T}$$

જ્યાં,  $r$  એ વર્તુળાકાર કક્ષાની ત્રિજ્યા છે. જેમાં,  $m$  દ્વયમાન અને  $(-e)$  વિદ્યુતભારવાળો ઠંડેકટ્રોન  $T$  સમયમાં એક પરિભ્રમણ કરે છે. આથી,  $\mu_I/I = e/2m$ . ઠંડેકટ્રોનનો વિદ્યુતભાર ( $= -e$ ) ઝાણ હોવાથી, એ જોઈ શકાય કે  $\mu$  અને  $I$  વિરુદ્ધ દિશામાં છે અને બંને બ્રમણ કક્ષાના સમતલને લંબ છે. આથી,  $\mu_I = -(e/2m)I$ . નોંધો કે  $\mu_s/S$ નું મૂલ્ય  $\mu_I/I$  થી વિપરિત  $e/m$  છે, એટલે કે, પ્રચલિત રીતે અપેક્ષિત મૂલ્ય કરતાં બમણું. આ પરિણામ (પ્રાયોગિક રીતે પણ ચકાસાયેલ છે) એ આધુનિક કવોન્ટમ સિદ્ધાંતનું અગત્યાનું પરિણામ છે, જે પ્રચલિત ભૌતિકશાસ્ત્ર વડે મેળવી શકાતું નથી.

### પ્રકરણ 6

- 6.1** (a)  $qrpq$  માર્ગી,  
 (b)  $prq$  માર્ગી,  $yzx$  માર્ગી,  
 (c)  $yzx$  માર્ગી,  
 (d)  $zyx$  માર્ગી,  
 (e)  $xry$  માર્ગી,  
 (f) ગળા (લૂપ) ના સમતલમાં ક્ષેત્ર રેખાઓ આવેલ હોવાથી પ્રવાહ પ્રેરિત થતો નથી.

**6.2** (a) abcd માર્ગે (આકાર પરિવર્તન દરમિયાન સપાટીમાંથી ફૂલક્સ વધે છે. તેથી પ્રેરિત પ્રવાહ વિરોધ કરતું ફૂલક્સ ઉત્પન્ન કરે છે.)

(b) a'b'c'd'માર્ગે (પ્રક્રિયા દરમિયાન ફૂલક્સ ઘટે છે.)

**6.3**  $7.5 \times 10^{-6} \text{ V}$

**6.4** (a)  $2.4 \times 10^{-4} \text{ V}$ , 2 s સુધી રહેશે

(b)  $0.6 \times 10^{-4} \text{ V}$ , 8 s સુધી રહેશે.

**6.5** 100 V

**6.6** ગાળા (લૂપ)ના દરેક આંટામાંથી ફૂલક્સ =  $\pi r^2 B \cos(\omega t)$

$$\epsilon = -N\omega\pi r^2 B \sin(\omega t)$$

$$\epsilon_{\max} = -N\omega\pi r^2 B$$

$$= 20 \times 50 \times \pi \times 64 \times 10^{-4} \times 3.0 \times 10^{-2} = 0.603 \text{ V}$$

એક ચક્ક પરનું  $\epsilon_{\text{avg}}$  શૂન્ય છે.

$$I_{\max} = 0.0603 \text{ A}$$

$$P_{\text{average}} = \frac{1}{2} \epsilon_{\max} I_{\max} = 0.018 \text{ W}$$

પ્રેરિત પ્રવાહ કોઈલ (ગુંચળા) ના પરિભ્રમણનો વિરોધ કરતું ટોર્ક ઉત્પન્ન કરે છે. આ કોઈલને નિયમિત રીતે ફેરવવા માટે એક બાધ્ય એજન્ટ (રોટર) દ્વારા આ ટોર્કનો સામનો કરતું ટોર્ક પુરું પાડવું જ જોઈએ. (કાર્ય થવું જોઈએ). આમ, ગુંચળામાં ગરમી (ઉષા) તરીકે વ્યય પામતી ઊર્જાનો સ્કોટ બાધ્ય રોટર છે.

**6.7** (a)  $1.5 \times 10^{-3} \text{ V}$ ,

(b) પણ્ણમથી પૂર્વ

(c) પૂર્વ છે

**6.8** 4H

**6.9** 30 Wb

**6.10**  $B$  નો ઉદ્ધર્ધ ધટક

$$= 5.0 \times 10^{-4} \sin 30^\circ$$

$$= 2.5 \times 10^{-4} \text{ T}$$

$$\epsilon = Blv$$

$$\epsilon = 2.5 \times 10^{-4} \times 25 \times 500$$

$$= 3.125 \text{ V}$$

પ્રેરિત emf 3.1 V છે (સાર્થક અંકોનો ઉપયોગ કરીને)

આ જવાબ માટે પાંખની દિશા અગત્યની નથી (જ્યાં સુધી તે સમક્ષિતિજ છે).

**6.11** પ્રેરિત emf =  $8 \times 2 \times 10^{-4} \times 0.02 = 3.2 \times 10^{-5} \text{ V}$

પ્રેરિત પ્રવાહ =  $2 \times 10^{-5} \text{ A}$

પાવર વ્યય =  $6.4 \times 10^{-10} \text{ W}$

આ પાવરનો સ્કોટ સમય સાથે ચુંબકીયક્ષેત્રને બદલવા માટે જવાબદાર એવો બાધ્ય એજન્ટ છે.

**6.12** Bમાં સમય સાથેના સ્પષ્ટ ફેરફારને કારણે ફૂલક્સના ફેરફારનો દર

$$= 144 \times 10^{-4} \text{ m}^2 \times 10^{-3} \text{ T s}^{-1}$$

$$= 1.44 \times 10^{-5} \text{ Wb s}^{-1}$$

અનિયમિત Bમાં લૂપની ગતિને લીધે ફૂલક્સમાં ફેરફારનો દર

$$= 144 \times 10^{-4} \text{ m}^2 \times 10^{-3} \text{ T cm}^{-1} \times 8 \text{ cm s}^{-1}$$

$$= 11.52 \times 10^{-5} \text{ Wb s}^{-1}$$

આ બંને અસરો ધન z-દિશામાં ફ્લુક્સમાં ઘટાડો કરતી હોવાથી ઉમેરાય છે. તેથી, પ્રેરિત  $emf = 12.96 \times 10^{-5} \text{ V}$ , પ્રેરિત પ્રવાહ  $= 2.88 \times 10^{-2} \text{ A}$ . પ્રેરિત પ્રવાહની દિશા એવી છે કે, જે ધન z-દિશામાં લૂપમાં ફ્લુક્સમાં વધારો કરે છે. જો નિરીક્ષક માટે લૂપ જમણી બાજુ ગતિ કરે, તો પ્રવાહ ઘડિયાળના કાંટાની ગતિની દિશાની વિરુદ્ધમાં દેખાતી હશે. ઉપરોક્ત પ્રક્રિયાની યોગ્ય સાભિતી નીચે પ્રમાણે છે :

$$\begin{aligned}\Phi(t) &= \int_0^a aB(x, t)dx \\ \frac{d\Phi}{dt} &= a \int_0^a dx \frac{dB(x, t)}{dt} \\ \frac{dB}{dt} &= \frac{\partial B}{\partial t} + \frac{\partial B}{\partial x} \frac{\partial x}{\partial t} \\ &= \left[ \frac{\partial B}{\partial t} + v \frac{\partial B}{\partial x} \right] \text{ નો (ઉપયોગ કરતાં, આપણને} \\ \frac{d\Phi}{dt} &= a \int_0^a dx \left[ \frac{\partial B(x, t)}{\partial t} + v \frac{\partial B(x, t)}{\partial x} \right] \\ &= A \left[ \frac{\partial B}{\partial t} + v \frac{\partial B}{\partial x} \right]\end{aligned}$$

મળો, જ્યાં,  $A = a^2$

$\left( \frac{\partial B}{\partial t} \right), \left( \frac{\partial B}{\partial x} \right)$  અને પણ આ કોયડામાં અચળ આપવામાં આવેલ હોવાથી છેલ્લું પદ મળેલ છે.

જો તમે આ ઔપચારિક પુરાવા (જ્યાં, કલનશાસ્ત્રનું સારું જ્ઞાન જરૂરી છે)ને સમજ શકતા ન હોવ તો પણ તમે હજુ પણ તે માની શકો છો કે ચુંબકીયક્ષેત્રમાં સમયના બદલાવને કારણો તેમજ લૂપની ગતિને કારણો એમ બંનેને લીધે ફ્લુક્સમાં ફેરફાર થઈ શકે છે.

$$\begin{aligned}6.13 \quad Q &= \int_{t_1}^{t_f} Idt \\ &= \frac{1}{R} \int_{t_1}^{t_f} \varepsilon dt \\ &= -\frac{N}{R} \int_{\Phi_1}^{\Phi_f} d\Phi \\ &= \frac{N}{R} (\Phi_i - \Phi_f)\end{aligned}$$

$$N = 25, R = 0.50 \Omega, Q = 7.5 \times 10^{-3} \text{ C}$$

$$\Phi_f = 0, A = 2.0 \times 10^{-4} \text{ m}^2 \text{ માટે } \Phi_i = 1.5 \times 10^{-4} \text{ Wb}$$

- 6.14**
- (a)  $|\varepsilon| = vB/l = 0.12 \times 0.50 \times 0.15 = 9.0 \text{ mV}$ ; P ધન છેડો અને Q ઋણ છેડો.
  - (b) હા. જ્યારે K બંધ હોય, ત્યારે પ્રવાહના સતત વહન દ્વારા વધારાના વિદ્યુતભારને જાળવવામાં આવે છે.
  - (c) સણિયાના છેડામાં વિરુદ્ધ ચિહ્નોવાળા વધારાના વિદ્યુતભારને કારણે રચતા વિદ્યુત બળ દ્વારા ચુંબકીય બળને નાબૂદ કરવામાં આવે છે.
  - (d) ગતિ વિરોધક બળ =  $Ib/l$ 

$$= \frac{9 \text{ mV}}{9 \text{ m}\Omega} \times 0.5 \text{ T} \times 0.15 \text{ m}$$

$$= 75 \times 10^{-3} \text{ N}$$
  - (e) સણિયાને  $12 \text{ cm s}^{-1}$  ની નિયમિત ગતિમાં ચાલુ રાખવા માટે ઉપરના ગતિ વિરોધક બળ સામે બાબુ એજન્ટ દ્વારા ખર્ચાતો પાવર =  $75 \times 10^{-3} \times 12 \times 10^{-2}$   $= 9.0 \times 10^{-3} \text{ W}$  છે. જ્યારે K ખુલ્લું છે, ત્યારે કોઈ પાવર ખર્ચાતો નથી.
  - (f)  $I^2R = 1 \times 1 \times 9 \times 10^{-3} = 9.0 \times 10^{-3} \text{ W}$   
આ પાવરનો સ્થોત્ર ઉપરોક્ત ગણતરી મુજબ બાબુ એજન્ટ દ્વારા પ્રદાન કરેલો પાવર છે.
  - (g) શૂન્ય, સણિયાની ગતિ ક્ષેત્ર રેખાઓને કાપતી નથી. (નોંધ : PQની લંબાઈ રેલ વચ્ચેના અંતર જેટલી હોવાનું માનેલ છે.)

**6.15**  $B = \frac{\mu_0 NI}{l}$

(સોલેનાઈડની અંદર છેડાઓથી દૂર)

$$\Phi = \frac{\mu_0 NI}{l} A$$

સંકળાયેલ કુલ ફ્લક્સ =  $N\Phi$

$$= \frac{\mu_0 N^2 A}{l} I$$

(છેડા પાસે **B** ના ફેરફારને અવગાણતાં)

$$|\varepsilon| = \frac{d}{dt} (N\Phi)$$

$$|\varepsilon|_{av} = \frac{\text{ફ્લક્સમાં કુલ ફેરફાર}}{\text{કુલ સમય}}$$

$$|\varepsilon|_a = \frac{4\pi \times 10^{-7} \times 25 \times 10^{-4}}{0.3 \times 10^{-3}} \times (500)^2 \times 2.5$$

$$= 6.5 \text{ V}$$

**6.16**  $M = \frac{\mu_0 a}{2\pi} \ln \left( 1 + \frac{a}{x} \right)$

$$\varepsilon = 1.7 \times 10^{-5} \text{ V}$$

**6.17**  $-\frac{B\pi a^2 \lambda}{MR} \hat{k}$

**પ્રકરણ 7**

- 7.1** (a) 2.20 A  
 (b) 484 W

**7.2** (a)  $\frac{300}{\sqrt{2}} = 212.1 \text{ V}$   
 (b)  $10\sqrt{2} = 14.1 \text{ A}$

**7.3** 15.9 A

**7.4** 2.49 A

**7.5** દરેક કિલોમીટર શૂન્ય

**7.6**  $125 \text{ s}^{-1}, 25$

**7.7**  $1.1 \times 10^3 \text{ s}^{-1}$

**7.8** 0.6 J, પછીના સમયે પણ એટલું જ (સમાન)

**7.9** 2000 W

**7.10**  $V = \frac{1}{2\pi} \sqrt{\frac{1}{LC}}, \text{ એટલે } C = \frac{1}{4\pi^2 V^2 L}$

$L = 200 \mu\text{H}, V = 1200 \text{ kHz} \Rightarrow C = 87.9 \text{ pF.}$

$L = 200 \mu\text{H}, V = 800 \text{ kHz} \Rightarrow C = 197.8 \text{ pH.}$

ચલ કેપિસીટેરની રેનજ 88 pF થી 198 pF રાખવી જોઈએ.

- 7.11** (a)  $50 \text{ rad s}^{-1}$

- (b)  $40 \Omega, 8.1 \text{ A}$

(c)  $V_{Lrms} = 1437.5 \text{ V}, V_{Crms} = 1437.5 \text{ V}, V_{Rrms} = 230 \text{ V}$

$$V_{LCrms} = I_{rms} \left( \omega_0 L - \frac{1}{\omega_0 C} \right) = 0$$

- 7.12** (a)  $1.0 \text{ J}$ , જો  $R = 0$  હોય તો  $L$  અને  $C$ માં સંગ્રહીત ઊર્જાના સરવાળાનું સંરક્ષણ થશે.

(b)  $\omega = 10^3 \text{ rad s}^{-1}, V = 159 \text{ Hz}$

(c)  $q = q_0 \cos \omega t$

(i)  $t = 0, \frac{T}{2}, T, \frac{3T}{2}, \dots$  સમયે ઊર્જા સંપૂર્ણ વિદ્યુતગીર્જ સ્વરૂપે સંગ્રહીત છે.

(ii)  $t = \frac{T}{4}, \frac{3T}{4}, \frac{5T}{4}, \dots$  જ્યાં,  $T = \frac{1}{v} = 6.3 \text{ ms}$ , સમયે ઊર્જા સંપૂર્ણ

ચુંબકીયઊર્જા સ્વરૂપે સંગ્રહીત છે. (એટલે કે વિદ્યુતગીર્જ શૂન્ય છે.)

(d)  $t = \frac{T}{8}, \frac{3T}{8}, \frac{5T}{8}, \dots$  સમયે, કારણ કે  $q = q_0 \cos \frac{\omega T}{8} = q_0 \cos \frac{\pi}{4} = \frac{q_0}{\sqrt{2}}$ .

તેથી વિદ્યુતગીર્જ  $\frac{q^2}{2C} = \frac{1}{2} \left( \frac{q_0^2}{2C} \right)$  જે કુલ ઊર્જાનું અડધું મૂલ્ય છે.

(e) છેવટે LC દોલનો Rને કારણે મંદ પડી નાખું થશે. તમામ પ્રારંભિક ઊર્જા ( $= 1.0 \text{ J}$ ) છેવટે ઉઘા સ્વરૂપે વ્યય થશે.

7.13 LR પરિપथ માટે, જો  $V = V_0 \sin \omega t$  હોય તો

$$I = \frac{V_0}{\sqrt{R^2 + \omega^2 L^2}} \sin(\omega t - \phi). જ્યાં, \tan \phi = (\omega L / R)$$

- (a)  $I_0 = 1.82 \text{ A}$   
 (b)  $t = 0$  સમયે,  $V$  મહત્તમ છે.  $t = (\phi / \omega)$  સમયે  $I$  મહત્તમ છે.

$$\text{હવે, } \tan \phi = \frac{2\pi v L}{R} = 1.571 \text{ અથવા } \phi \approx 57.5^\circ$$

$$\text{તેથી, સમય તફાવત} = \frac{57.5\pi}{180} \times \frac{1}{2\pi \times 50} = 3.2 \text{ ms}$$

7.14 (a)  $I_0 = 1.1 \times 10^{-2} \text{ A}$

- (b)  $\tan \phi = 100\pi \cdot \phi$ , એ  $\pi/2$ ની નજીક છે.

નીચી આવૃત્તિના કિસ્સામાં  $I_0$  એ (સ્વાધ્યાય 7.13)માં હોય તે કરતાં ખૂબ જ નાનો છે અને તે દ્વારા એમ દર્શાવે છે કે ઉંચી આવૃત્તિઓએ  $L$  લગભગ ઓપન સરકાટ છે. dc પરિપથમાં (સ્થિર અવસ્થા પછી)  $\omega = 0$  તેથી અહીં  $L$  શુદ્ધ વાહક તરીકે વર્તે છે.

7.15 RC પરિપથ માટે, જો  $V = V_0 \sin \omega t$  હોય તો,

$$I = \frac{V_0}{\sqrt{R^2 + (1/\omega C)^2}} \sin(\omega t + \phi), \text{ જ્યાં, } \tan \phi = \frac{1}{\omega CR}$$

- (a)  $I_0 = 3.23 \text{ A}$   
 (b)  $\phi = 33.5^\circ$   
 $\text{સમય તફાવત} = \frac{\phi}{\omega} = 1.55 \text{ ms}$

7.16 (a)  $I_0 = 3.88 \text{ A}$

- (b)  $\phi \approx 0.2$  અને ઉંચી આવૃત્તિએ લગભગ શૂન્ય છે. આમ, ઉંચી આવૃત્તિએ  $C$  સુવાહક તરીકે વર્તે છે. dc પરિપથ માટે સ્થિર અવસ્થા પછી  $\omega = 0$  અને  $C$  ઓપન સરકાટ તરીકે વર્તે છે.

7.17 સમાંતર LCR પરિપથ માટે અસરકારક ઈમ્પિડન્સ નીચે મુજબ અપાય છે.

$$\frac{1}{Z} = \sqrt{\frac{1}{R^2} + \left(\omega C - \frac{1}{\omega L}\right)^2}$$

$$\Rightarrow \omega = \omega_0 = \frac{1}{\sqrt{LC}} \text{ માટે લઘુત્તમ છે.}$$

આથી,  $|Z|, \omega = \omega_0$  એ મહત્તમ થશે અને કુલ પ્રવાહ કંપવિસ્તાર લઘુત્તમ થશે.

R શાખામાં,  $I_{R,\text{rms}} = 5.75 \text{ A}$

L શાખામાં,  $I_{L,\text{rms}} = 0.92 \text{ A}$

C શાખામાં,  $I_{C,\text{rms}} = 0.92 \text{ A}$

નોંધ : કુલ પ્રવાહ  $I_{\text{rms}} = 5.75 \text{ A}$ , કારણે L અને C શાખામાં પ્રવાહ  $180^\circ$ ના કળા તફાવતે છે અને ચકની દરેક ક્ષણે તેમનો સરવાળો શૂન્ય થાય છે.

**7.18** (a)  $V = V_0 \sin \omega t$  માટે

$$I = \frac{V_0}{\left| \omega L - \frac{1}{\omega C} \right|} \sin \left( \omega t + \frac{\pi}{2} \right); \text{ જો } R = 0$$

જો  $\omega L > 1/\omega C$  હોય તો – નિશાની આવશે અને જો  $\omega L < 1/\omega C$  હોય તો + નિશાની આવશે.

$$I_0 = 11.6 \text{ A}, I_{rms} = 8.24 \text{ A}$$

(b)  $V_{Lrms} = 207 \text{ V}, V_{Crms} = 437 \text{ V}$

(નોંધ :  $437 \text{ V} - 207 \text{ V} = 230 \text{ V}$  લાગુ પાઠેલ rms વોલ્ટેજ બરાબર છે અને એમ જ હોવું જોઈએ. L અને Cના બે છેડા વચ્ચેના વોલ્ટેજની બાદબાકી થાય છે. કારણ કે તેમની વચ્ચેનો કળા તફાવત  $180^\circ$  છે.)

(c) Lમાં કોઈ પણ પ્રવાહ I હોય, પણ ખરેખરો વોલ્ટેજ પ્રવાહ કરતાં  $\pi/2$  જેટલો આગળ છે માટે L દ્વારા ખર્ચાતો સરેરાશ પાવર શૂન્ય છે.

(d) કેપિસિટાનું વોલ્ટેજ  $\pi/2$  જેટલો પાછળ છે, તેથી C દ્વારા ખર્ચાતો સરેરાશ પાવર શૂન્ય છે.

(e) શોખાતો કુલ સરેરાશ પાવર શૂન્ય છે.

**7.19**  $I_{rms} = 7.26 \text{ A}$

$$R \text{ને સરેરાશ પાવર} = I_{rms}^2 R = 791 \text{ W}$$

$$L \text{ ને સરેરાશ પાવર} = C \text{ ને સરેરાશ પાવર} = 0$$

$$\text{શોખાતો કુલ પાવર} = 791 \text{ W}$$

**7.20** (a)  $\omega_0 = 4167 \text{ rad s}^{-1}, V_0 = 663 \text{ Hz}$

$$I_0^{\max} = 14.1 \text{ A}$$

(b)  $\bar{P} = (1/2) I_0^2 R, I_0$  જે આવૃત્તિ (663 Hz) માટે મહત્વમાં છે, તે જ આવૃત્તિએ  $\bar{P}$  પણ મહત્વમાં છે.

$$\bar{P}_{\max} = (1/2)(I_{\max})^2 R = 2300 \text{ W}$$

(c)  $\omega = \omega_0 \pm \Delta\omega$  [જો  $(R/2L) \ll \omega_0$  હોય તો સંનિકટતા વધુ સારી છે.]

$$\Delta\omega = R/2L = 95.8 \text{ rad s}^{-1}; \Delta\nu = \Delta\omega/2\pi = 15.2 \text{ Hz}$$

$\nu = 648 \text{ Hz}$  અને  $678 \text{ Hz}$  માટે શોખાતો પાવર મહત્વમાં પાવર કરતાં અડધો છે. આ આવૃત્તિઓ એ પ્રવાહ કંપવિસ્તાર  $I_0^{\max}$  કરતાં  $(1/\sqrt{2})$  ગણું થશે. એટલે કે, પ્રવાહ કંપવિસ્તાર (મહત્વમાં પાવર કરતાં અડધો પાવર થાય તે બિંદુઓએ)  $10 \text{ A}$  છે.

(d)  $Q = 21.7$

**7.21**  $\omega_0 = 111 \text{ rad s}^{-1}, Q = 45$

$\omega_0$  માં ફેરફાર કર્યા વગર Q બમણો કરવા માટે Rનું મૂલ્ય ઘટાડીને  $3.7 \Omega$  કરો.

**7.22**

(a) હા. આવું જ પરિણામ rms વોલ્ટેજ માટે સાચું નથી. કારણ કે, જુદા જુદા ઘટકોમાં બે છેડા વચ્ચેના વોલ્ટેજ સમાન કળામાં ન પડી હોય. ઉદાહરણ માટે સ્વાધ્યાય 7.18નો જવાબ જુઓ.

(b) પરિપથમાં જોડાણ તૂટે છે ત્યારે પ્રેરિત થતો ઊંચો વોલ્ટેજ કેપિસિટારને વિદ્યુતભારિત કરવામાં (Chargingમાં) વપરાય છે અને આમ સ્પાર્ક્સ (Sparks) નિવારી શકાય છે.

(c) dc માટે Lનો ઈમ્પિન્સ (અસરકારક અવરોધ) અવગણ્ય હોય છે અને Cનો ખૂબ જ મોટો (અનંત) હોય છે. તેથી Cના બે છેડા વચ્ચે dc સિગનલ મળે છે. ઊંચી આવૃત્તિવાળા ac વોલ્ટેજ માટે Lનો અસરકારક અવરોધ વધુ અને Cનો ખૂબ જ ઓછો હોય છે. તેથી Lનાં બે છેડા વચ્ચે ac સિગનલ મળે છે.

(d) dcની સ્થાયી સ્થિતિ માટે, Lની કોઈ જ અસર હોતી નથી પણી ભલે તેમાં આર્થિક (Core) દ્વારા વધારો થાય. ac માટે ચોકના વધારાના ઈમ્પિન્સને કારણે બલ્બ ઓછો પ્રકાશિત (ઝાંખો) થશે. જ્યારે આર્થિક (Core) દાખલ કરવામાં આવે છે ત્યારે ચોકના ઈમ્પિન્સમાં વધારો થાય છે. જેથી બલ્બ હજુ વધુ ઝાંખો થશે.

(e) ચોક કોઈલ ઊર્જાનો વ્યય કર્યા વગર ત્યુબ બે છેડા વચ્ચે વોલ્ટેજ ઘટાડે છે જ્યારે અવરોધ ઉષ્મા સ્વરૂપે ઊર્જાનો વ્યય કરે છે.

7.23 400

7.24 હાઈડ્રો ઇલેક્ટ્રીક પાવર =  $h\rho g \times A \times v = h\rho g \beta$

જ્યાં,  $\beta = Av$  પ્રવાહ (આડ્ષેદમાંથી પ્રતિ સેકન્ડ વહેતા પાણીનું કદ) છે.

$$\text{મળતો ઇલેક્ટ્રીક પાવર} = 0.6 \times 300 \times 10^3 \times 9.8 \times 100 \text{ W} \\ = 176 \text{ W}$$

7.25 પાવર લાઈનનો અવરોધ =  $30 \times 0.5 = 15 \Omega$

$$\text{પાવર લાઈનમાં પ્રવાહનું rms મૂલ્ય} = \frac{800 \times 1000 \text{ W}}{4000 \text{ V}} = 200 \text{ A}$$

(a) લાઈન પાવર વ્યય =  $(200 \text{ A})^2 \times 15 \Omega = 600 \text{ kW}$

(b) ખાન્ટ દ્વારા પુરો પડતો પાવર =  $800 \text{ kW} + 600 \text{ kW} = 1400 \text{ kW}$

(c) પાવર લાઈન પર થતો વોલ્ટેજ ડ્રોપ =  $200 \text{ A} \times 15 \Omega = 3000 \text{ V}$

પાવર ખાન્ટ માટે સ્ટેપઅપ ટ્રાન્સફર્મર  $440 \text{ V} - 7000 \text{ V}$  છે.

7.26 પ્રવાહ =  $\frac{800 \times 1000 \text{ W}}{40,000 \text{ V}} = 20 \text{ A}$

(a) લાઈનમાં પાવર વ્યય =  $(20 \text{ A})^2 \times (15 \Omega) = 6 \text{ kW}$

(b) ખાન્ટ દ્વારા પુરો પડતો પાવર =  $800 \text{ kW} + 6 \text{ kW} = 806 \text{ kW}$

(c) પાવર લાઈન પર થતો વોલ્ટેજ ડ્રોપ =  $20 \text{ A} \times 15 \Omega = 300 \text{ V}$

સ્ટેપઅપ ટ્રાન્સફર્મર  $440 \text{ V} - 40,300 \text{ V}$  છે. અહીં, સ્પષ્ટ છે કે હાઈ વોલ્ટેજ ટ્રાન્સફર્મશન દ્વારા પાવર વ્યયની ટકાવારી ખૂબ મોટા પ્રમાણમાં ઘટી જાય છે.

સ્વાધ્યાય (7.25)માં આ પાવર વ્યય  $(600/1400) \times 100 = 43\%$  છે.

આ સ્વાધ્યાયમાં તે ફક્ત  $(6/806) \times 100 = 0.74\%$  છે.

## પ્રકરણ 8

8.1 (a)  $C = \epsilon_0 A/d = 80.1 \text{ pF}$

$$\frac{dQ}{dt} = C \frac{dV}{dt}$$

$$\frac{dV}{dt} = \frac{0.15}{80.1 \times 10^{-12}} = 1.87 \times 10^9 \text{ V s}^{-1}$$

(b)  $i_d = \epsilon_0 \frac{d}{dt} \Phi_E$ . હવે, કેપેસીટ્રને સમાંતર  $\Phi_E = EA$ ,

અંત્ય સુધ્યારાને અવગાણતાનું,

$$\text{તેથી, } i_d = \epsilon_0 A \frac{d\Phi_E}{dt}$$

$$\text{હવે, } E = \frac{Q}{\epsilon_0 A} \text{ તેથી, } \frac{dE}{dt} = \frac{i}{\epsilon_0 A}, \text{ જે દર્શાવે છે કે, } i_d = i = 0.15 \text{ A.}$$

(c) હા, જો 'પ્રવાહ'નો અર્થ વહેન (Conduction) પ્રવાહ અને સ્થાનાંતર (Displacement) પ્રવાહનો સરવાળો એમ કરીએ તો.

- 8.2** (a)  $I_{\text{rms}} = V_{\text{rms}} \omega C = 6.9 \mu\text{A}$   
 (b) હા. સ્વાધ્યાય 8.1(b)માં દર્શાવેલ તારવાળી જો પ્રવાહ સમય સાથે દોલન કરતો હોય તો પણ સાચી છે.  
 (c) સૂત્ર  $B = \frac{\mu_0}{2\pi} \frac{r}{R^2} i_d$ , જો  $i_d$  (અને તેથી B) સમય સાથે દોલન કરતો હોય તો પણ સાચું છે. સૂત્ર દર્શાવે છે કે, તેઓ એકબીજા સાથે કળામાં દોલન કરે છે.  
 $i_d = i$  હોવાથી આપણને  $B_0 = \frac{\mu_0}{2\pi} \frac{r}{R^2} i_0$  મળે છે. જ્યાં,  $B_0$  અને  $i_0$  અનુકૂળ દોલિત થતા ચુંબકીયક્ષેત્ર અને પ્રવાહના કંપવિસ્તાર છે.  $i_0 = \sqrt{2} I_{\text{rms}} = 9.76 \mu\text{A}$ .  
 $r = 3 \text{ cm}, R = 6 \text{ cm}$  માટે  $B_0 = 1.63 \times 10^{-11} \text{ T}$ .
- 8.3** શૂન્યાવકાશમાં બધાની ઝડપ સમાન :  $c = 3 \times 10^8 \text{ m s}^{-1}$  છે.
- 8.4**  $\mathbf{E}$  અને  $\mathbf{B}$  એ XY-સમતલમાં અને એકબીજાને લંબ છે, 10 m.
- 8.5** તરંગલંબાઈ ગાળો : 40 m – 25 m
- 8.6**  $10^9 \text{ Hz}$
- 8.7** 153 N/C
- 8.8** (a)  $400 \text{ nT}, 3.14 \times 10^8 \text{ rad/s}, 1.05 \text{ rad/m}, 6.00 \text{ m}$   
 (b)  $\mathbf{E} = \{(120 \text{ N/C}) \sin[(1.05 \text{ rad/m})] x - (3.14 \times 10^8 \text{ rad/s})t\} \hat{\mathbf{j}}$   
 $\mathbf{B} = \{(400 \text{ nT}) \sin[(1.05 \text{ rad/m})] x - (3.14 \times 10^8 \text{ rad/s})t\} \hat{\mathbf{k}}$ .
- 8.9** ફોટોનની ઊર્જા ( $\lambda = 1 \text{ m}$  માટે)  
 $= \frac{6.63 \times 10^{-34} \times 3 \times 10^8}{1.6 \times 10^{-19}} \text{ eV} = 1.24 \times 10^{-6} \text{ eV}$   
 વિદ્યુતચુંબકીય વર્ણપટની આકૃતિમાં દર્શાવેલી બીજી તરંગલંબાઈઓ માટે ફોટોન ઊર્જા, દસના સનિકટ ઘાતાંક વડે ગુણી મેળવી શકાય. ફોટોનની ઊર્જા તેને ઉત્પન્ન કરતા ઉદ્ગમના સંબંધિત ઊર્જા સ્તરો વચ્ચેનો તફાવત (Spacings) દર્શાવે છે. ઉદાહરણ તરફે,  $\lambda = 10^{-12} \text{ m}$  એ ફોટોન ઊર્જા  $= 1.24 \times 10^6 \text{ eV} = 1.24 \text{ MeV}$ ને અનુરૂપ છે. આ ન્યુક્લિયર ઊર્જા સ્તરો (કે જેમની વચ્ચેની સંકાંતિ ગ-કિરણ ઉત્સર્જિત કરે છે) વચ્ચેનો લાક્ષણિક તફાવત 1 MeV અથવા તેની નજીકનો છે. તે જ રીતે, દશ્ય તરંગલંબાઈ  $\lambda = 5 \times 10^{-7} \text{ m}$  એ ફોટોન ઊર્જા  $= 2.5 \text{ eV}$ ને અનુરૂપ છે. આનો અર્થ એ કે ઊર્જા સ્તરો (કે જેમની વચ્ચેની સંકાંતિ દશ્ય વિકિરણ આપે છે) એ અમુક eV જેટલો તફાવત ધરાવે છે.
- 8.10** (a)  $\lambda = (c/v) = 1.5 \times 10^{-2} \text{ m}$   
 (b)  $B_0 = (E_0/c) = 1.6 \times 10^{-7} \text{ T}$   
 (c)  $\mathbf{E}$  ક્ષેત્રમાં ઊર્જા ધનતા :  $u_E = (1/2)\epsilon_0 E^2$   
 $\mathbf{B}$  ક્ષેત્રમાં ઊર્જા ધનતા :  $u_B = (1/2)\mu_0 B^2$   
 $E = cB$  નો અને  $c = \frac{1}{\sqrt{\mu_0 \epsilon_0}}$  નો ઉપયોગ કરતાં  $u_E = u_B$ .
- 8.11** (a)  $-\hat{\mathbf{j}}$ , (b) 3.5 m, (c) 86 MHz, (d) 100 nT,  
 (e)  $\{(100 \text{ nT}) \cos[(1.8 \text{ rad/m})y + (5.4 \times 10^6 \text{ rad/s})t]\} \hat{\mathbf{k}}$
- 8.12** (a)  $0.4 \text{ W/m}^2$ , (b)  $0.004 \text{ W/m}^2$

- 8.13** T તાપમાને રહેલ પદાર્થ તરંગલંબાઈઓનો સતત વર્ણપટ આપે છે. કાળા પદાર્થ માટે મહત્તમ તીવ્રતા ધરાવતા વિકિરણને અનુરૂપ તરંગલંબાઈ ખાન્કના સૂત્ર  $\lambda_m = 0.29 \text{ cm K/T}$  વડે અપાય છે.  $\lambda_m = 10^{-6} \text{ m}$ , માટે T = 2900 K. બીજી તરંગલંબાઈઓ માટે તાપમાન શોધી શકાય. આ રીતે મળેલ સંખ્યાઓ વિદ્યુતચુંબકીય વર્ણપટના જુદા-જુદા ભાગમાંના વિકિરણો મેળવવા જરૂરી તાપમાનનો ગાળો દર્શાવે છે. આમ, દશ્ય વિકિરણ (ધારોકે  $\lambda = 5 \times 10^{-7} \text{ m}$ ) મેળવવા માટે ઉદ્ગમનું તાપમાન લગભગ 6000 K જેટલું હોવું જોઈએ.
- (નોંધ : આનાથી નીચું તાપમાન પણ આ તરંગલંબાઈને ઉત્પન્ન કરશે પણ તે મહત્તમ તીવ્રતા ધરાવતી નહિ હોય.)
- 8.14**
- (a) રેઝિયો (ટૂંકી તરંગલંબાઈના છેડા તરફ)
  - (b) રેઝિયો (ટૂંકી તરંગલંબાઈના છેડા તરફ)
  - (c) માઈક્રોવેવ
  - (d) દશ્યપ્રકાશ (પીળો)
  - (e) X-કિરણો (અથવા મૃદુ (soft) ગ-કિરણો)નો વિભાગ.
- 8.15**
- (a) આયનોસ્ટ્રિક્યર આ ગાળાઓમાંનાં તરંગોનું પરાવર્તન કરે છે.
  - (b) ટેલિવિઝન સિજનલોનું આયનોસ્ટ્રિક્યર દ્વારા યોગ્ય રીતે પરાવર્તન થતું નથી (પાઈચમાંનું લખાડા જુઓ). તેથી પરાવર્તન ઉપગ્રહ (સેટેલાઈટ)ની મદદથી કરાય છે.
  - (c) વાતાવરણ X-કિરણોનું શોખણ કરે છે, જ્યારે દશ્યપ્રકાશ અને રેઝિયોતરંગો તેને બેદીને પસાર થાય છે.
  - (d) તે સૂર્યમાંથી ઉત્સર્જિત પારજાંબલી વિકિરણોનું શોખણ કરે છે અને તેને પૃથ્વીની સપાટી સુધી પહોંચતા અને (પૃથ્વી પરના) જીવનને નુકશાન થતું અટકાવે છે.
  - (e) પૃથ્વીનું તાપમાન નીચું હોત, કારણ કે વાતાવરણની ગ્રીનહાઉસ અસર ગેરહાજર હોત.
  - (f) વૈશ્વિક ન્યુક્લિયર યુદ્ધ (War)થી ઉત્પન્ન થયેલ વાદળો કદાચ આકાશના ધણાં મોટાભાગને ઢાંકી દેત, કે જે સૂર્યપ્રકાશને પૃથ્વીના ગોળા પરના ધણાં બધા ભાગ સુધી પહોંચતો અટકાવત. આ એક 'શિયાળા'માં પરિણામત.